

Jednoznaczność Rekonstrukcji Powierzchni Oświetlonej z Dwóch Kierunków

Ryszard Kozera

School of Comp. Sc. and Software Engineering
The University of Western Australia
Perth, Australia

1. Kształt z Cieniowania: Shape from Shading*

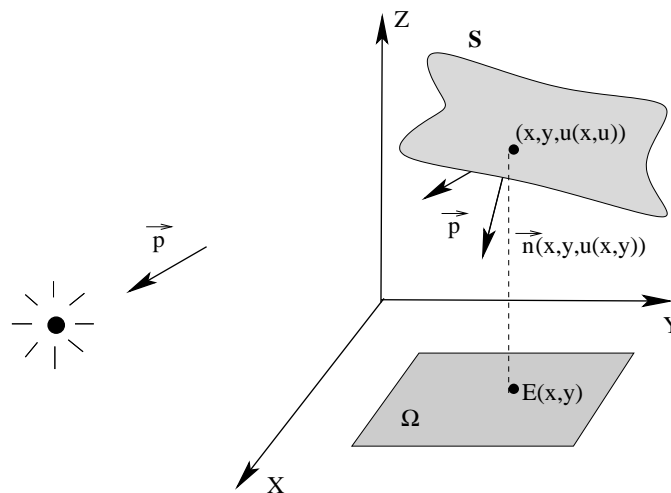
SfS: pow. $S \subset \mathbb{R}^3$ z **obrazu** $E : \Omega \subset \mathbb{R}^2 \rightarrow \mathbb{R}$?

Analiza obrazu (medycyna, zdj. satelit.), robotyka, przemysł.

Model **SfS:** rów. **irradiancji** ($S = \text{wykres } C^1 \ni u : \Omega \subset \mathbb{R}^2 \rightarrow \mathbb{R}$):

$$F_R(\vec{n}(x, y, u(x, y))) = E(x, y) . \quad \vec{n} \perp S \quad (\text{RI})$$

Fun. rozpraszania F_R : opisuje odbijanie światła od S .



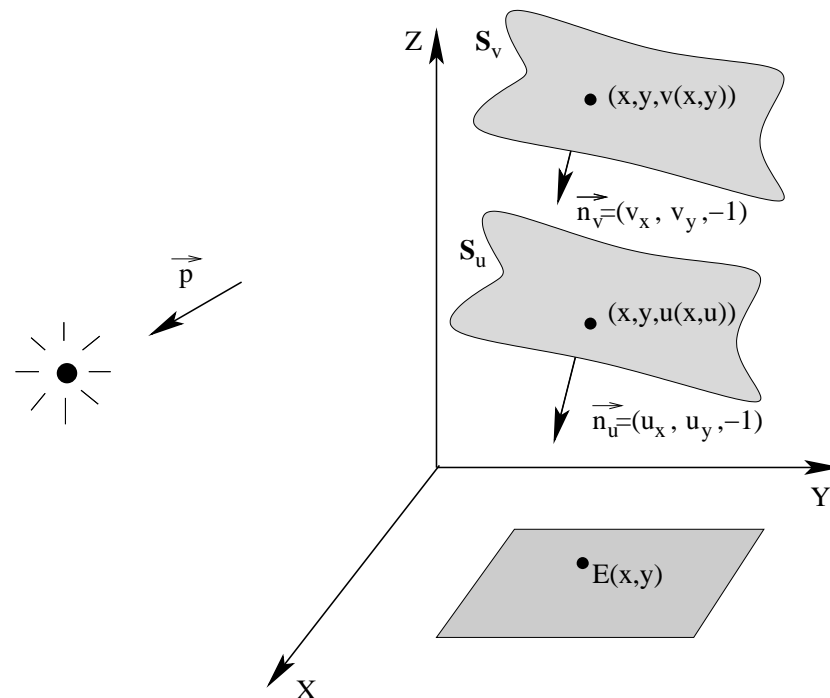
Rys. 1. Stary kierunek oświetlenia \vec{p} .

***SfS** rzut $\Pi : 3D\text{-obiekt} \mapsto 2D\text{-dane} \Rightarrow \text{SfS prob. odwrot. } (\Pi^{-1}(E) = S)$?

Fun. rozpraszania (S pokrywa jednorodny materiał):

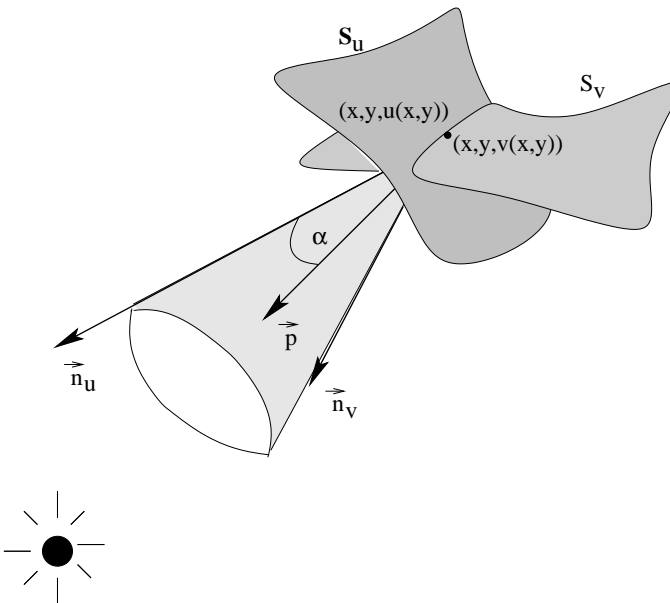
- estymacja F_R (półsfera kalibracyjna)
- modelowanie F_R (prawa fizyki: optyka)

$(RI) \Rightarrow S$ modulo translacja \parallel osi Z (ident. kształty S_u i S_v z $v = u + C$).



Rys. 2. Normalne $\vec{n}_u = \vec{n}_v \Rightarrow F_R(\vec{n}_u) = F_R(\vec{n}_v) = E(x, y)$.

Pow. Lambert $\Rightarrow \boxed{\mathbf{F}_R(\vec{n}(x, y, u(x, y)) \propto \cos(\alpha)} = E(x, y)$:

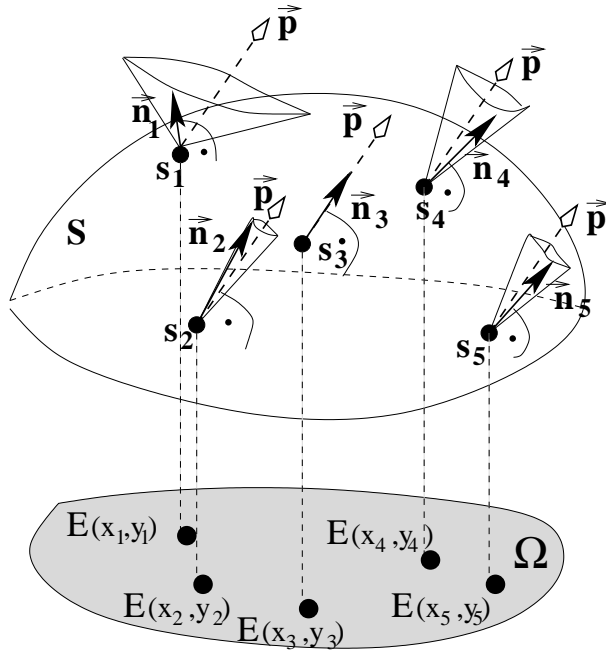


Rys. 3. \vec{n}_u i \vec{n}_v na stożku o osi \vec{p} i kącie $\boxed{\cos(\alpha) = \frac{\langle \vec{n}_{u,v} | \vec{p} \rangle}{\|\vec{n}_{u,v}\| \|\vec{p}\|}}.$

Ciągłe $\vec{n}_u(s) = (u_x, u_y, -1)$ ($\Rightarrow \nabla u \in C^0$) dla $s \in S$.

(RI) dla **pow. Lambert** S:

$$\boxed{\frac{p_1 u_x(x, y) + p_2 u_y(x, y) - p_3}{\sqrt{p_1^2 + p_2^2 + p_3^2} \sqrt{u_x^2(x, y) + u_y^2(x, y) + 1}} = E(x, y).} \quad (\text{RIL})$$



Rys. 4. $s_i = (x_i, y_i, u_i) \in S \Rightarrow \vec{n}_i$ na stożku o osi \vec{p} i $\cos(\alpha_i) = E(x_i, y_i)$.

$\forall s \in S$ ustal. $\exists \infty$ wiele normal.* $\vec{n}_s \perp S$.

$\vec{n}_s \perp S$ na $\Omega \Rightarrow$ **i) ciągłe i “całkowalne”**.

“Czesanie” pola \vec{n}_s w takt **i)** redukuje ilość rozw. (**RIL**).

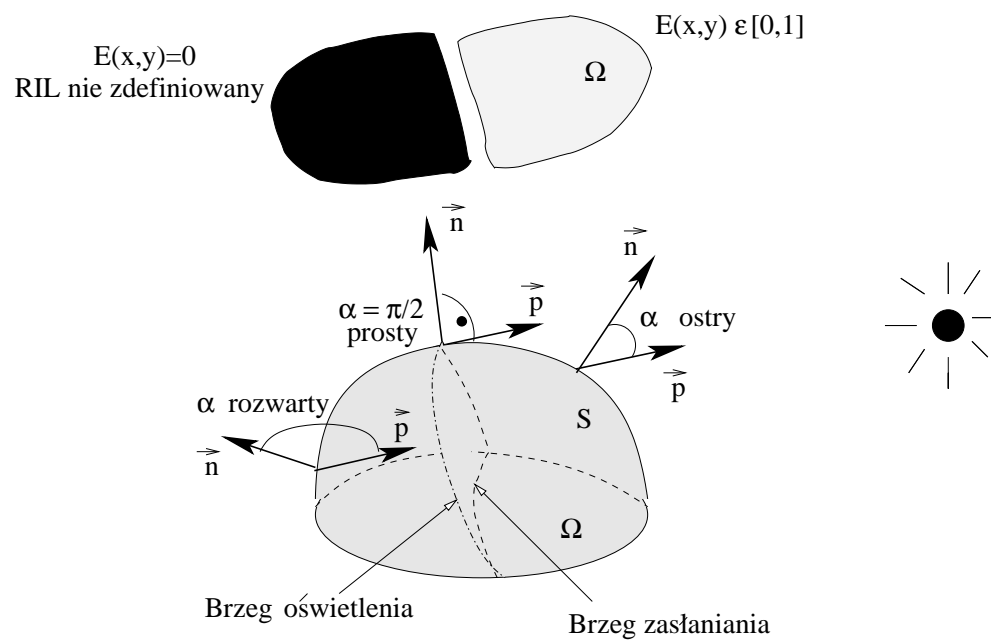
* $\vec{p} \parallel \vec{n}_s \Rightarrow$ stożek \equiv osi \vec{p} - w tym $s \in S$ max. inten. $= 1$ ($E(x_3, y_3) = 1$).

Pow. Lamberta (idealnie matowa): np. siarczek baru, węglan magnezu, papier, piasek lub matowa farba.

(RIL): **nielin. rów. róż. częst.** 1-ego rzędu ($u \in C^1(\Omega)$) na

$$\Omega = \{(x, y) \in \mathbb{R}^2 : 0 \leq E(x, y)\}.$$

Ω - obraz oświetl. części S ($-\frac{\pi}{2} \leq \alpha \leq \frac{\pi}{2} \Rightarrow 0 \leq \cos(\alpha)$).



Rys. 5. Ω - obraz oświetlonej części S .

SfS: dla (RI(L)) 4 istotne zgadnienia:

- **istnienie rozwiązań**
- **jednoznaczność**
- **rekonstrukcja S (algorytm)**
- **rzeczywiste/zaszumione/dyskretne dane**

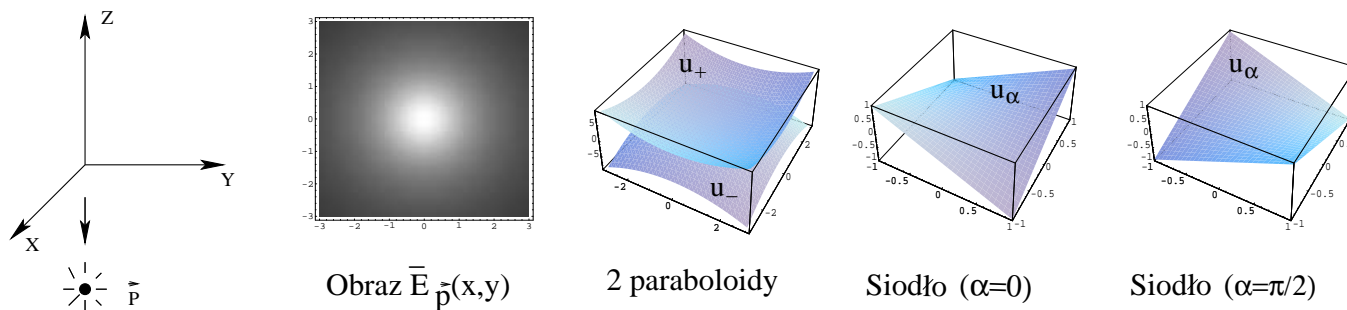
SfS \Rightarrow **generyczna niejednozn.** (np. $\vec{p} = (0, 0, -1)$):

Przyk. 1.: półsfera - jednozn.

- $u \in C^2$ - **TAK** ($v = \pm u + C$)
 - $u \in C^1$ - **NIE** ($\exists \infty S$ **si odet** $\notin C^2(\Omega)$) □

Przyk. 2.: $\frac{1}{\sqrt{1+u_x^2+u_y^2}} = \bar{E}_{\vec{p}}(x, y) = \frac{1}{\sqrt{1+x^2+y^2}}$

$$\begin{aligned} u_{\pm}(x, y) &= \pm 0.5(x^2 + y^2), \\ u_{\alpha}(x, y) &= (x \cos(\alpha) + y \sin(\alpha))(y \cos(\alpha) - x \sin(\alpha)), \quad \alpha \in [0, 2\pi]. \end{aligned}$$



Rys. 6. Na $\Omega = [-3, 3]^2$ $\exists \infty$ wiele $S \in C^2$ z obrazem \bar{E} . \square

*Ekstra lustrzana niejednozn.: $\pm u$ (oprócz $u = v + C$).

Jednoznaczność (poprawiają):

1. **więzy** na S ($u \in C^2$; S wyp./wkl./Morse'a)
2. **ekstra dane** (war. brzegowe $S|_{\partial\Omega}$, $\vec{n}|_{\partial\Omega}$; osobliwości E)

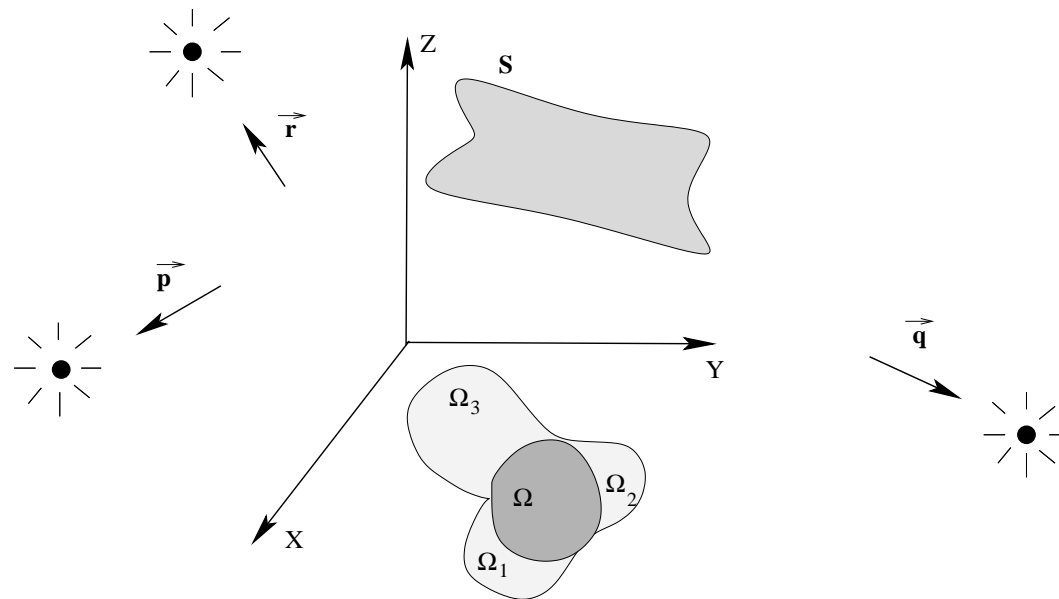
1, 2 - dobrane do **SfS** - a nie do matemat. **(RI)**.

Właściwe ekstra dane (dla 1, 2)?

Wieloźródłowe oświetlanie S - Fotometria Stereo.

2. Fotometria Stereo

Fotometria Stereo (FS(N))- oświetlanie S z N kier.



Rys. 7. $N = 3$; $\Omega = \bigcap_{i=1}^3 \Omega_i$ - wspólnie oświetlona część S.

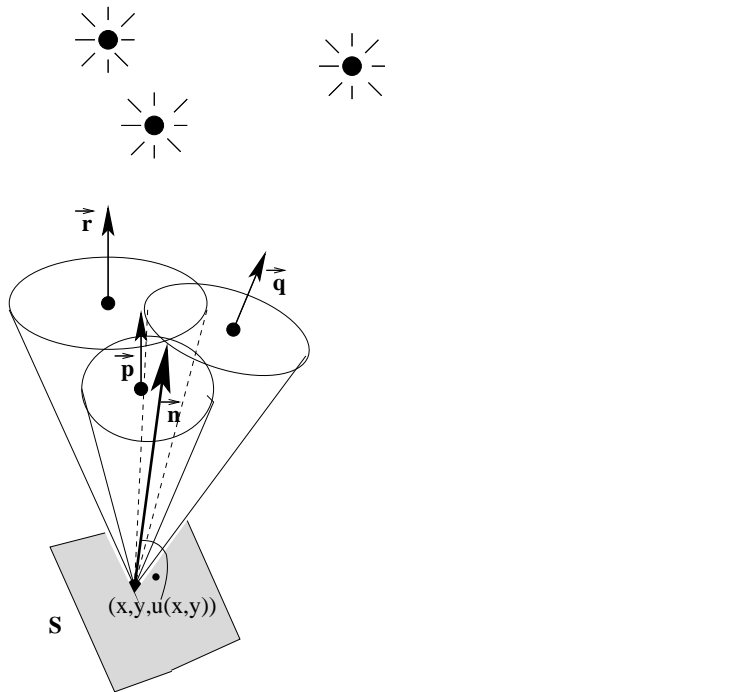
Oświetlanie: sekwencyjne (jednoczesne: np. światło spolaryzowane) dla pomiaru E_i , $1 \leq i \leq N$.

Ilość źródeł światła a jednozn. i rekonstrukcja S?

Fotometria 3-źródłowa FS3*:

$$\frac{\langle \vec{n} | \vec{p} \rangle}{\|\vec{n}\| \|\vec{p}\|} = E_1(x, y), \quad \frac{\langle \vec{n} | \vec{q} \rangle}{\|\vec{n}\| \|\vec{q}\|} = E_2(x, y), \quad \frac{\langle \vec{n} | \vec{r} \rangle}{\|\vec{n}\| \|\vec{r}\|} = E_3(x, y). \quad (3RIL)$$

(3RIL): $\det(\vec{p}, \vec{q}, \vec{r}) \neq 0 \Rightarrow \exists !$ 1 pole $\vec{n}(x, y) \perp S$ na $\Omega = \bigcap_{i=1}^3 \Omega_i$.



Rys. 8. (3RIL) : geometria jednozn. \vec{n} (\Rightarrow i S).

Obrazy pow. Lambert'a S \Rightarrow \vec{n} gradientowe.

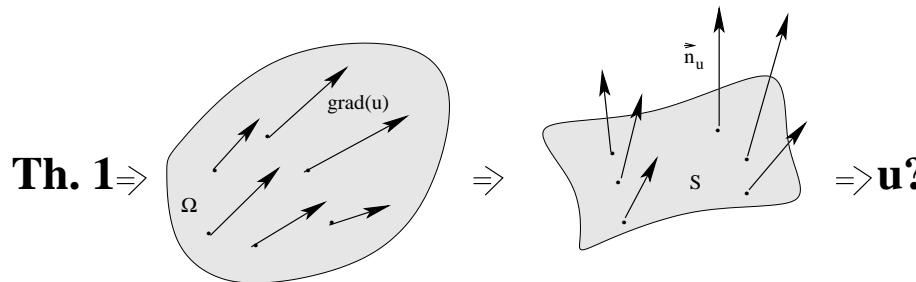
$$*\vec{n} = (u_x, u_y, -1).$$

FS3 - algorytm rekonstrukcji S:

(i) Gradient (u_x, u_y) (algebra) ($\Rightarrow \vec{n} \perp S$):

Tw. 1. (3RIL) i kierunki oświetlenia \notin płaszczyźnie \Rightarrow

$$u_x = f_1(E_1, E_2, E_3, \vec{p}, \vec{q}, \vec{r}), \quad u_y = f_2(E_1, E_2, E_3, \vec{p}, \vec{q}, \vec{r}). \quad (1)$$



Rys. 9. (3RIL) \Rightarrow jednozn. gradient.

(3RIL) \equiv 3 rów. lin. z 3 niewiad. $\vec{\nu} = (\nu_1, \nu_2, \nu_3) = \frac{(u_x, u_y, -1)}{\|(u_x, u_y, -1)\|}$:

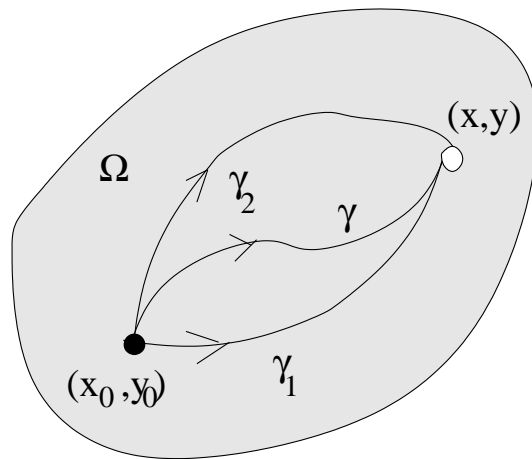
$$\left\langle \frac{\vec{p}}{\|\vec{p}\|} | \vec{\nu} \right\rangle = E_1, \quad \left\langle \frac{\vec{q}}{\|\vec{q}\|} | \vec{\nu} \right\rangle = E_2, \quad \left\langle \frac{\vec{r}}{\|\vec{r}\|} | \vec{\nu} \right\rangle = E_3. \Rightarrow (u_x, u_y) = \frac{-(\nu_1, \nu_2)}{\nu_3}.$$

(ii) Całkowanie ∇u (analiza) ($\Rightarrow u \Rightarrow S = \text{wykres}(u)$):

$$\begin{aligned} u(x, y) &= u(x_0, y_0) + \int_{\gamma} u_x dx + u_y dy \\ &= u(x_0, y_0) + \int_0^T [u_x(\gamma_1(t), \gamma_2(t))\dot{\gamma}_1(t) + u_y(\gamma_1(t), \gamma_2(t))\dot{\gamma}_2(t)] dt \end{aligned} \quad (2)$$

dla $\gamma : [0, T] \rightarrow \mathbb{R}^2$ i $\gamma \in V_{x,y}$

$V_{x,y} = \{\gamma \in C^1 : \gamma \subset \Omega \text{ jednospójny, łączy } (x, y) \text{ z ustal. } (x_0, y_0) \text{ z } \Omega\}$.



Rys. 10. (2) dla $\forall \gamma \in V_{x,y}$ **niezmienniczy** ($u_\gamma = u_{\gamma_1} = u_{\gamma_2}$).

Szum/dyskretyzacja: (v_1, v_2) nie całk. $\Rightarrow \neg \exists u \in C^1(\Omega)$:

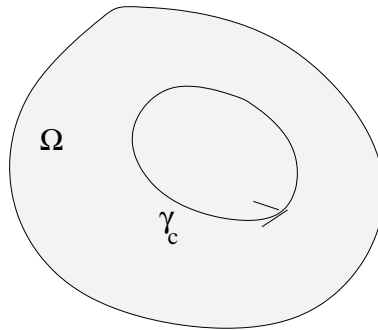
$$u_x = v_1 \quad \text{i} \quad u_y = v_2 .$$

Ω jednospójny $\Rightarrow \vec{v} = (v_1, v_2)$ całk.:

a) dla $\vec{v} \in C^0$ ($\Rightarrow u \in C^1$) jeśli:

$$\int_{\gamma_c} v_1(x, y) dx + v_2(x, y) dy = 0 , \quad (3)$$

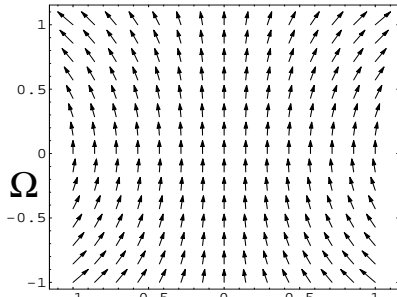
\forall pętli $\gamma_c \subset \Omega$, $\gamma_c \in C^1$.



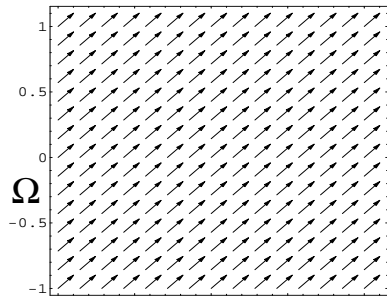
Rys. 11. Całka (3) zeruje się \forall gładkiej pętli $\gamma_c \subset \Omega$.

b) dla $\vec{v} \in C^1$ ($\Rightarrow u \in C^2$) jeśli:

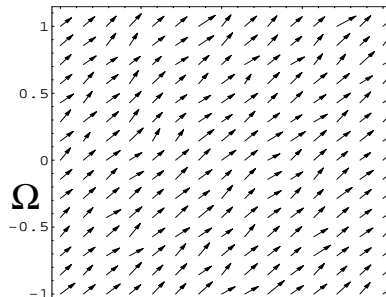
$$\frac{\partial v_1}{\partial y}(x, y) = \frac{\partial v_2}{\partial x}(x, y) .$$



a)



b)



c)

Rys. 12. Ciągłe* pole w Ω : a) \neg całk. b) całk. c) \neg ciągłe i \neg całk.

Przyk. 3.:

a) Pole $C^{0,1} \ni \vec{v}^1 = (xy, 1)$ **[\neg całk.]**: $x = v_{1y}^1 \neq v_{2y}^1 = 0$.

$$\Rightarrow \neg \exists u \in C^2(\Omega) \text{ z } \nabla u = (xy, 1).$$

b) Pole $C^{0,1} \ni \vec{v}^2 = (1, 1)$ **[całk.]**: $0 = v_{1y}^2 = v_{2y}^2 = 0$.

$$\Rightarrow \exists u \in C^2(\Omega) \text{ z } \nabla u = (1, 1) \text{ tj. } u(x, y) = x + y + C.$$

c) Pole $C^0 \not\ni \vec{v}^3 = \vec{v}^2 + \vec{\mathcal{N}}(0, 0.15)$ **[\neg całk.]** (zaszumione \vec{v}^2).

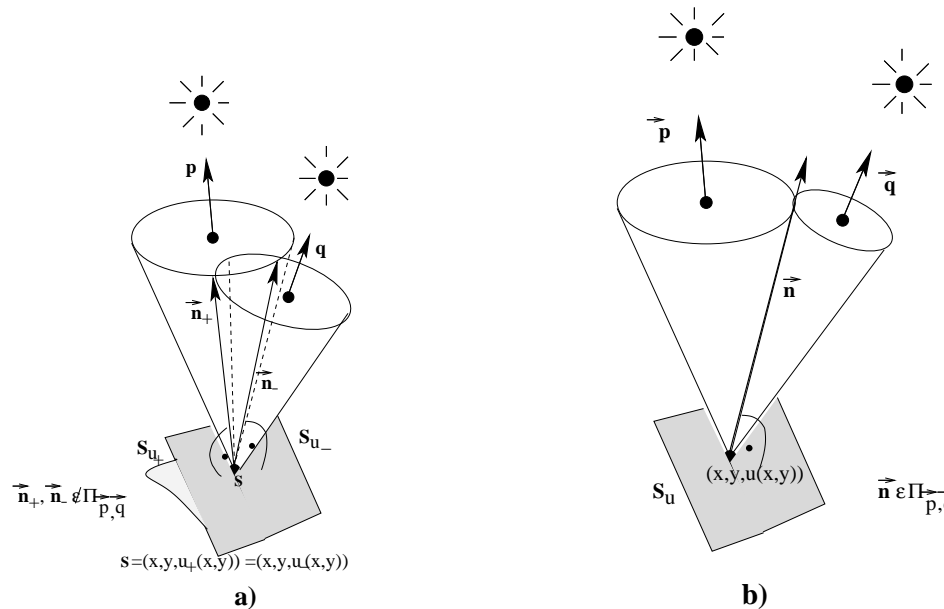
*Pikselizacja - dysk. war. całk.

3. Fotometria Stereo FS2

Jednozn.: czy jak dla $N = 1$ czy $N = 3$?

$$\boxed{\frac{\langle \vec{n} | \vec{p} \rangle}{\|\vec{n}\| \|\vec{p}\|} = E_1(x, y), \quad \frac{\langle \vec{n} | \vec{q} \rangle}{\|\vec{n}\| \|\vec{q}\|} = E_2(x, y).} \quad (2RIL)$$

(2RIL): $\det(\vec{p}, \vec{q}) \neq 0 \Rightarrow \forall (x, y) \in \Omega = \Omega_1 \cap \Omega_2 \exists 2$ (lub 1) $\vec{n}_\pm(x, y) \perp S$.

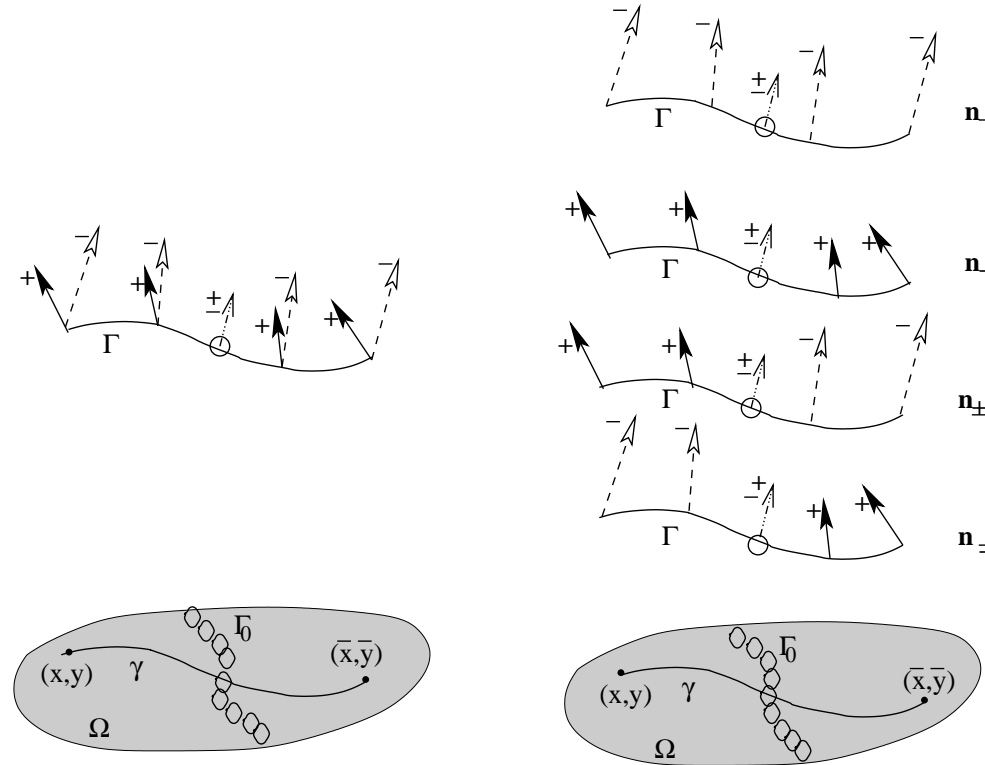


Rys. 13. (2RIL) : geometria a) 2 $\vec{n}_\pm \notin \Pi_{\vec{p}, \vec{q}}^*$ b) 1 $\vec{n} = \vec{n}_\pm \in \Pi_{\vec{p}, \vec{q}}$.

*Symetria \vec{n}_+ i \vec{n}_- względem płaszczyzny $\Pi_{\vec{p}, \vec{q}}$.

Pole $\vec{n}(x, y) \perp S$ w Ω : **ciągłe** ($u \in C^1$) **gładkie** ($u \in C^2$).

2 obr. pow. Lamberta $S \Rightarrow \exists$ conajmn. 1 pole \vec{n} gradientowe.



Rys. 14. **Bifurkacje** w pktach \circ (gdzie $\vec{n} = \vec{n}_+ = \vec{n}_-$).

Każde **sklejanie***: liczba pól $\vec{n} \perp S$ wzrasta **dwukrotnie**.

*Generycznie: bifurkacje na gładkiej $\Gamma_0 \subset \Omega$.

FS2 - algorytm rekonstrukcji S:

(i) Gradient (algebra):

Tw. 2. (2RIL) $\vec{p}, \vec{q} \notin$ płaszczyźnie \Rightarrow

$$u_x^\pm = f_1(E_1, E_2, \pm\Lambda, \vec{p}, \vec{q}), \quad u_y^\pm = f_2(E_1, E_2, \pm\Lambda, \vec{p}, \vec{q}), \quad (4)$$

$\Lambda = g(E_1, E_2, \vec{p}, \vec{q})$.

$\Gamma_0 = \{(x, y) \in \Omega : \Lambda(x, y) = 0\}$ możliwe “ześlizgi” \vec{n}_\pm na $\vec{n}_\mp \Rightarrow \vec{n} \in C^{0,1}$.

(2RIL) \equiv 3 rów. **nielin.** z 3 niewiad. $\vec{\nu} = (\nu_1, \nu_2, \nu_3) = \frac{(u_x, u_y, -1)}{\sqrt{1+u_x^2+u_y^2}}$:

$$\left\langle \frac{\vec{p}}{\|\vec{p}\|} | \vec{\nu} \right\rangle = E_1, \quad \left\langle \frac{\vec{q}}{\|\vec{q}\|} | \vec{\nu} \right\rangle = E_2, \quad \|\vec{\nu}\| = 1. \Rightarrow (u_x, u_y) = \frac{-(\nu_1, \nu_2)}{\nu_3}.$$

Tw. 2. Dla $\vec{p} = (p_1, p_2, p_3)$ i $\vec{q} = (q_1, q_2, q_3)$ lin. niezal. i E_1, E_2 pochodne (u_x, u_y) spełniające (2RIL) są zadane $\forall (x, y) \in \Omega = \Omega_1 \cap \Omega_2$:

$$u_x = \frac{\|\vec{p}\|(q_1\langle\vec{p}|\vec{q}\rangle - p_1\|\vec{q}\|^2)E_1 + \|\vec{q}\|(p_1\langle\vec{p}|\vec{q}\rangle - q_1\|\vec{p}\|^2)E_2 + (p_3q_2 - p_2q_3)\varepsilon\sqrt{\Lambda}}{\|\vec{p}\|(p_3\|\vec{q}\|^2 - q_3\langle\vec{p}|\vec{q}\rangle)E_1 + \|\vec{q}\|(q_3\|\vec{p}\|^2 - p_3\langle\vec{p}|\vec{q}\rangle)E_2 + (p_1q_2 - p_2q_1)\varepsilon\sqrt{\Lambda}},$$

$$u_y = \frac{\|\vec{p}\|(q_2\langle\vec{p}|\vec{q}\rangle - p_2\|\vec{q}\|^2)E_1 + \|\vec{q}\|(p_2\langle\vec{p}|\vec{q}\rangle - q_2\|\vec{p}\|^2)E_2 + (p_1q_3 - p_3q_1)\varepsilon\sqrt{\Lambda}}{\|\vec{p}\|(p_3\|\vec{q}\|^2 - q_3\langle\vec{p}|\vec{q}\rangle)E_1 + \|\vec{q}\|(q_3\|\vec{p}\|^2 - p_3\langle\vec{p}|\vec{q}\rangle)E_2 + (p_1q_2 - p_2q_1)\varepsilon\sqrt{\Lambda}},$$

gdzie

$$\Lambda(x, y) = \|\vec{p}\|^2\|\vec{q}\|^2[1 - E_1^2(x, y) - E_2^2(x, y)] - \langle\vec{p}|\vec{q}\rangle[\langle\vec{p}|\vec{q}\rangle - 2\|\vec{p}\|\|\vec{q}\|]E_1(x, y)E_2(x, y),$$

$$\varepsilon = \varepsilon(x, y) = \pm 1,$$

tak by funkcja

$$f(x, y) = \varepsilon(x, y)\sqrt{\Lambda(x, y)}$$

była ciągła.

Szkic dowodu Tw. 2. $\forall(x, y) \in \Omega$:

Krok 1: ϕ bijekcja

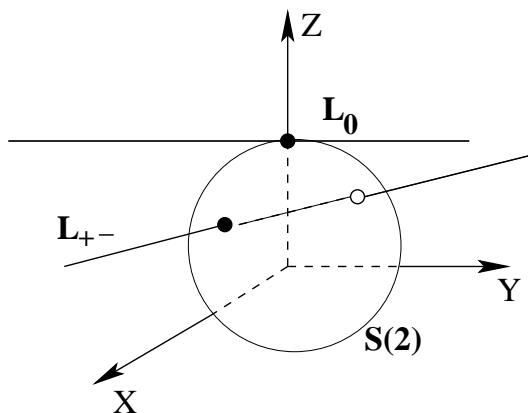
$$\phi : (u_x, u_y) \mapsto (\nu_1, \nu_2, \nu_3) = \frac{(u_x, u_y, -1)}{\sqrt{1 + u_x^2 + u_y^2}} = \frac{\vec{n}}{\|\vec{n}\|}.$$

Krok 2: (2RIL) z $(u_x, u_y) \equiv 2$ rów. lin. + 1 nielin.

$$\boxed{\langle \frac{\vec{p}}{\|\vec{p}\|} | \vec{\nu} \rangle = E_1, \quad \langle \frac{\vec{q}}{\|\vec{q}\|} | \vec{\nu} \rangle = E_2, \quad \|\vec{\nu}\| = 1}, \quad (5)$$

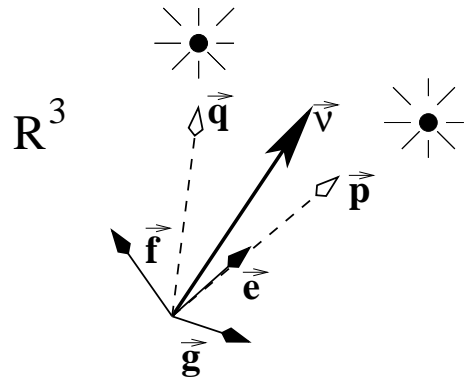
z 3 niewiad. $\vec{\nu} = (\nu_1, \nu_2, \nu_3)$.

Geometria (5): przecięcie prostej L_{+-} (L_0) z jedn. sferą $S(2) \subset \mathbb{R}^3$.



Rys. 15. Układ (5) ma 1 lub 2 rozw.

Krok 3: lin. niezal. \vec{p} , \vec{q} i ortogonal. Szmidtowa \Rightarrow bazę $\mathcal{B} = \{\vec{e}, \vec{f}, \vec{g}\}$:



Rys. 16. $\frac{\vec{n}}{\|\vec{n}\|}$ w bazie ortonormalnej \mathcal{B} : $\vec{v} = \alpha\vec{e} + \beta\vec{e} + \sigma\vec{f}$.

Krok 4: Wyznaczamy (α, β, σ) :

$$\alpha = \langle \vec{v} | \vec{e} \rangle = E_1, \quad \beta = \langle \vec{v} | \vec{f} \rangle = \frac{\|\vec{p}\| \|\vec{q}\| E_2 - \langle \vec{p} | \vec{q} \rangle E_1}{\sqrt{\|\vec{p}\|^2 \|\vec{q}\|^2 - \langle \vec{p} | \vec{q} \rangle^2}} \Rightarrow \sigma = \pm \sqrt{1 - \alpha^2 - \beta^2},$$

gdzie

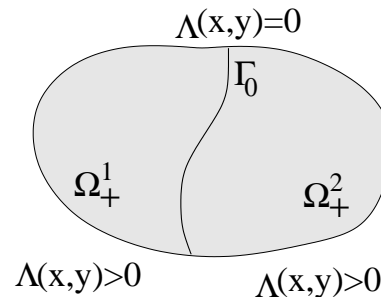
$$1 - \alpha^2 - \beta^2 = \frac{\|\vec{p}\|^2 \|\vec{q}\|^2 (1 - E_1^2 - E_2^2) - \langle \vec{p} | \vec{q} \rangle (\langle \vec{p} | \vec{q} \rangle - 2\|\vec{p}\| \|\vec{q}\| E_1 E_2)}{\|\vec{p}\|^2 \|\vec{q}\|^2 - \langle \vec{p} | \vec{q} \rangle^2}$$

Krok 5: $\vec{v} = \alpha\vec{e} + \beta\vec{f} + \sigma\vec{g} \Rightarrow u_x = \frac{-\nu_1}{\nu_3}$ i $u_y = \frac{-\nu_2}{\nu_3} \Rightarrow$ Tw. 2.. □

Ciągłość $\vec{n} = (v_1, v_2, -1) \not\Rightarrow$ całkowalności (1 jest całk.).

(ii) Całkowanie (analiza):

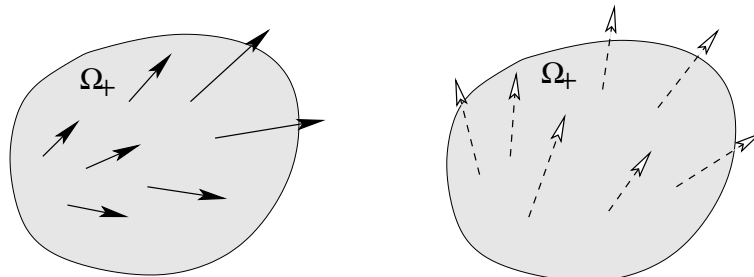
Tw. 2 $\Rightarrow \vec{v} = (v_1, v_2)$ (jeśli całk.) \Rightarrow “całkujemy” \vec{v} do $u_{\vec{v}}$.



Rys. 17. Generycznie dla S : $\boxed{\Omega = \Omega_+^1 \cup \Omega_+^2 \cup \Gamma_0.}$

- na $\Omega_+^{1,2}$ **Tw. 2** \Rightarrow **∃ 2 pola**: $\vec{v}^\pm = (u_x^\pm, u_y^\pm)$
- na Γ_0 **Tw. 2** \Rightarrow **∃ 1. pole**: $\vec{v}^0 = (u_x^0, u_y^0)$
- na Ω \Rightarrow **∃ 4 pola**: $\vec{v}^{+,+}, \vec{v}^{--,--}, \vec{v}^{+,-}, \vec{v}^{-,+}$

PRZYPADEK: $\Lambda(x, y) > 0$ na Ω_+



Rys. 18. Dla $\Omega_+ \subset \Omega$: \exists !2 pola (u_x^\pm, u_y^\pm) spełn. (2RIL).

S Lamberta \Rightarrow min. 1 pole całk.: (2) $\Rightarrow u \in C^2$.

\exists !2: pola (u_x^+, u_y^+) i (u_x^-, u_y^-) całk. (z $\vec{p} = (0, 0, -1)$) \Leftrightarrow :

$$q_1 q_2 (u_{xx} - u_{yy}) + (q_1^2 - q_2^2) u_{xy} = 0 . \quad (6)$$

(6) - silne ograniczenie!* \Rightarrow

Generyczna jednozn. rekonstr. $S \in C^2$ na $\Omega_+^{1,2}$.

*Generycznie rów. falowe nie spełnione na otwartym $\Omega_f \subset \Omega_+$.

Jeśli \vec{v}^+ i \vec{v}^- całk. \Rightarrow związki u^+ z u^- ?

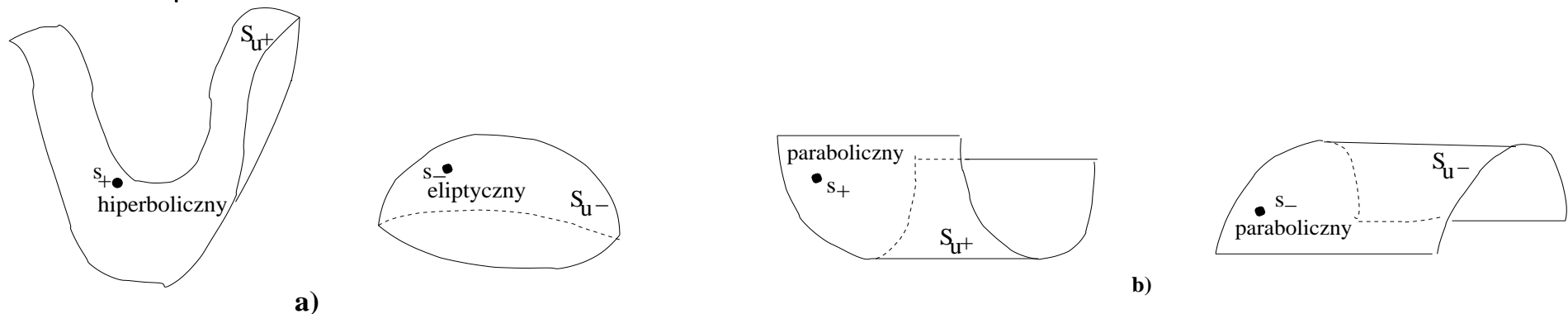
a) analit:
$$u^+ = \phi + \psi, \quad u^- = \phi - \psi.$$

\Rightarrow dla u^+ (u^-) \Rightarrow sprzężone u^- (u^+).

b) geometr.: $s_{\pm} = (x, y, u^{\pm}) \in S_{u^{\pm}} \Rightarrow K_{u^+}(s_+) = -K_{u^-}(s_-)$. *

$\Rightarrow \neg \exists$ 2 pow. (wyp. S_{u^+} i wkl. S_{u^-}) - (1RIL) nie.

$\Rightarrow s_+$ wyp. (wkl.) to s_- siodłowy[†] (i odwrot.).

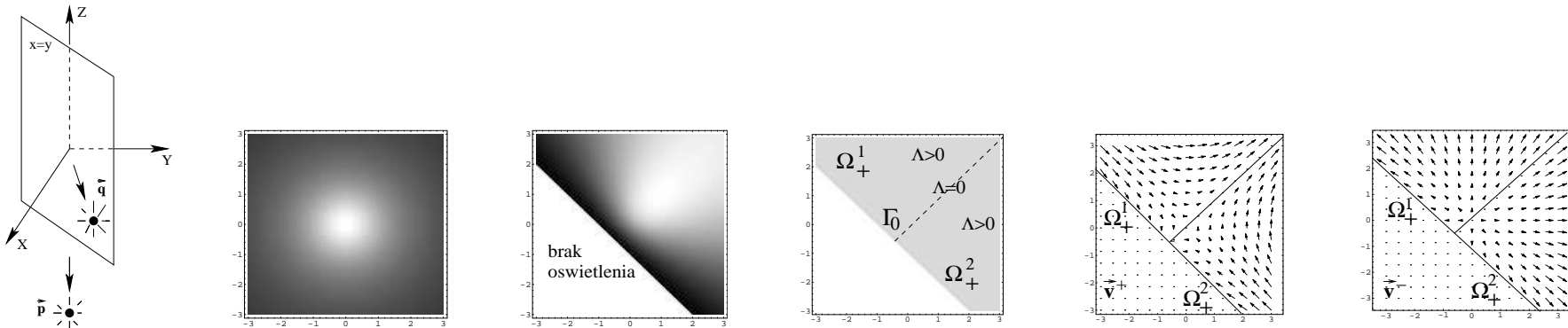


Rys. 19. Krzyw. Gaussa a) (elipt.,hiperb.) b) (parab.,parab.)

*Krzyw. Gaussa w pkcie $s = (x, y, u(x, y)) \in S$: $K_u(x, y) = \frac{u_{xx}u_{yy} - u_{xy}^2}{(1+u_x^2+u_y^2)^2}$.

†Lust. niejednoz. $u_+ = -u_-$ tylko gdy $K_G(s_+) = K_G(s_-) = 0$.

Wykluczenie siodeł ujednoznacznia rzadką niejednozn. dla Ω_+



Rys. 20. $\vec{p} = (0, 0, -1)$ i $\vec{q} = (1/\sqrt{3}, 1/\sqrt{3}, -1/\sqrt{3})$.

Przyk. 4.: Kamera $[-3, 3]^2$:

$$\frac{(\sqrt{3}, u_x + u_y + 1)}{\sqrt{3(1 + u_x^2 + u_y^2)}} = (E_{\vec{p}}(x, y), E_{\vec{q}}(x, y)) = \frac{(\sqrt{3}, x + y + 1)}{\sqrt{3(1 + x^2 + y^2)}}.$$

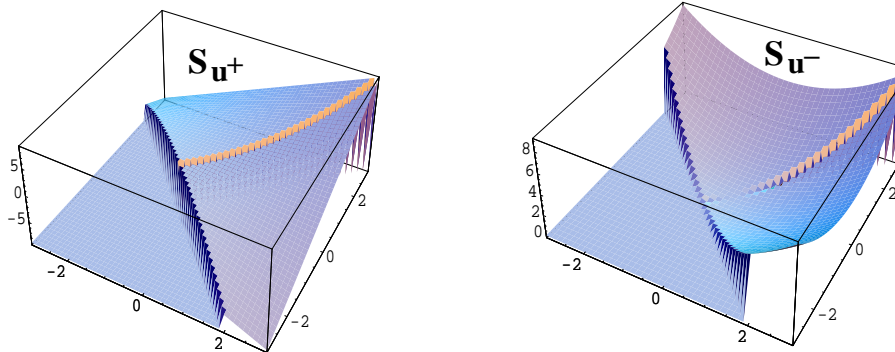
(i) Tw. 2. $\Rightarrow \boxed{\Lambda \equiv 0 \Leftrightarrow x = y}$. Na $\Omega_+^1 = \{(x, y) : y > x, y \geq -x - 1\}$
 $(\Omega_+^2 \{(x, y) : y < x, y \geq -x - 1\}) \exists !2$ pola:

$$(v_1^+, v_2^+) = (y, x), \quad (v_1^-, v_2^-) = (x, y).$$

Oba całk. (spełniają war. całk. \equiv rów. falowe $u_{yy} - u_{xx} = 0$).

(ii) Całk. \vec{v}^\pm w $\Omega_+^{1,2}$: $\Rightarrow S_{u^+}$ (siodełko) S_{u^-} (paraboloida):

$$u^+(x, y) = xy + C, \quad u^-(x, y) = \frac{x^2+y^2}{2} + C. \quad (7)$$



Rys. 21. 2 rozw. C^2 w $\Omega_+^{1,2}$: siodełko i paraboloida*.

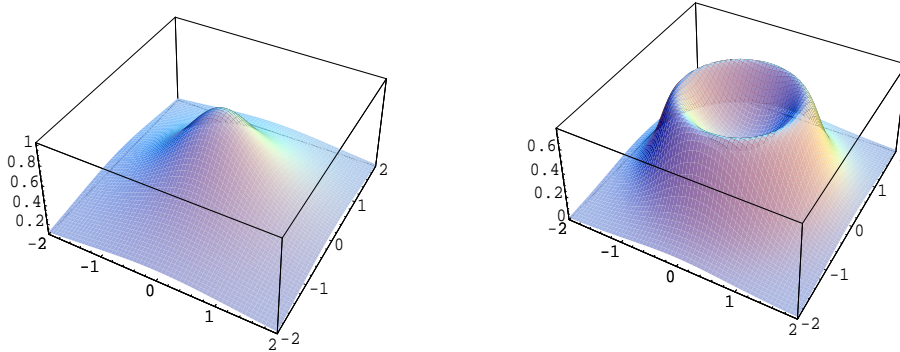
Lub: dla u^+ rozkład $u^+ = \phi + \psi$:

$$u^+(x, y) = xy = \frac{(x+y)^2}{4} + \frac{-(y-x)^2}{4} \Rightarrow u^- = \phi - \psi \text{ (sprzężone)},$$

$$u^-(x, y) = \frac{(x+y)^2}{4} - \frac{-(y-x)^2}{4} = \frac{x^2+y^2}{2}.$$

$\forall s_+ \in S_{u^+} \ K_{u^+}(x, y) = \frac{-1}{(1+x^2+y^2)^2}$ hiper. i $\forall s_- \in S_{u^-} \ K_{u^-}(x, y) = \frac{1}{(1+x^2+y^2)^2}$ elipt.

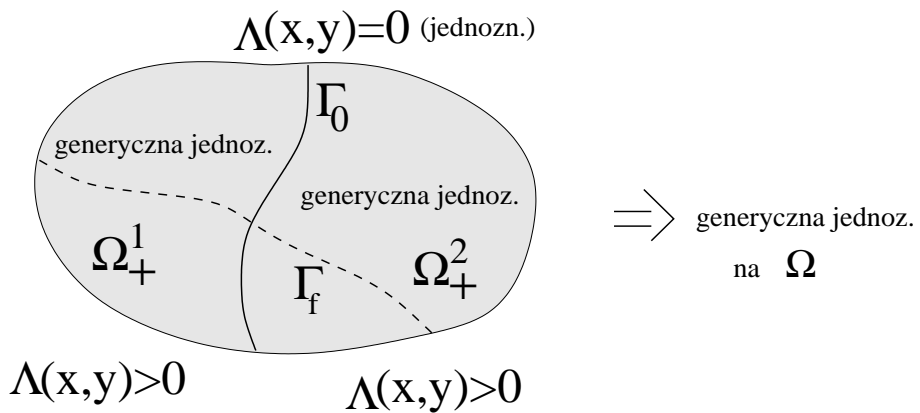
* $\forall \vec{q}, u^\pm$ z (7) spełnia $q_1 q_2 (u_{xx} - u_{yy}) + (q_1^2 - q_2^2) u_{xy} = 0 \Rightarrow$ niejednozn.



Rys. 22. Powierzchnie: górzysta i wulkaniczna.

Generycznie dla (S, \vec{p}, \vec{q}) : np. sfera, elipsoida, pow. górzysta (wulkan.)*

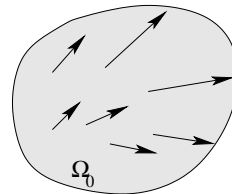
jednozn. rekonst. w Ω_+ \Rightarrow globalnie w Ω .



Rys. 23. (2RIL): generyczna jednozn. S (globalnie).

*Rów. falowe (6) jest spełnione na “cienkim” zbiorze ($\Omega_+ \supset \Gamma_f$ - krzywa).

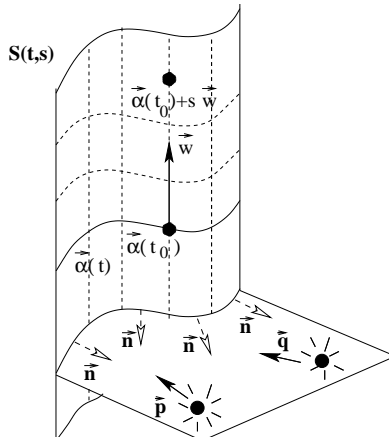
PRZYPADEK: $\Lambda(x, y) \equiv 0$ na Ω_0^*



Rys. 24. $\exists !$ pole \vec{v} na Ω_0 .

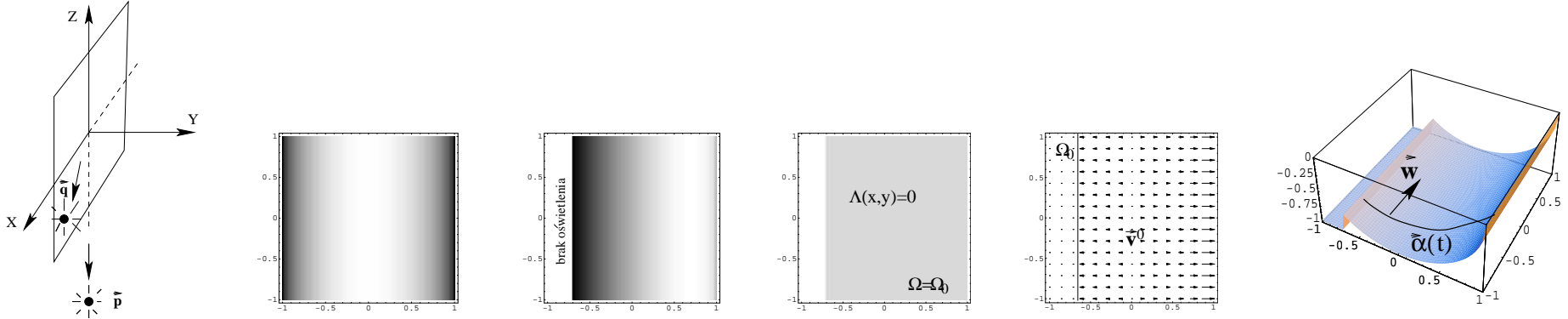
S Lamb. $\Rightarrow \vec{v}$ całk. (Ω_0 otwarty) \Rightarrow jednozn. \equiv (FS3).

- $\forall s \in S \quad \vec{n}(s) \perp S \Rightarrow \vec{n} \in \Pi_{\vec{p}, \vec{q}}$
- **Cylindryczna** $S(t, s) = \vec{\alpha}(t) + s \vec{w}$ (\Rightarrow krzyw. Gaussa = 0)



Rys. 25. S pokryta prostymi \parallel (wodzone wzdłuż $\vec{\alpha}(t)$).

*Generycznie Ω_0 redukuje się do krzywej $\Gamma_0 \subset \Omega$.



Rys. 26. $\vec{p} = (0, 0, -1)$ i $\vec{q} = (1/\sqrt{2}, 0, -1/\sqrt{2})$.

Przyk. 5.: Kamera $[-1, 1]^2$:

$$\frac{(\sqrt{2}, u_x + 1)}{\sqrt{2(1+u_x^2+u_y^2)}} = (E_{\vec{p}}(x, y), E_{\vec{q}}(x, y)) = \left(\sqrt{1-x^2}, \frac{\sqrt{1-x^2}+x}{\sqrt{2}} \right).$$

(i) **Tw. 2:** $\boxed{\Lambda \equiv 0}$ $\Omega_0 = \{(x, y) : -(1/\sqrt{2}) \leq x \leq 1\}$ (obszar) $\Rightarrow \exists !$ 1 całk. pole:

$$(v_1^0, v_2^0) = \left(\frac{x}{\sqrt{1-x^2}}, 0 \right), \quad \Rightarrow \quad v_{1y}^0 = v_{2x}^0 = 0.$$

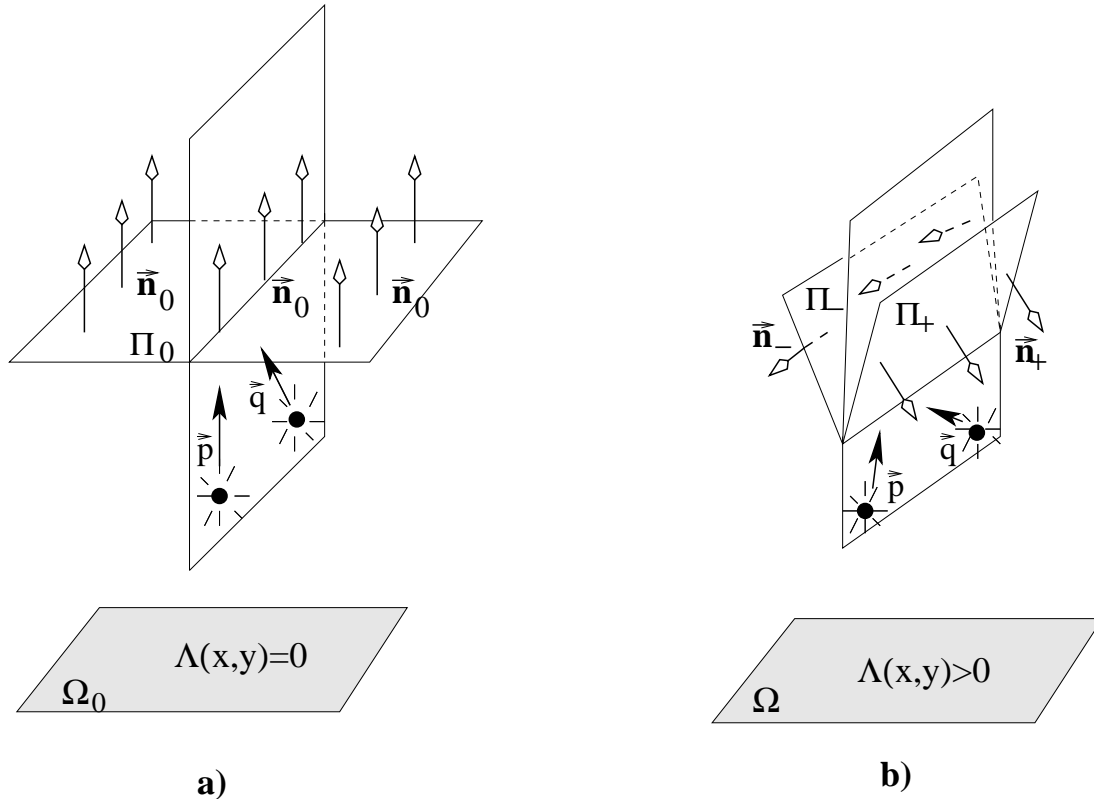
(ii) **Całk. \vec{v}^0 w Ω_0 :** $\Rightarrow S_{u^0}$ (**cylinder*** - $\vec{w} = (0, 1, 0)$, $\vec{\alpha}(t) = (t, 0, -\sqrt{1-t^2})$):

$$C^2(\Omega_0) \ni u^0(x, y) = -\sqrt{1-x^2} + C, \quad S_{u^0}(t, s) = \vec{\alpha}(t) + s\vec{w}.$$

□

***Krzyw. Gaussa** $K_{u^0}(x, y) = 0$ jako, że $u_{xy}^0 = u_{yy}^0 = 0$.

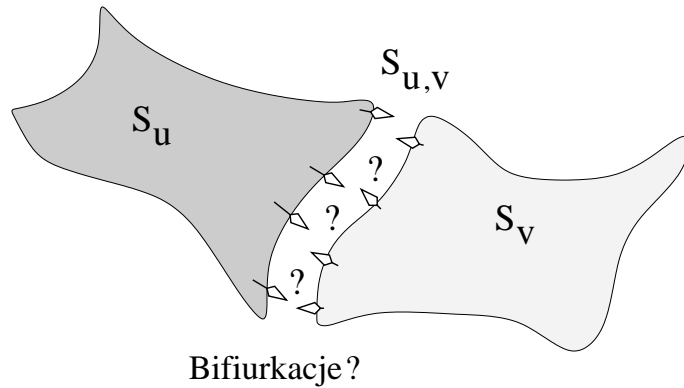
Przyk. 6.: Płaszczyzna Lamberta:



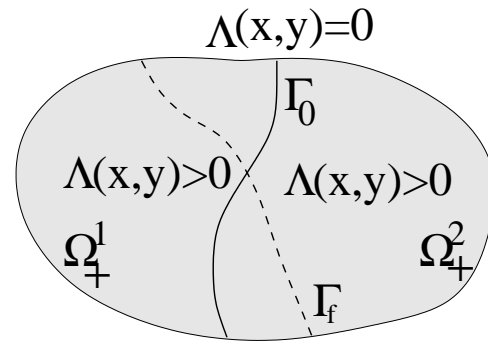
Rys. 27. Płaszcz. (2RIL) \Rightarrow a) jednozn. Π_0 b) niejednozn. Π_\pm .

Jednozn. zależy od S i od kierunków oświetleń (np. płaszczyzna). \square

PRZYPADEK: $\Lambda(x, y) \geq 0$ na Ω



Bifurkacje?



Rys. 28. Generycznie dla S : $\boxed{\Omega = \Omega_+^1 \cup \Omega_+^2 \cup \Gamma_0.}$

Globalna rekonstr. S : sklejanie u w Ω_+^1 z v w Ω_+^2 wzduż Γ_0 .

Ilość sklejeń $S_{u,v}$ i regularność (tzn. ciągłość/gładkość)?

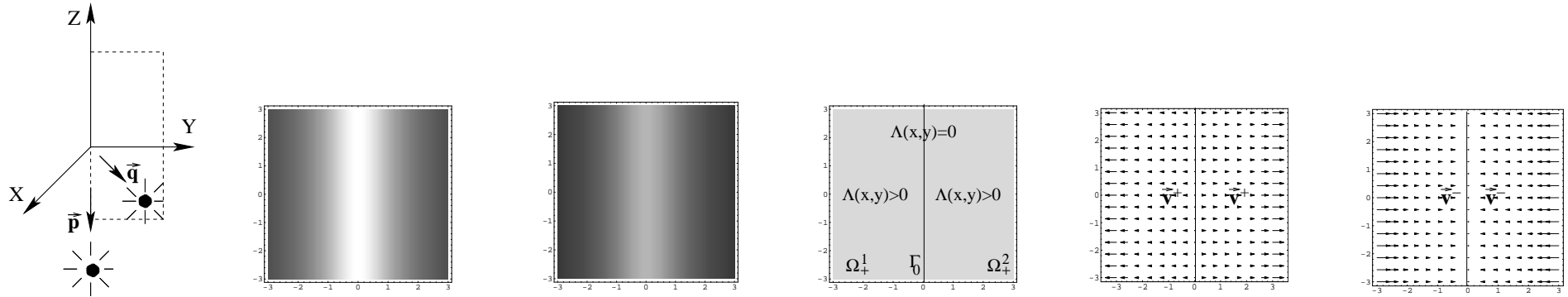
i) generycznie $\exists ! 1 u, v \in C^2(\Omega_+^{1,2})$:

- 1 możliwe sklejenie $S_{u,v}$ na Ω (**Tw. 3.** $\exists const \Rightarrow S_{u,v} \in C^1$)
- $S_{u,v} \in C^1$ (obrazy S Lamb.)
- $S_{u,v} \in C^2$ dla $S \in C^2$ (sfера, elipsoida, pow. górzysta/wulkan.)

ii) rzadki przyp. $\exists 2 u^\pm \in C^2(\Omega_+^1)$ i $2 v^\pm \in C^2(\Omega_+^2)$:

- **Tw. 4.** (u, v) bifurkuje w $C^2 \Rightarrow$ 2ga para bifurkuje w C^2 ($\Rightarrow \exists 0$ lub 2 lub 4 rozw. $C^2(\Omega)$)
- conajm. 1 $S_{u,v} \in C^1$ (obrazy S Lamb.)
- $S_{u,v} \in C^2$ (dla $S \in C^2$) \Rightarrow conajm. 2 rozw. C^2 (z **Tw. 4.**)

*Rów. falowe (6) spełnione tylko na “cienkim” zbiorze (krzywej) $\Gamma_f \subset \Omega_+^{1,2}$.



Rys. 29. $\vec{p} = (0, 0, -1)$ i $\vec{q} = (0, 1/\sqrt{2}, -1/\sqrt{2})$.

Przyk. 7.: Kamera $[-3, 3]^2$:

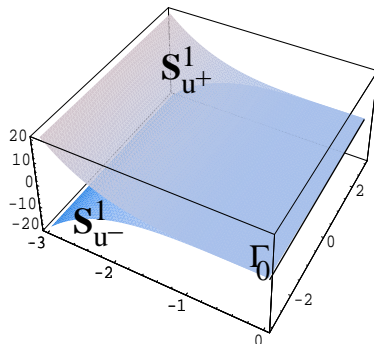
$$\frac{(\sqrt{2}, u_y + 1)}{\sqrt{2(1 + u_x^2 + u_y^2)}} = (E_{\vec{p}}(x, y), E_{\vec{q}}(x, y)) = \frac{(\sqrt{2}, 1)}{\sqrt{2(1 + x^2)}}.$$

(i) Tw. 2. $\boxed{\Lambda > 0} \Leftrightarrow x \neq 0 \Rightarrow \exists$ 2 pola \vec{v}^\pm (catk.) w $\Omega_+^1 = \{(x, y) : x < 0\}$ ($\Omega_+^2 = \{(x, y) : x > 0\}$):

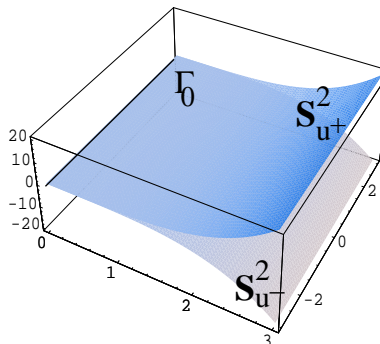
$$(v_1^\pm, v_2^\pm) = (\pm x^3, 0) \quad \Rightarrow \quad v_1^\pm{}_y = v_2^\pm{}_x = 0.$$

(ii) Catk. \vec{v}^\pm w $\Omega_+^{1,2}$: \Rightarrow 2 pow. $S_{u^+}^{1,2}$ i $S_{u^-}^{1,2}$ klasy C^2 :

$$C^2(\Omega_+^{1,2}) \ni u^\pm(x, y) = \pm \frac{x^4}{4} + C.$$



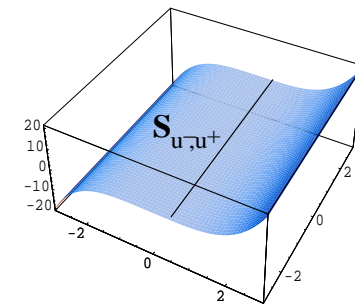
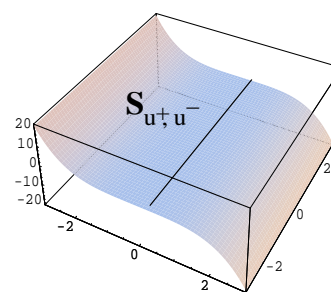
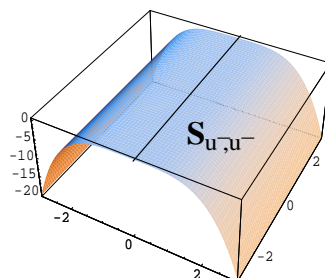
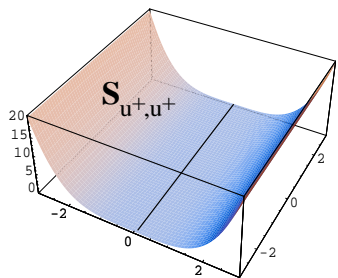
a)



b)

Rys. 30. 2 powierzchnie w części obrazu Ω a) Ω_+^1 b) Ω_+^2 .

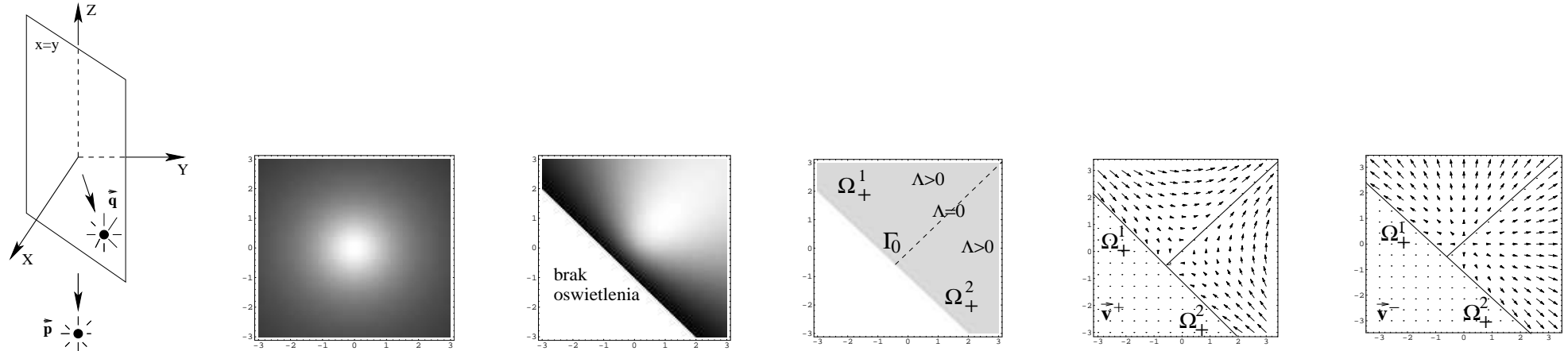
4 bifurkacje w klasie C^2 wzduż $\Gamma_0 = \{(x, y) \in \mathbb{R}^2 : x = 0\}$.



Rys. 31. 4 powierzchnie klasy C^2 w całej Ω .

Lustrzane roz. $(S_{u+,u+}, S_{u-,u-})$, $(S_{u+,u-}, S_{u-,u+})$ krzyw. Gaussa = 0.

1

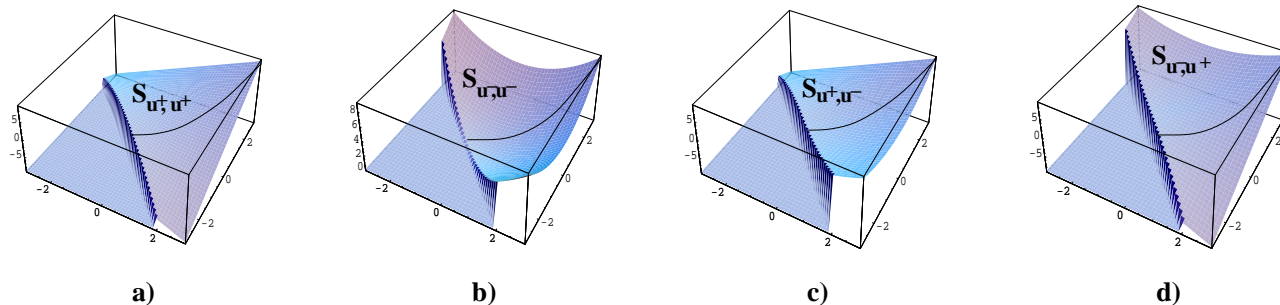


Rys. 32. $\vec{p} = (0, 0, -1)$ i $\vec{q} = (1/\sqrt{3}, 1/\sqrt{3}, -1/\sqrt{3})$.

Przyk. 8.: Przyk. 4 \Rightarrow **siodełko i paraboloida** w $C^2(\Omega_+^{1,2})$:

$$u^+(x, y) = xy + C, \quad u^-(x, y) = \frac{x^2+y^2}{2} + C. \quad (8)$$

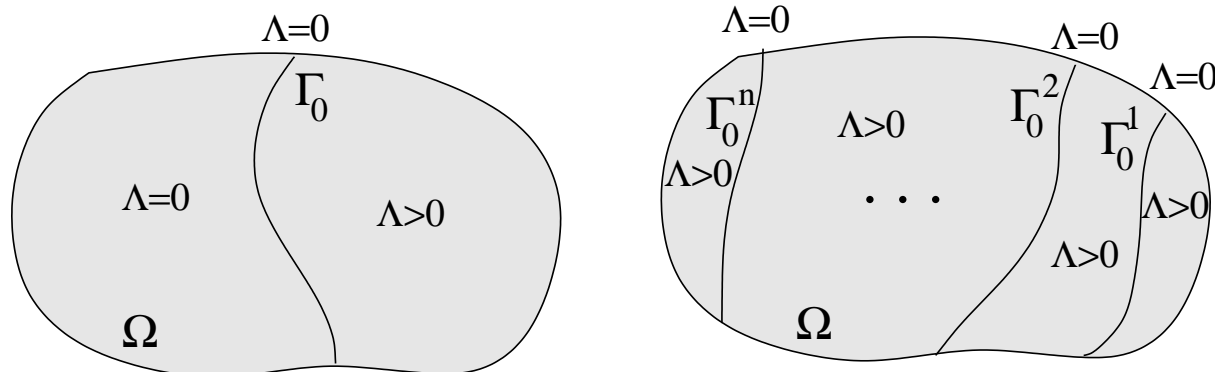
2 (i 4) bifurkacje w klasie C^2 (C^1) na $\Gamma_0 = \{(x, y) \in \mathbb{R}^2 : x = y\}$.



Rys. 33. 2 pow. na całej Ω : klasy **a)-b)** C^2 **c)-d)** C^1 .

Klasa rozw. i topologia zb. ($\Lambda \equiv 0$ i $\Lambda > 0$) \Rightarrow **jednozn.**

Nie generyczne przyp.:



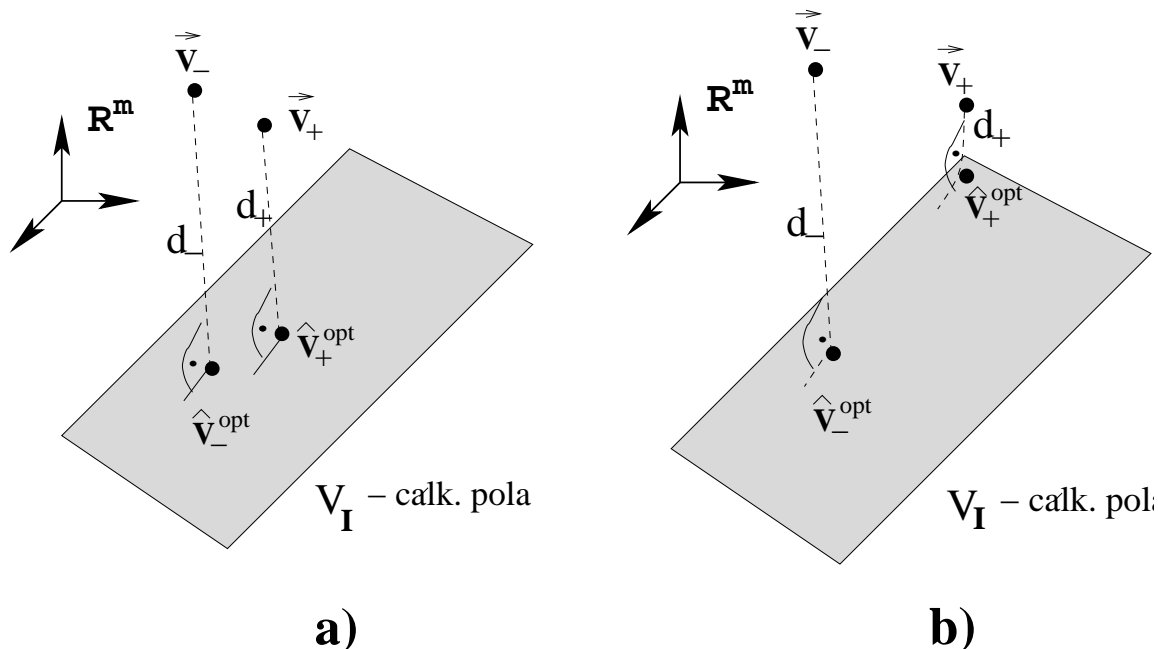
Rys. 34. a) max. 2 pow. $S \in C^{1,2}$ b) 2^n możliwych pow. $S \in C^{1,2}$.

\exists obrazy syntetyczne E_1 i E_2 (nie Lambertowskie):

- bifurkacje tylko C^0
- \exists tylko rozw. nieograniczone
- rozw. z ∞ ilością fałdów

Dyskretyzacja/Szumy: (bardziej złożona niż $N = 3$).

- wyznacz. $\Omega_+^{1,2}$ i Γ_0 (np. dla pikseli)
- oba \vec{v}_+ i \vec{v}_- (na $\Omega_+^{1,2}$) niecałk.
- rektyfik. (lin. opt.) \vec{v}_+ i $\vec{v}_- \Rightarrow \hat{v}_+^{opt.}$ i $\hat{v}_-^{opt.}$ (całk.)
- jeśli $d_+ \approx d_-$ ($d_+ \not\approx d_-$) \Rightarrow 2 (1) rozw.



Rys. 35. a) $d_+ \approx d_-$: 2 rozw. **b)** $d_+ \not\approx d_-$: 1 rozw.

- pojęcie bifurkacji $C^{1,2}$ (na Γ_0^D) traci sens dla pikselizacji
- ekstra więzy w eliminacji niejedzn. dysk. rozw. (lin./nielin. opt.):

– rów. falowe

$$q_1 q_2 (u_{yy} - u_{xx}) + (q_1^2 - q_2^2) u_{xy} = 0 .$$

– krzywizny Gaussa

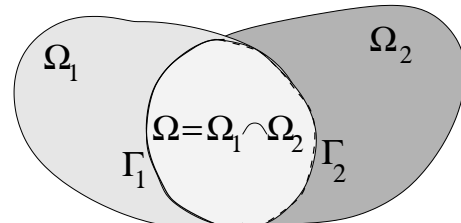
$$K_G((x, y, u^+(x, y))) = -K_G((x, y, u^-(x, y))) .$$

– postać sprzężona

$$u^+(x, y) = \phi(x, y) + \psi(x, y) \quad u^-(x, y) = \phi(x, y) - \psi(x, y) .$$

4. Podsumowanie

- **FS2** generycz. ujednozn. **SfS** w $\Omega = \Omega_1 \cap \Omega_2$ - przyp. ciągły
- **FS3** jednozn. i **FS1=SfS** silna niejednoz. \Rightarrow **FS2** “ \approx ” **FS3**
- analiza generycznej niejednozn. w **FS2** (relacje między rozw.)
- **FS2** (dyskret.) - generycz. eliminacja 1 pola poprzez lin. lub/i nielin. optymal. + więzy (odległość do pól całk., rów. falowe, postać sprzężona, krzyw. Gaussa)
- **FS2** \Rightarrow dane brzegowe dla **SfS=FS1** ($z N = 1$) na $\Omega_i \setminus \Omega$



Rys. 36. **FS2** \Rightarrow (u, \vec{n}_u) na Γ_1 (Γ_2) dla **SfS** na $\Omega_1 \setminus \Omega$ ($\Omega_2 \setminus \Omega$).

5. Dodatkowy Material N=3

Tw. 1. Dla E_1, E_2, E_3 pochodne (u_x, u_y) spełniające (3RIL) są zadane $\forall (x, y) \in \Omega = \Omega_1 \cap \Omega_2 \cap \Omega_3$:

$$u_x = \frac{(q_2 r_3 - q_3 r_2) E_1 \|\vec{p}\| + (p_3 r_2 - p_2 r_3) E_2 \|\vec{q}\| + (p_2 q_3 - p_3 q_2) E_3 \|\vec{r}\|}{(q_2 r_1 - q_1 r_2) E_1 \|\vec{p}\| + (p_1 r_2 - p_2 r_1) E_2 \|\vec{q}\| + (p_2 q_1 - p_1 q_2) E_3 \|\vec{r}\|},$$

$$u_y = \frac{(q_3 r_1 - q_1 r_3) E_1 \|\vec{p}\| + (p_1 r_3 - p_3 r_1) E_2 \|\vec{q}\| + (p_3 q_1 - p_1 q_3) E_3 \|\vec{r}\|}{(q_2 r_1 - q_1 r_2) E_1 \|\vec{p}\| + (p_1 r_2 - p_2 r_1) E_2 \|\vec{q}\| + (p_2 q_1 - p_1 q_2) E_3 \|\vec{r}\|},$$

gdzie $\vec{p} = (p_1, p_2, p_3)$, $\vec{q} = (q_1, q_2, q_3)$ i $\vec{r} = (r_1, r_2, r_3)$ lin. niezależne.

Szkic dowodu Tw. 1. $\forall(x, y) \in \Omega$:

Krok 1: $(u_x, u_y) \mapsto (\nu_1, \nu_2, \nu_3)$ bijekcja, gdzie

$$\nu_1 = \frac{u_x}{\sqrt{1 + u_x^2 + u_y^2}}, \quad \nu_2 = \frac{u_y}{\sqrt{1 + u_x^2 + u_y^2}}, \quad \nu_3 = \frac{-1}{\sqrt{1 + u_x^2 + u_y^2}}.$$

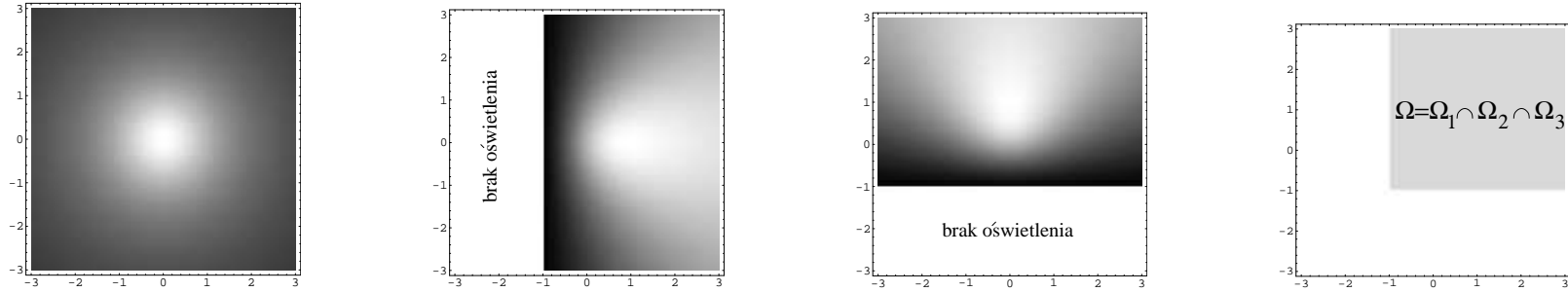
Krok 2: Nielin. **(3RIL)** z 2 niewiad. $(X, Y) = (u_x, u_y) \equiv 3$ rów. lin.

$$\left\langle \frac{\vec{p}}{\|\vec{p}\|} \right| \vec{\nu} \rangle = E_1, \quad \left\langle \frac{\vec{q}}{\|\vec{q}\|} \right| \vec{\nu} \rangle = E_2, \quad \left\langle \frac{\vec{r}}{\|\vec{r}\|} \right| \vec{\nu} \rangle = E_3, \quad (9)$$

z 3 niewiad. $\vec{\nu} = (\nu_1, \nu_2, \nu_3)$.

Krok 3: lin. niezal. \vec{p} , \vec{q} i $\vec{r} \Rightarrow$ (9) ma !1 rozw. $\vec{\nu}$.

Krok 4: $u_x = \frac{-\nu_1}{\nu_3}$ i $u_y = \frac{-\nu_2}{\nu_3} \Rightarrow$ **Tw. 1.** \square



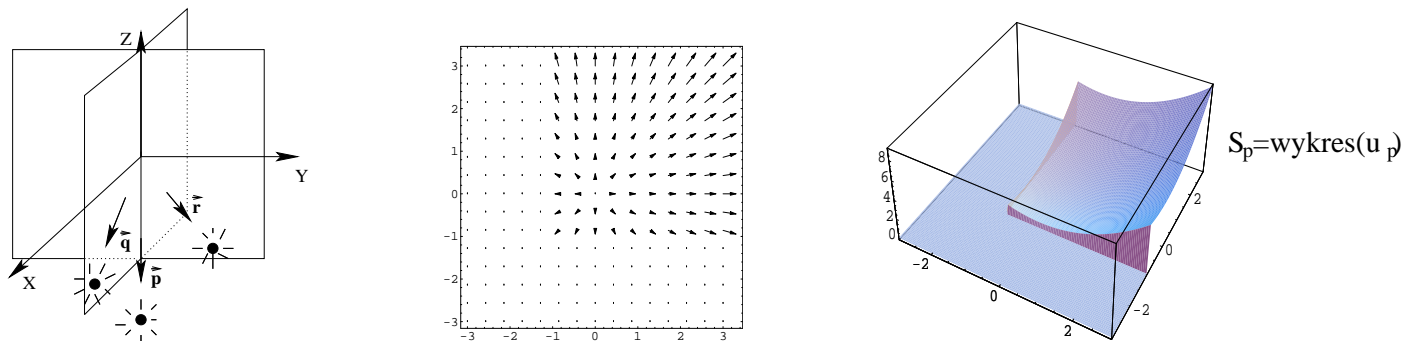
Rys. 37. $\vec{p} = (0, 0, -1)$, $\vec{q} = (1, 0, -1)$, $\vec{r} = (0, 1, -1)$.

Przyk. 9.: Kamera $[-3, 3]^2$:

$$\frac{(\sqrt{2}, u_x + 1, u_y + 1)}{\sqrt{2(1+u_x^2+u_y^2)}} = (E_{\vec{p}}, E_{\vec{q}}, E_{\vec{r}})(x, y) = \frac{(\sqrt{2}, x + 1, y + 1)}{\sqrt{2(1+x^2+y^2)}}.$$

(i) Tw. 1 $\Rightarrow [v_1 = x, v_2 = y]$ $v_{1y} = v_{2x} \Rightarrow \vec{v}$ catk.

(ii) Catk. $\vec{v} \Rightarrow$ jedynie $u_P(x, y) = \frac{x^2+y^2}{2} + C$ (S_P - paraboloida).



Rys. 38. Rekonstrukcja paraboloidy S_P w $\Omega = [-1, 3]^2$. \square

6. Dodatkowy Materiał N=2

Równanie Falowe (szkic dowodu):

Krok 1: Tw. 2 \Rightarrow

$$u_x^- = f_1(E_1, E_2, -\Lambda, \vec{p}, \vec{q}), \quad u_y^- = f_2(E_1, E_2, -\Lambda, \vec{p}, \vec{q}), \quad (10)$$

i z (2RIL)

$$E_1 = h_1(u_x^+, u_y^+, \vec{p}, \vec{q}), \quad E_2 = h_2(u_x^+, u_y^+, \vec{p}, \vec{q}), \quad (11)$$

gdzie h_1, h_2 lewe strony (2RIL).

Krok 2: $\Lambda(E_1, E_2, \vec{p}, \vec{q})$ i (11) $\Rightarrow \Lambda(u_x^+, u_y^+, \vec{p}, \vec{q})$ i (10), (11) \Rightarrow

$$u_x^- = \bar{f}_1(u_x^+, u_y^+, \vec{p}, \vec{q}), \quad u_y^- = \bar{f}_2(u_x^+, u_y^+, \vec{p}, \vec{q}). \quad (12)$$

Krok 3: Warunek całk.* $(u_x^-)_y = (u_y^-)_x \Rightarrow$

$$\boxed{q_1 q_2 (u_{yy}^- - u_{xx}^-) + (q_1^2 - q_2^2) u_{xy}^- = 0.} \quad \square \quad (13)$$

*Analogiczny argument dla $u^+ \Rightarrow u^+$ spełnia (13).

Postać sprzężona (szkic dowodu):

Krok 1: u^+ i u^- spełniają:

$$q_1 q_2 (u_{yy} - u_{xx}) + (q_1^2 - q_2^2) u_{xy} = 0 . \quad (14)$$

Reprezentacja rozw. (14)?

Krok 2: Zmiana współ. $\rho : (x, y) \mapsto (\xi, \theta)$, gdzie $\xi(x, y) = q_1 x + q_2 y$ oraz $\theta(x, y) = q_1 y - q_2 x$ zamienia (14) na

$$\bar{u}_{\xi\theta} = 0 , \quad \bar{u}(\xi, \theta) = (u \circ \rho^{-1})(\xi, \theta) . \quad (15)$$

Krok 3: Całk. (15) i $u(x, y) = \bar{u}(\xi, \theta) \Rightarrow \forall \phi, \psi \in C^2$

$$\bar{u}(\xi, \theta) = \phi(\xi) + \psi(\theta) ,$$

\Rightarrow rozw. (14):

$$u(x, y) = \phi(q_1 x + q_2 y) + \psi(q_1 y - q_2 x) . \quad (16)$$

Krok 4: Z (16) \Rightarrow

$$u^+(x, y) = \phi_+(q_1 x + q_2 y) + \psi_+(q_1 y - q_2 x), \quad u^-(x, y) = \phi_-(q_1 x + q_2 y) + \psi_-(q_1 y - q_2 x).$$

Krok 5: Jeśli u zafiksowane i spełnia (16) \Rightarrow

$$\phi(t) = u\left(\frac{q_1}{q_1^2 + q_2^2}t, \frac{q_2}{q_1^2 + q_2^2}t\right) - c, \quad \psi(t) = u\left(\frac{-q_2}{q_1^2 + q_2^2}t, \frac{q_1}{q_1^2 + q_2^2}t\right) + c - u(0, 0).$$

Krok 6: (u_x^+, u_y^+) dla $u^+ = \phi_+ + \psi_+$ podstawiamy do

$$u_x^- = \bar{f}_1(u_x^+, u_y^+, \vec{p}, \vec{q}), \quad u_y^- = \bar{f}_2(u_x^+, u_y^+, \vec{p}, \vec{q}). \quad (17)$$

$$\Rightarrow u_x^- = q_1 \phi' + q_2 \psi' \text{ i } u_y^- = q_2 \phi' - q_1 \psi'. \quad \Rightarrow$$

$$u^-(x, y) = \phi_+(q_1 x + q_2 y) - \psi_+(q_1 y - q_2 x).$$



postać sprzężona*

$$(\phi_+, \psi_+) = (\phi_-, -\psi_-).$$

□

$$^*\mathbf{Krzy. Gaussa} \quad K_u(x, y) = \frac{u_{xx}u_{yy} - u_{xy}^2}{(1 + u_x^2 + u_y^2)^2} \text{ w } (x, y, u(x, y)) \in S_u \Rightarrow [K_{u^+}(x, y) = -K_{u^-}(x, y)].$$

Def. 1. Pow. prostokreślna $S \subset \mathbb{R}^3 \Rightarrow \exists$ parametryzacja

$$S(t, s) = \vec{\alpha}(t) + s\vec{w}(t), \quad (t, s) \in (a, b) \times (c, d).$$

S pokryta prostymi: $\forall t_0$ prosta kierunkowa:

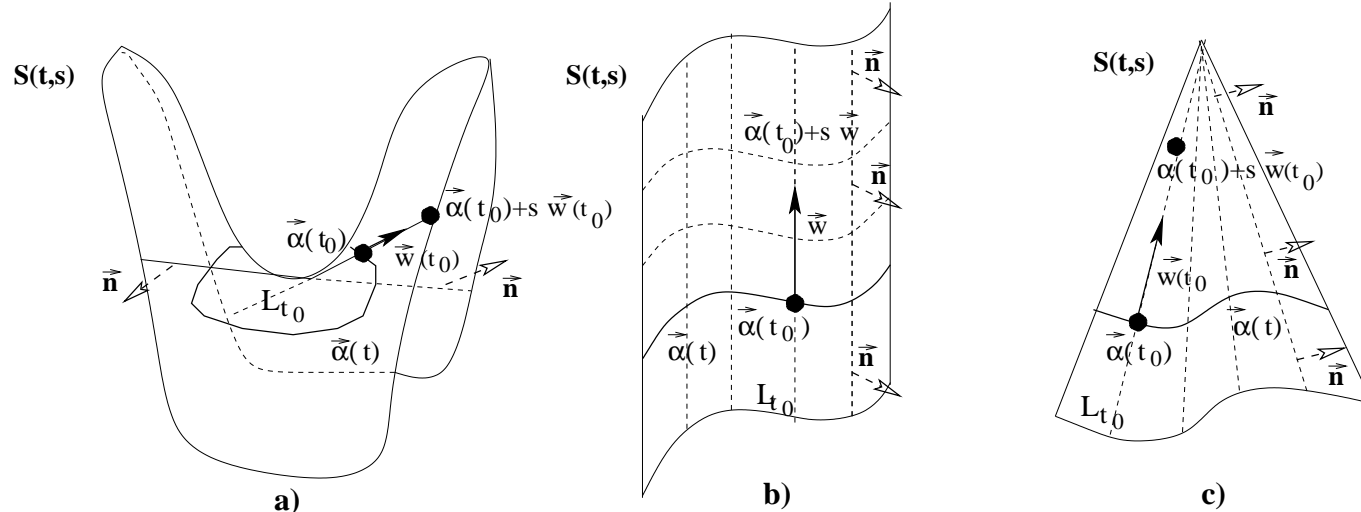
$$L_{t_0}(s) = \vec{\alpha}(t_0) + s\vec{w}(t_0) \subset S, \quad s \in (c, d).$$

$t \mapsto \vec{\alpha}(t) \subset S$ (dla $s = 0, t \in (a, b)$): krzywa prowadząca.

Def. 2. Pow. prostokreślna S jest rozwijalna:

$$\langle \vec{w}(t) \times \vec{w}'(t) | \vec{\alpha}(t) \rangle = 0.$$

Pow. rozwijalna: cylind. (stożk.) $\Rightarrow \vec{w}(t) = \vec{C}$ ($\vec{w}(t) \neq \vec{C}$).



Rys. 39. Pow. a) prostokreślna b) cylind. c) stożk.

Tw. 3. Niech $\Omega = \Omega_+^1 \cup \Omega_+^2 \cup \Gamma_0$, gdzie obszary $\Omega_+^1 \cap \Omega_+^2 = \emptyset$ ($\Lambda > 0$) i Γ_0 ($\Lambda = 0$) gładka krzywa. Niech $u \in C^2(\Omega_+^1)$ i $v \in C^2(\Omega_+^2)$ spełniają (2RIL). Jeśli E_1 i E_2 ciągłe na Ω i jeśli

$$\lim_{(x',y') \in \Omega_+^1 \rightarrow (x,y) \in \Gamma_0} u(x',y') = \bar{u}(x,y), \quad \lim_{(x'',y'') \in \Omega_+^2 \rightarrow (x,y) \in \Gamma_0} v(x'',y'') = \bar{v}(x,y)$$

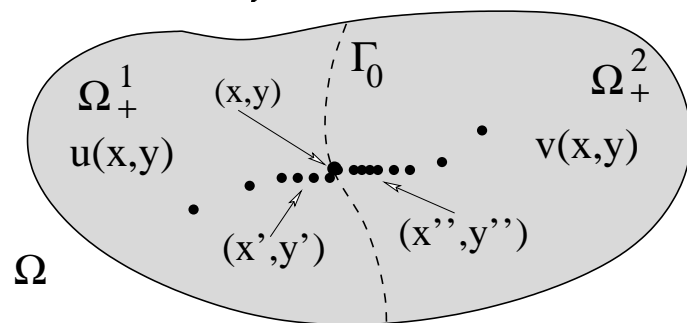
i obie granice

$$\lim_{(x',y') \in \Omega_+^1 \rightarrow (x,y) \in \Gamma_0} (u_x(x',y'), u_y(x',y')) , \quad \lim_{(x'',y'') \in \Omega_+^2 \rightarrow (x,y) \in \Gamma_0} (v_x(x'',y''), v_y(x'',y''))$$

istnieją $\Rightarrow \exists$ Const., taka że funkcja

$$z(x,y) = \begin{cases} u(x,y) & \text{if } (x,y) \in \Omega_+^1, \\ \bar{u}(x,y) & \text{if } (x,y) \in \Gamma_0, \\ v(x,y) + \text{Const.} & \text{if } (x,y) \in \Omega_+^2 \end{cases}$$

$z \in C^1(\Omega)$ (sklejanie klasy C^1).



Rys. 40. Bifiurkacje (u, v) w klasie C^1 wzdłuż krzywej Γ_0 .

Tw. 4. Niech $\Omega = \Omega_+^1 \cup \Omega_+^2 \cup \Gamma_0$, gdzie obszary $\Omega_+^1 \cap \Omega_+^2 = \emptyset$ ($\Lambda > 0$) i Γ_0 ($\Lambda = 0$) gładka krzywa. Niech $u, \hat{u} \in C^2(\Omega_+^1)$ i $v, \hat{v} \in C^2(\Omega_+^2)$ spełniają (2RIL). Jeśli E_1 i E_2 ciągłe na Ω i jeśli

$$\lim_{(x',y') \in \Omega_+^1 \rightarrow (x,y) \in \Gamma_0} (u(x',y'), \hat{u}(x',y')) = (\bar{u}(x,y), \bar{\hat{u}}(x,y)),$$

$$\lim_{(x'',y'') \in \Omega_+^2 \rightarrow (x,y) \in \Gamma_0} (v(x'',y''), \hat{v}(x'',y'')) = (\bar{v}(x,y), \bar{\hat{v}}(x,y))$$

i granice

$$\lim_{(x',y') \in \Omega_+^1 \rightarrow (x,y) \in \Gamma_0} (\nabla u(x',y'), \nabla \hat{u}(x',y')) , \quad \lim_{(x'',y'') \in \Omega_+^2 \rightarrow (x,y) \in \Gamma_0} (\nabla v(x'',y''), \nabla \hat{v}(x'',y''))$$

istnieją, i jeśli

$$z(x,y) = \begin{cases} u(x,y) & \text{if } (x,y) \in \Omega_+^1, \\ \bar{u}(x,y) & \text{if } (x,y) \in \Gamma_0, \\ v(x,y) + c_1. & \text{if } (x,y) \in \Omega_+^2 \end{cases}$$

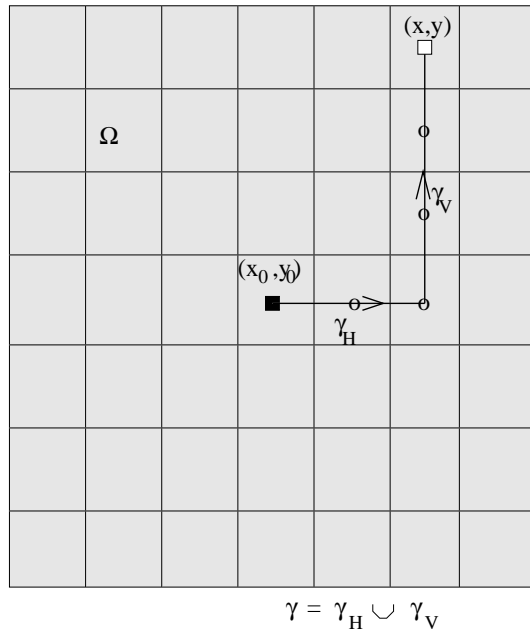
$z \in C^2(\Omega)$ (dla pewnej c_1) $\Rightarrow \exists c_2$ taka, że funkcja

$$\hat{z}(x,y) = \begin{cases} \hat{u}(x,y) & \text{if } (x,y) \in \Omega_+^1, \\ \bar{\hat{u}}(x,y) & \text{if } (x,y) \in \Gamma_0, \\ \hat{v}(x,y) + c_2. & \text{if } (x,y) \in \Omega_+^2 \end{cases}$$

$\hat{z} \in C^2(\Omega)$.*

***Sklejanie** pary (u, v) w klasie $C^2 \Rightarrow$ **sklejanie** pozostałej pary (\hat{u}, \hat{v}) w klasie C^2 .

7. Optymalizacja liniowa



Rys. 41. Całk. wzdłuż krzywej kawałkami lin.

- **dane ciągłe** - $\dot{\gamma} \equiv \text{const}$ (kawałkami)

$$u(x, y) = C + \int_0^1 [u_x(\gamma_1(t), \gamma_2(t))\dot{\gamma}_1(t) + u_y(\gamma_1(t), \gamma_2(t))\dot{\gamma}_2(t)]dt .$$

- **dane dyskretnie** na pikselach (jeśli $\vec{v} = (u_x, u_y)$ - całk.)

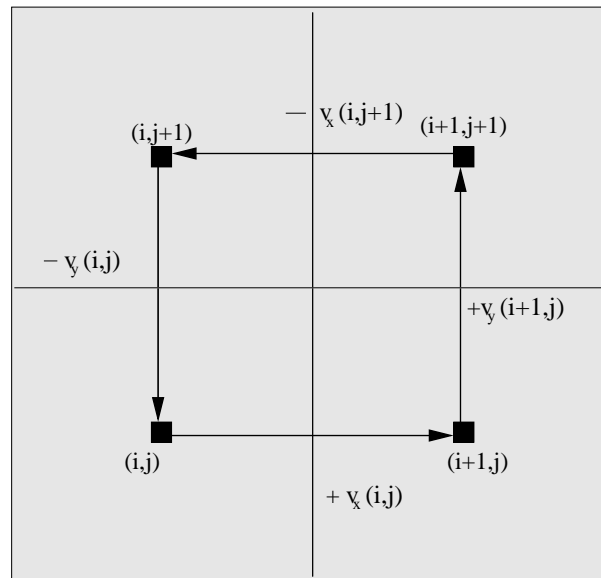
$$u(i+1, j) = u(i, j) + \Delta x u_x(i, j) , \quad u(i, j+1) = u(i, j) + \Delta y u_y(i, j) .$$

Dyskretna całk. wzdłuż atomowej pętli γ_c^{a*} :

$$\Delta xv_x[i, j] + \Delta yv_y[i + 1, j] - \Delta xv_x[i, j + 1] - \Delta yv_y[i, j] = 0, \quad (18)$$

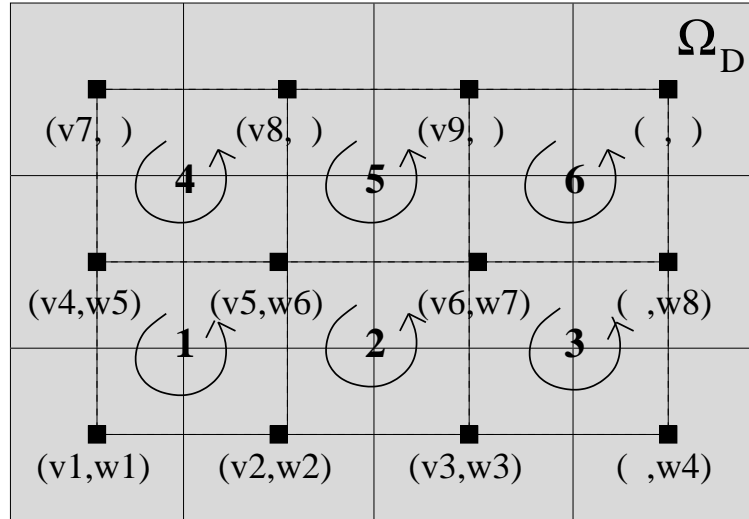
$$v_x[i, j] = \frac{u_{i+1}^j - u_i^j}{\Delta x}, \quad v_x[i, j + 1] = \frac{u_{i+1}^{j+1} - u_i^{j+1}}{\Delta x},$$

$$v_y[i, j] = \frac{u_i^{j+1} - u_i^j}{\Delta y}, \quad v_y[i + 1, j] = \frac{u_{i+1}^{j+1} - u_{i+1}^j}{\Delta y}.$$



Rys. 42. (18) - dyskretyzacja ciąg. war. całk. (3).

*Oszacowanie ∇u met. róż. “do przodu”.



Rys. 43. 6 atom. pętli γ_c^a na Ω_D (9 pikseli).

Przyk. 10.: War. całk. (18) na 6 atom. pętlach γ_c^a :

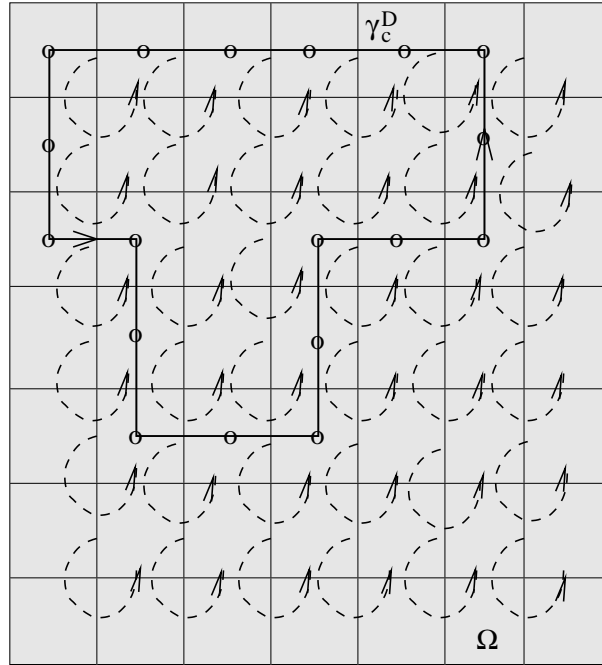
$$\begin{array}{ll}
 (1) v_1 + w_2 - v_4 - w_1 = 0, & (2) v_2 + w_3 - v_5 - w_2 = 0, \\
 (3) v_3 + w_4 - v_6 - w_3 = 0, & (4) v_4 + w_6 - v_7 - w_5 = 0, \\
 (5) v_5 + w_7 - v_8 - w_6 = 0, & (6) v_6 + w_8 - v_9 - w_7 = 0.
 \end{array} \tag{19}$$

(19) - ukł. **6 rów. lin. jednorod.** z 17 niewiad.:*

v_i ($1 \leq i \leq 9$) $\approx u_x$ ("do przodu").

w_i ($1 \leq i \leq 8$) $\approx u_y$ ("do przodu"). \square

*Piksele "prawe/górne" brzegu $\partial\Omega_D$ - nie zawsze przyporządkowane mają niewiad. (met. róż. "do przodu").



Rys. 44. $\forall \gamma_c^a \vec{v}$ spełnia (18) $\Rightarrow \forall \gamma_c^D$ dyskret. całka na $\gamma_c^D = 0$.

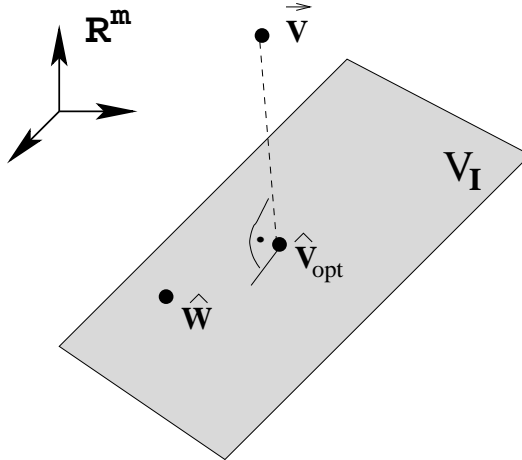
Tw. 1 dla (3RIL) (dla pikseli) \Rightarrow 1 dyskr. pole \vec{v} (tj. w **DFS3**).

Tw. 2 dla (2RIL) (dla pikseli) $\Rightarrow \forall$ piksela* **2** lub **1** \vec{v} .

Szum/Dyskret.: \vec{v} nie spełnia (18) (dysk. całk.).

Rektyfikacja \vec{v} : najbliższe całk. pole \hat{v}_{opt} .

*Ilość pól w **DFS2** zależy od możliwych “dyskret. bifurkacji”.



Rys. 45. \hat{v}_{opt} - rzut ortogn. \vec{v} na V_I (przestrz. lin.*).

Dyskretna całkowalność pola $X \in V_I$:

$$V_I = \{X \in \mathbb{R}^m : L(X) = \vec{0}\}, \quad L : \mathbb{R}^m \rightarrow \mathbb{R}^n \text{ liniowy jednorod.} \}.$$

- $m \approx 2 \times \text{ilość pikseli} - \text{duże!}$
- $n \text{ duże!} - \text{ilość rów.} = \text{ilości atom. pętli } \gamma_c^a \ (m > n)$

Szum/Dyskretyz.: Tw. 1 (Tw. 2) dla (3RIL) ((2RIL)) $\Rightarrow \vec{v} \notin V_I$:

$$L(\vec{v}) \neq \vec{0}.$$

* V_I zależy od met. róż. (np. "do przodu", "do tyłu", "centralnej") użytej do $\approx \nabla u$.

Dyskret./Szumy ciągłego modelu (3(2)RIL) \Rightarrow lin. optymal.:

$$\mathcal{J}_Q(\hat{\mathbf{v}}_{opt}) = \min_{\hat{\mathbf{w}} \in V_I} \sum_{i,j=1} ((\hat{w}_1[i,j] - v_1[i,j])^2 + (\hat{w}_2[i,j] - v_2[i,j])^2) .$$

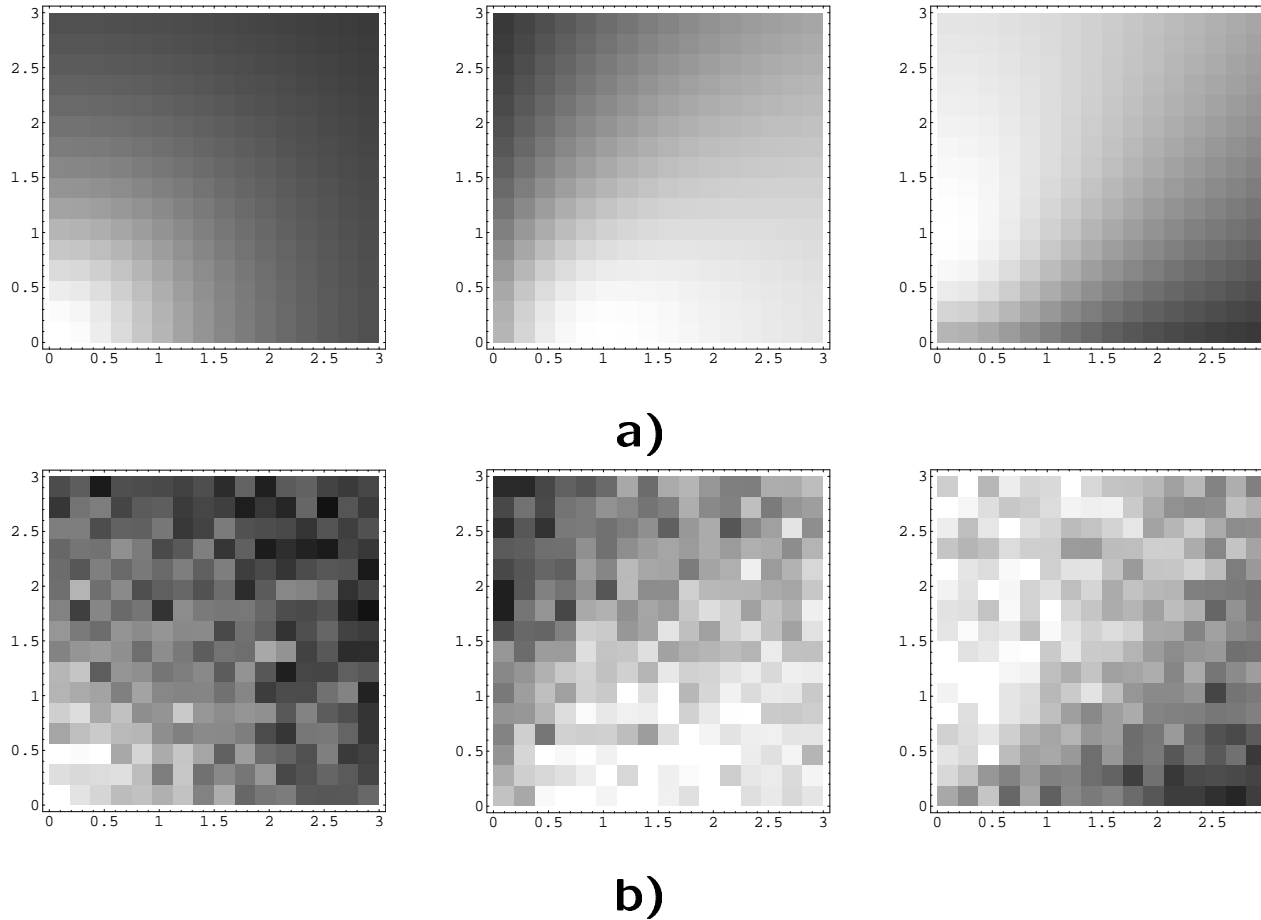
\mathcal{J}_Q : **kwadrat.** (**wypukła**): $\exists ! \hat{\mathbf{v}}_{opt} \in V_I$ (pseudo-inwersja):

$$\hat{\mathbf{v}}_{opt} = \vec{\mathbf{v}} - L^T (LL^T)^{-1} (L(\vec{\mathbf{v}})) .$$

Num. odwracanie macierzy $(LL^T)^{-1} : \mathbb{R}^n \rightarrow \mathbb{R}^n$ (n duże!).

Met. iter. (Gauss-Seidel, Leap-Frog) lub **odwracanie M rzadkich.***

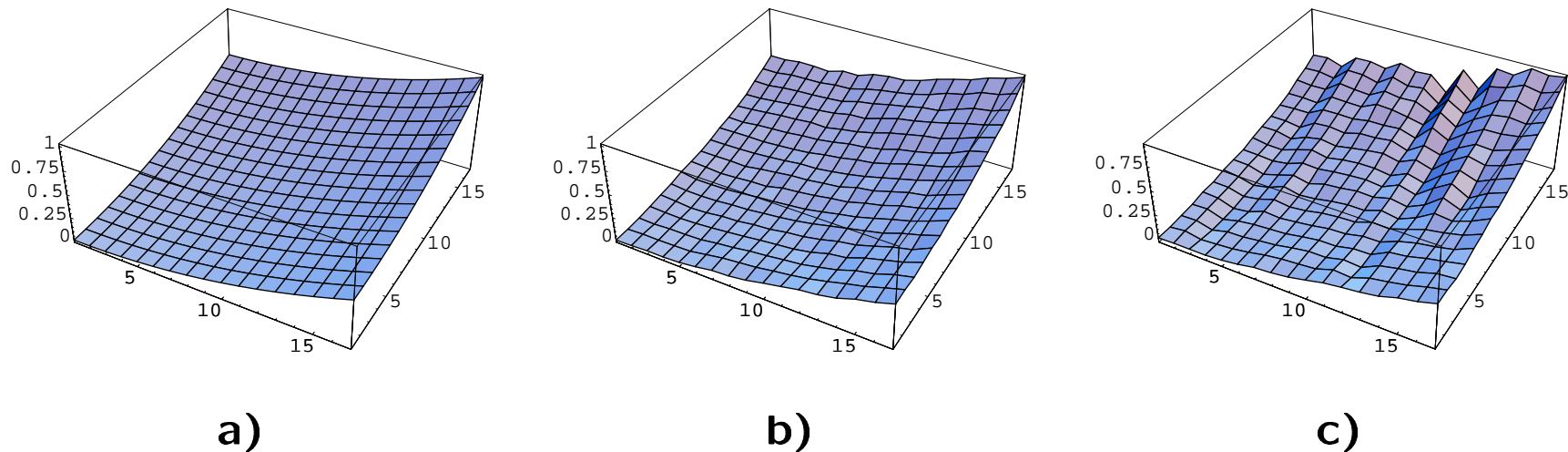
*Alternatywa: $\mathcal{I}(u) = \min_{u \in C^2(\Omega)} \int_{\Omega} ((v_1 - u_x)^2 + (v_2 - u_y)^2) dx dy$ i rów. Eulera \Rightarrow rów. Poissona $\Delta u = f$.



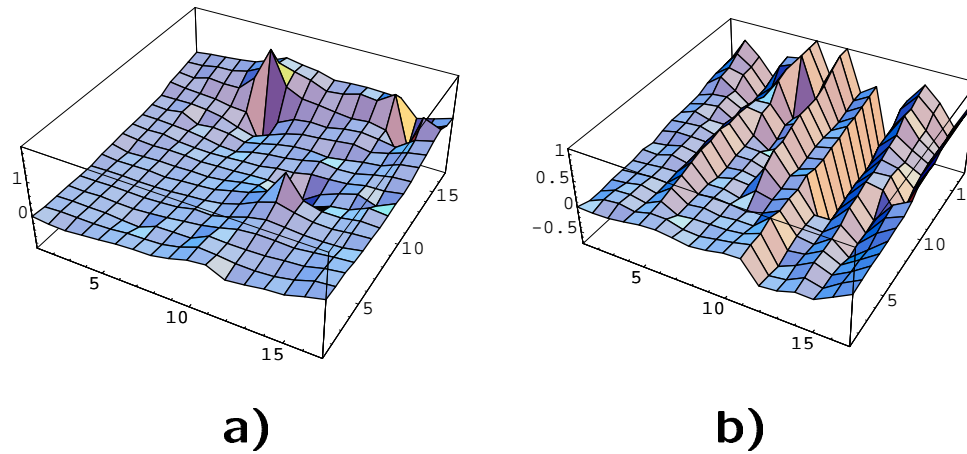
Rys. 46. Obr. dyskr. $M = 16$: **a)** bez szumu **b)** z szumem $\mathcal{N}(0, 0.1)$.

Przyk. 11.: Dane z Przyk. 9.: na $\Omega = [0, 1]^2$ z $\vec{p} = (0, 0, -1)$, $\vec{q} = (1, 0, -1)$, $\vec{r} = (0, 1, -1)$ i $u(x, y) = 0.5(x^2 + y^2)$ rozw.:

$$\frac{(\sqrt{2}, u_x + 1, u_y + 1)}{\sqrt{2(1 + u_x^2 + u_y^2)}} = (E_{\vec{p}}, E_{\vec{q}}, E_{\vec{r}})(x, y) = \frac{(\sqrt{2}, x + 1, y + 1)}{\sqrt{2(1 + x^2 + y^2)}} .$$



Rys. 47. Rekonstr. S: **a)** bez szumów. **b)** lin. rektyf.* **c)** bez lin. rektyf.[†]



Rys. 48. S (szum $\mathcal{N}(0, 0.35)$) z: **a)** lin. rektyf. **b)** bez lin. rektyf. \square

*Met. numer.: Leap-Frog ($k = 16, 20$ iter.).

[†] \vec{v} nie całk. \Rightarrow (2) zależy od drogi całk. γ . Piksel $(1, 1) = (x_0, y_0)$ i ścieżki $\gamma_{(1,1)}^{(i,j)}$ do pisela (i, j) "horyzontalno-pionowe".

Liniowa rektyf. całk. \vec{v} - pewne wady.

Tw. 1 “Nieliniowy filtr” dla E_i ($1 \leq i \leq 3$)

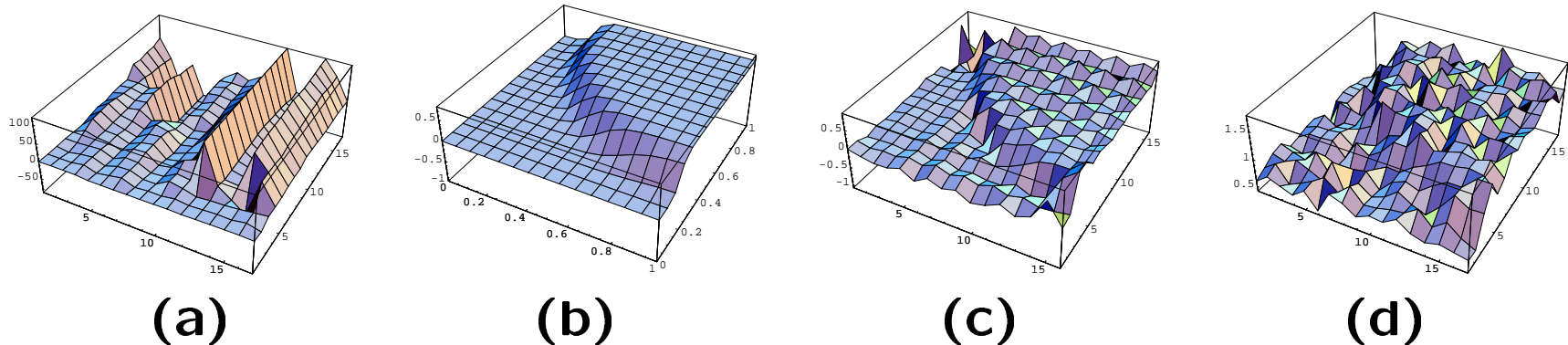
$$u_x + \mathcal{N}(0, \lambda) \neq v_1 = f_1(E_1 + \mathcal{N}(0, \sigma), E_2 + \mathcal{N}(0, \sigma), E_3 + \mathcal{N}(0, \sigma), \vec{p}, \vec{q}, \vec{r}),$$

$$u_y + \mathcal{N}(0, \lambda) \neq v_2 = f_2(E_1 + \mathcal{N}(0, \sigma), E_2 + \mathcal{N}(0, \sigma), E_3 + \mathcal{N}(0, \sigma), \vec{p}, \vec{q}, \vec{r}),$$

nie **zachowuje szumu Gaussa**.

\mathcal{J}_Q (zas. naj. wiarygod.): szum Gaussa na poziomie \vec{v} .

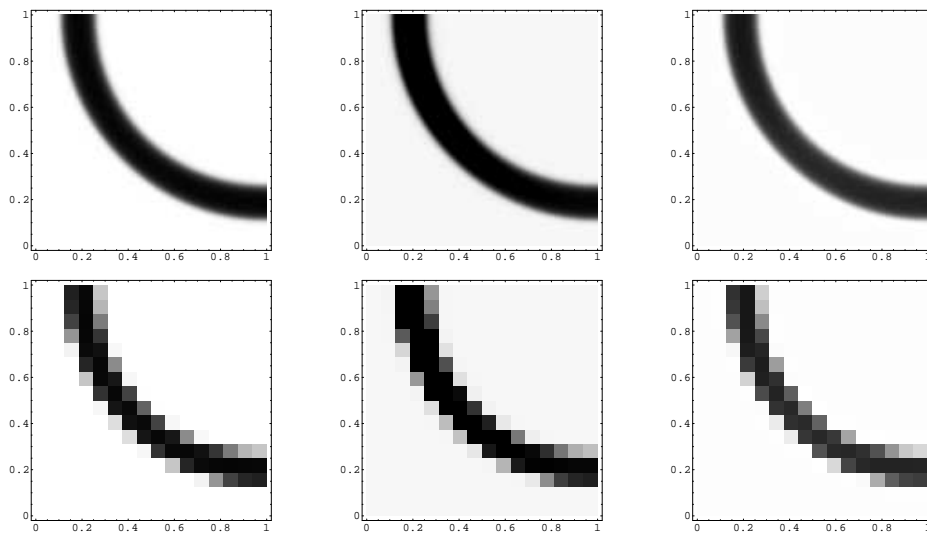
Przyk. 12.:



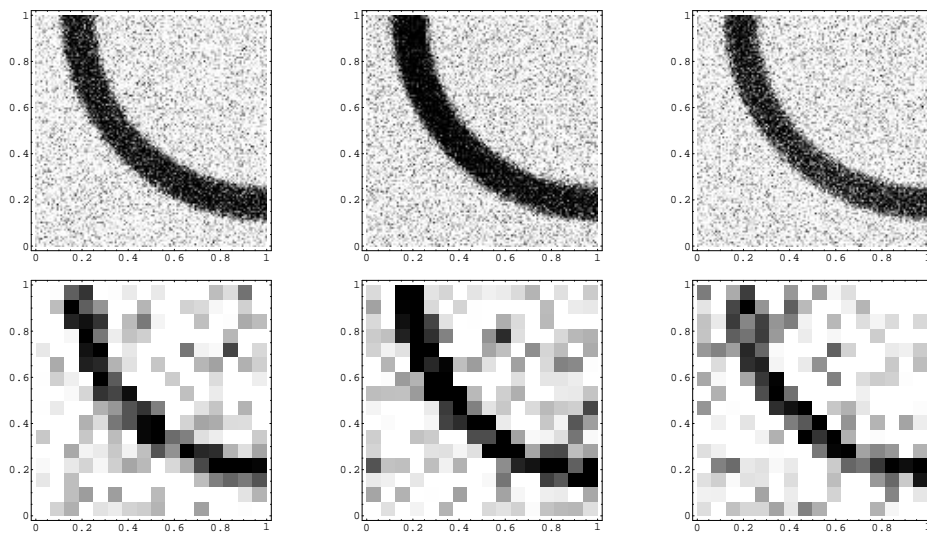
Rys. 49. Rekonst. a) Lin. b) Ciągła. c) Nielin. d) War. początk.

Dla $N = 3$ pow. tang.* $\sigma = 0.25$ (Leap-Frog; $k = 4$ 20 iter.).

* $u_{tanh}(x, y) = \frac{1}{3}(1 - \tanh(\frac{25}{6}(4 - 6x + 3x^2 - 6y + 3y^2)))$, $\vec{p} = (0, 0, -1)$, $\vec{q} = (1 - \sqrt{3}, 0, -1 - \sqrt{3})/(2\sqrt{2})$, i $\vec{r} = (\frac{1}{2}\sin\frac{\pi}{24}, \frac{\sqrt{3}}{2}\sin\frac{\pi}{24}, -\cos\frac{\pi}{24})$; war. pocz. $\vec{u}_0 = \vec{u}_{tanh} + \mathcal{N}(0, 1/8)$.



a)



b)

Rys. 50. Obrazy u_{tanh} z \vec{p} , \vec{q} , \vec{r} z $M = 128(16)$: a) bez b) z szumem.

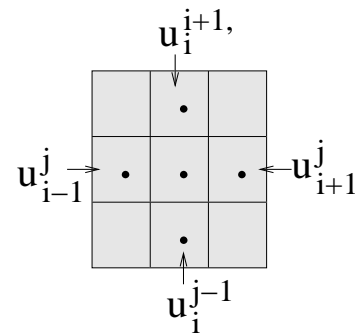
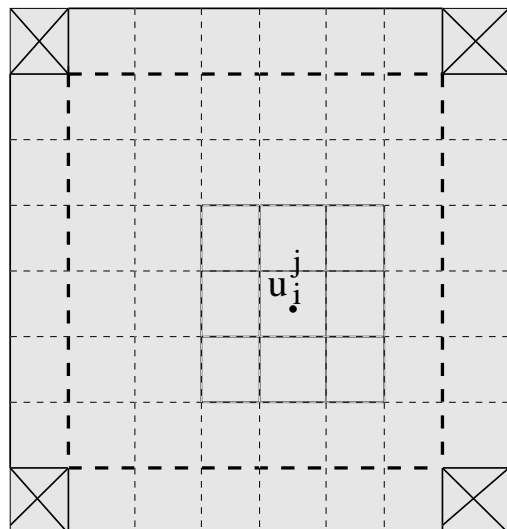


8. Optymalizacja nieliniowa

Różnice centralne $\approx (u_x, u_y) \forall$ wew. piksela (i, j) ($2 \leq i, j \leq M - 1; M$ liczba pikseli) w $\Omega = [0, 1]^2$:

$$\boxed{\langle \hat{\nu}_i^j, \frac{p}{\|p\|} \rangle = E^{i,j}.} \quad (\text{DRIL})$$

$$\frac{\vec{n}(x_i, y_j, u_i^j)}{\|\vec{n}(x_i, y_j, u_i^j)\|} \approx \hat{\nu}_i^j = \frac{(M \frac{(u_{i+1}^j - u_{i-1}^j)}{2}, M \frac{(u_i^{j+1} - u_i^{j-1})}{2}, -1)}{\sqrt{1 + (M \frac{(u_{i+1}^j - u_{i-1}^j)}{2})^2 + (M \frac{(u_i^{j+1} - u_i^{j-1})}{2})^2}}.$$



Rys. 51. Dyskretyzacja **(RIL)** \Rightarrow **(DRIL)** dla wew. pikseli Ω .

Wartości $\vec{u} \in V = \mathbb{R}^{M^2-4}$ w $M \times M$ **tablicy**:

$$\vec{u} = \begin{pmatrix} u_1^{M-1} & u_2^M & \cdots & \cdots & u_{M-1}^M & u_M^{M-1} \\ \vdots & \vdots & \vdots & \vdots & \vdots & \vdots \\ u_1^2 & u_2^2 & \cdots & \cdots & u_{M-1}^2 & u_M^2 \\ u_1^1 & u_2^1 & \cdots & \cdots & u_{M-1}^1 & u_M^1 \end{pmatrix}.$$

Ilość **(DRIL)** = ilości **wew. pikseli** tj. $(M - 2)^2$.

Równoważnie: $f^p : V = \mathbb{R}^{M^2-4} \rightarrow \mathbb{R}^{(M-2)^2}$

$$\boxed{f^p(\vec{u}) = E}, \quad \equiv \quad \forall (i, j) \in [2, M - 1] \quad \boxed{f_{i,j}^p(\vec{u}) = E^{i,j}}$$

$$f_{i,j}^p(\vec{u}) = \langle \hat{\nu}_i^j(\vec{u}), \frac{p}{\|p\|} \rangle.$$

3 oświetlenia p^1, p^2, p^3 (**dyskretyzacja*** ∇u):

$$\boxed{f^{p^1}(\vec{u}) = E_1}, \quad \boxed{f^{p^2}(\vec{u}) = E_2}, \quad \boxed{f^{p^3}(\vec{u}) = E_3}. \quad (20)$$

*Faktycznie znaki " $=$ " w (20) i w (DRIL) powinno zastępować " \approx ".

\bar{E}_i (E_i + szum Gaussa) \Rightarrow (20) generycz. nie speł.:

$$f^{p^1}(\vec{u}) \neq \bar{E}_1 ,$$

$$f^{p^2}(\vec{u}) \neq \bar{E}_2 ,$$

$$f^{p^3}(\vec{u}) \neq \bar{E}_3 .$$

Zasada najw. wiarygod. $\Rightarrow \vec{u}^{opt} \approx \vec{u}$:

$$\boxed{\mathcal{J}(\vec{u}^{opt}) = \min_{\vec{u} \in V} \sum_{s=1}^3 \|f^{p^s}(\vec{u}) - \bar{E}_s\|^2 .} \quad (21)$$

\mathcal{J} - nielin. opt. ($\Rightarrow \vec{u}^{opt}$ wprost).

Met. numer.* dla (21):

- **Newton:**[†] $\boxed{\nabla \mathcal{J} = \vec{0}}$: ($A = D^2 \mathcal{J}$) $^{-1}$ ($\bar{a}_{ij} \approx (600 \times 800)^2$)
- **Spadek G.:**[‡] $\vec{u}_{n+1} = \vec{u}_n - \lambda_n \nabla \mathcal{J}(\vec{u}_n) \Rightarrow \lambda_n = ?$ ($D^2 \mathcal{J}!$)

*War. pocz. \vec{u}_0 a) opt. lin. b) różne c) SFS $\mathcal{J}(\vec{u}^{opt}) = ? \Rightarrow$ ile iter.?

[†]Dla $\nabla \mathcal{J} = \vec{0}$ **Newton** $\Rightarrow \boxed{\vec{u}_{n+1} = \vec{u}_n - (D^2 \mathcal{J}(\vec{u}_n))^{-1}(\nabla \mathcal{J}(\vec{u}_n))}$.

[‡] $\vec{v} = \nabla \mathcal{J}(\vec{u}_n)$ kiedy $\mathcal{J}(\vec{u}_n + t\vec{v}) \approx \mathcal{J}(\vec{u}_n) + \nabla \mathcal{J}(\vec{u}_n)t\vec{v} + \frac{1}{2}(t\vec{v})^T D^2 \mathcal{J}(\vec{u}_n)(t\vec{v})$ min.?

$$\boxed{t_{min} = -(\nabla \mathcal{J}(\vec{u}_n)^T \vec{v}) / (\vec{v}^T D^2 \mathcal{J}(\vec{u}_n) \vec{v})}.$$

	u_2^4	u_3^4	Ω_D
u_1^3	■ u_2^3	■ u_3^3	u_4^3
u_1^2	■ u_2^2	■ u_3^2	u_4^2
	u_2^1	u_3^1	

Rys. 52. Dla 3 obrazów z 16 pikseli: fun. kosztu $\mathcal{J} : \mathbb{R}^{12} \rightarrow \mathbb{R}$.

Przyk. 13.: Dla $1 \leq s \leq 3$ i 16 pikseli $\vec{u} \in \mathbb{R}^{12}$ (21):

$$\mathcal{J}(\vec{u}) = \sum_{s=1}^3 ((\langle \hat{\nu}_2^2, \frac{p^s}{\|p^s\|} \rangle - E_s^{2,2})^2 + (\langle \hat{\nu}_2^3, \frac{p^s}{\|p^s\|} \rangle - E_s^{2,3})^2 + (\langle \hat{\nu}_3^2, \frac{p^s}{\|p^s\|} \rangle - E_s^{3,2})^2 + (\langle \hat{\nu}_3^3, \frac{p^s}{\|p^s\|} \rangle - E_s^{3,3})^2),$$

$$\hat{\nu}_i^j = \frac{(M \frac{(u_{i+1}^j - u_{i-1}^j)}{2}, M \frac{(u_i^{j+1} - u_i^{j-1})}{2}, -1)}{\sqrt{1 + (M \frac{(u_{i+1}^j - u_{i-1}^j)}{2})^2 + (M \frac{(u_i^{j+1} - u_i^{j-1})}{2})^2}} \approx \frac{(u_x, u_y, -1)}{\sqrt{1 + u_x^2 + u_y^2}} = \frac{\vec{n}}{\|\vec{n}\|},$$

z $\nabla u \approx$ met. róż. centralna. □

Niejednozn. w opt. \mathcal{J}^* :

- **standardowa** (przyp. ciągły):

$$f^p(\vec{u} + \vec{c}) = f^p(\vec{u}) \quad \Rightarrow \quad \boxed{\mathcal{J}(\vec{u} + \vec{c}) = \mathcal{J}(\vec{u})}, \quad (22)$$

$\vec{c} \in \mathbb{R}^{M^2-4}$ - **stała tablica.**

- **niestandardowa:** dla $1 \leq k \leq 4$, $\vec{u}_k \in \mathbb{R}^{M^2-4}$ i $c_k \in \mathbb{R}$:

$$f^p(\vec{u} + \sum_{1 \leq k \leq 4} c_k \vec{u}_k) = f^p(\vec{u}).$$



$$\boxed{\mathcal{J}(\vec{u} + \sum_{1 \leq k \leq 4} c_k \vec{u}_k) = \mathcal{J}(\vec{u})}. \quad (23)$$

Niejednoznaczności $\equiv \mathbf{V}$: 4 wym. przest. lin. ($\vec{c} = \sum_{k=1}^4 \vec{u}_k$).

*Niejednoznaczność w opt. \mathcal{J} wynika z zast. central. met. róż. do $\approx \nabla u$.

$$\vec{u}_1 = \begin{pmatrix} 1 & 0 & 1 & 0 & \cdots & 0 & 1 & 0 & 0 \\ 0 & 0 & 0 & 0 & \cdots & 0 & 0 & 0 & 1 \\ 0 & 1 & 0 & 1 & 0 & \cdots & 0 & 1 & 0 \\ \vdots & \vdots & \vdots & \vdots & \ddots & \cdots & \vdots & \vdots & \vdots \\ 0 & 1 & 0 & 1 & 0 & \cdots & 0 & 1 & 0 \\ 0 & 0 & 0 & 0 & 0 & \cdots & 0 & 0 & 0 \\ 0 & 1 & 0 & 1 & 0 & \cdots & 0 & 1 & 0 \\ 0 & 0 & 0 & 0 & 0 & \cdots & 0 & 0 & 0 \end{pmatrix} \quad \vec{u}_2 = \begin{pmatrix} 0 & 0 & 0 & 0 & 0 & \cdots & 0 & 0 & 0 & 0 \\ 1 & 0 & 0 & 1 & 0 & \cdots & 1 & 0 & 1 & 0 \\ 0 & 0 & 0 & 0 & 0 & \cdots & 0 & 0 & 0 & 0 \\ \vdots & \vdots & \vdots & \vdots & \vdots & \ddots & \vdots & \vdots & \vdots & \vdots \\ 0 & 0 & 0 & 0 & 0 & \cdots & 0 & 0 & 0 & 0 \\ 1 & 0 & 0 & 1 & 0 & \cdots & 1 & 0 & 1 & 0 \\ 0 & 0 & 0 & 0 & 0 & \cdots & 0 & 0 & 0 & 0 \\ 0 & 0 & 0 & 0 & 0 & \cdots & 0 & 0 & 0 & 0 \end{pmatrix}$$

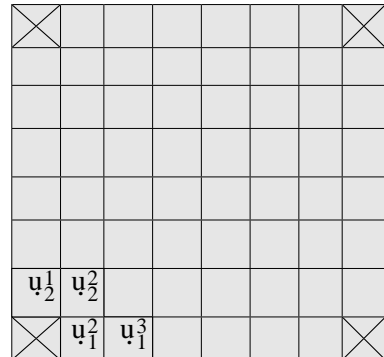
$$\vec{u}_3 = \begin{pmatrix} 0 & 0 & 0 & 0 & \cdots & 0 & 0 & 0 & 1 \\ 0 & 1 & 0 & 1 & 0 & \cdots & 0 & 1 & 0 \\ 0 & 0 & 0 & 0 & 0 & \cdots & 0 & 0 & 0 \\ \vdots & \vdots & \vdots & \vdots & \ddots & \cdots & \vdots & \vdots & \vdots \\ 0 & 0 & 0 & 0 & 0 & \cdots & 0 & 0 & 0 \\ 0 & 1 & 0 & 1 & 0 & \cdots & 0 & 1 & 0 \\ 0 & 0 & 0 & 0 & 0 & \cdots & 0 & 0 & 0 \\ 1 & 0 & 1 & 0 & 0 & \cdots & 0 & 1 & 0 \end{pmatrix} \quad \vec{u}_4 = \begin{pmatrix} 0 & 0 & 1 & 0 & 1 & \cdots & 1 & 0 & 1 & 0 \\ 0 & 0 & 0 & 0 & 0 & \cdots & 0 & 0 & 0 & 0 \\ 1 & 0 & 1 & 0 & 0 & \cdots & 1 & 0 & 1 & 0 \\ \vdots & \vdots & \vdots & \vdots & \vdots & \ddots & \vdots & \vdots & \vdots & \vdots \\ 1 & 0 & 1 & 0 & 0 & \cdots & 1 & 0 & 1 & 0 \\ 0 & 0 & 0 & 0 & 0 & \cdots & 0 & 0 & 0 & 0 \\ 1 & 0 & 0 & 1 & 0 & \cdots & 1 & 0 & 0 & 0 \\ 1 & 0 & 0 & 0 & 0 & \cdots & 0 & 0 & 0 & 0 \end{pmatrix}.$$

“Róż. centralne” (dla $\approx \nabla u$) zastosow. do \vec{u}_i , $1 \leq i \leq 4$:

$$\hat{\nu}_i^j(\vec{u}) = \hat{\nu}_i^j(\vec{u} + \sum_{1 \leq k \leq 4} c_k \vec{u}_k), \quad c_k \in \mathbb{R}$$



$$\mathcal{J}(\vec{u} + \sum_{1 \leq k \leq 4} c_k \vec{u}_k) = \mathcal{J}(\vec{u}).$$

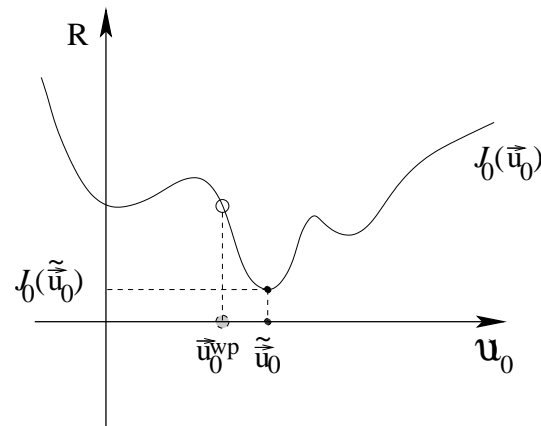


Rys. 53. Eliminacja niejednozn.: $u_1^2 = u_1^3 = u_2^1 = u_2^2 = 0$.

$\mathcal{J}_0 : \mathcal{U}_0 \rightarrow [0, \infty)$ obcięcie \mathcal{J} do $\mathcal{U}_0 \equiv \mathbb{R}^{M^2 - 8}$ tablic \vec{u} :

$$u_1^2 = u_1^3 = u_2^1 = u_2^2 = 0 . \quad (24)$$

Tw. 5. 3 obr. z szumem \bar{E}^s dost. \approx obr. $f^{p^s}(\vec{u}_0^{wp})$ (z $1 \leq s \leq 3$) uzysk. z war. początk. $\vec{u}_0^{wp} \in \mathcal{U}_0 \Rightarrow \exists !$ global. min. $\tilde{\vec{u}}_0 \in \mathcal{U}_0$ dla \mathcal{J}_0 .



Rys. 54. \mathcal{J}_0 nie jest glob. wypukła. Wypukła dla $\vec{u}_0^{wp} \approx \tilde{\vec{u}}_0$.

RELAKSACJA^{*}:

Krok 1: nonlin. opt. $\mathcal{J}_0 \Rightarrow \vec{u}_0^{opt} \in \mathcal{U}_0$.

Krok 2: lin. opt. $\Rightarrow \vec{u}_{opt}^R \in \mathcal{U}$ z **relaksacją**:

$$\boxed{\mathcal{J}_R(\vec{u}) = \sum(u_{i+1}^j - u_i^j)^2 + \sum(u_i^{j+1} - u_i^j)^2.} \quad (25)$$

Dyskret. ciągły. "do przodu" dla $\boxed{\vec{u} \in \{\vec{u}^{opt} + \sum_{k=1}^4 c_k \vec{u}_k\}}$.

\mathcal{J}_R **kwadrat.** z 4 zmien. $c_k \Rightarrow$ optymal. (25) standard.

Met. numer.[†]: \mathcal{J}_Q (**opt. lin.**) lub \mathcal{J}_0 (**opt. nielin.**)?

↓

2D Leap-Frog.

*Uwołnienie więzów $u_1^2 = u_1^3 = u_2^1 = u_2^2 = 0$.

†Opt. na macierzach o olbrzymich wymiarach!

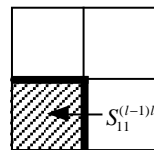
9. 2D Leap-Frog - Met. Numeryczna

2D Leap-Frog (2D-LF) numer. (i) lin. ((ii) nielin.) opt.*:

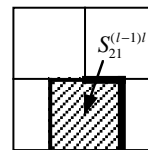
$$(i) \vec{v}_{n+1} = LF(\vec{v}_n),$$

lub

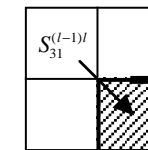
$$(ii) \vec{u}_{n+1} = LF(\vec{u}_n).$$



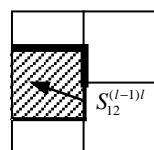
(a)



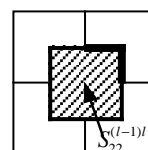
(b)



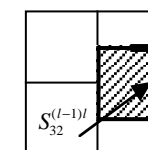
(c)



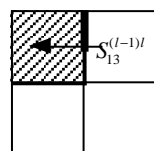
(d)



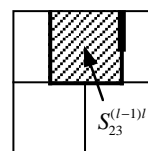
(e)



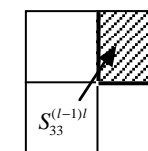
(f)



(g)



(h)



(i)

Rys. 55. 1 iter. **2D-LF**: optymal. na 9 typach małych podobszarów.

†

*Fun. kosztu (np. \mathcal{J}_Q i \mathcal{J}_0 dla obr. z szumami) zależy od wielkiej ilości zm.

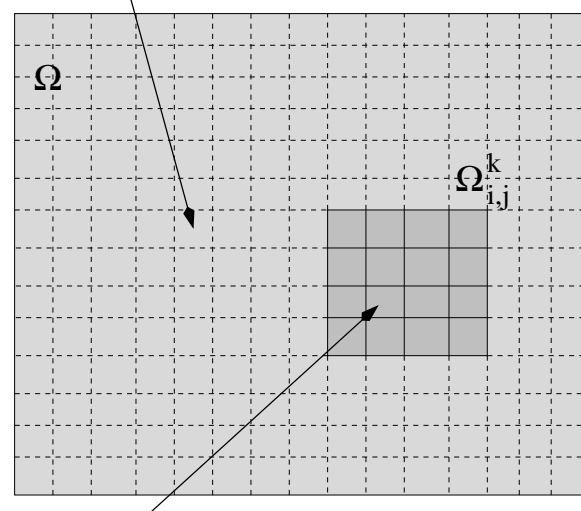
†Przypadek (e) generyczny.

- war. początk.* \vec{u}_0
- minima z nakładek[†] $\Omega_{i,j}^k$ aktual.[‡] lok. zm. \vec{u}_n (\vec{v}):

$$\mathcal{J}_0(\vec{u}_n^+) = \mathcal{J}_0^f(\vec{u}_n^{fix}) + \boxed{\mathcal{J}_0^l(\vec{u}_n^{+opt.})} \leq \mathcal{J}_0^f(\vec{u}_n^{fix}) + \boxed{\mathcal{J}_0^l(\vec{u}_n^{lok.})} = \mathcal{J}_0(\vec{u}_n^-) ,$$

$$\mathcal{J}_Q(\vec{v}_n^+) = \mathcal{J}_Q^f(\vec{v}_n^{fix}) + \boxed{\mathcal{J}_Q^l(\vec{v}_n^{+opt.})} \leq \mathcal{J}_Q^f(\vec{v}_n^{fix}) + \boxed{\mathcal{J}_Q^l(\vec{v}_n^{lok.})} = \mathcal{J}_Q(\vec{v}_n^-) .$$

 Piksele: funkcja kosztu stała



 Piksele: funkcja kosztu – zm. wolne i stałe

Rys. 56. Generyczna optymal. na wew. nakładce $\Omega_{i,j}^k$ ($k = 4$).

*Istotne dla nielin. opt. Lin. opt. na $\Omega_{i,j}^k \setminus$ stos. met. pseudo-inwersji.

†Nielin. lok. opt. na $\Omega_{i,j}^k$: war. pocz. - aktualne war. odpowiadających zm. “odmrożonym”.

‡Min. z nakł. zamieniają odpowiadające wartości w \vec{u}_n (\vec{v}).

- 1 iter. **2D-LF** aktualizuje \forall zm. \vec{u}_n (i \vec{v}_n)
- rozmiar $\Omega_{i,j}^k$ i kolejność opt. - może się zmieniać*
- **2D-LF** \Rightarrow paralelizacja
- lin. opt. (rektyf. \neg całk. pola) **2D-LF** $\Rightarrow \vec{v}_n \rightarrow \hat{\vec{v}}_{opt.}^\dagger$
- nielin. opt. (rekonstr. \vec{u} w **PS3** z szumami) **2D-LF** $\Rightarrow \vec{u}_n \rightarrow \tilde{\vec{u}}_0^\ddagger$

*1 iter. **2D-LF** \Rightarrow każda zm. w \vec{u} (\vec{v}) musi być “odmroż.” zm. chociaż w 1 $\Omega_{i,j}^k$.

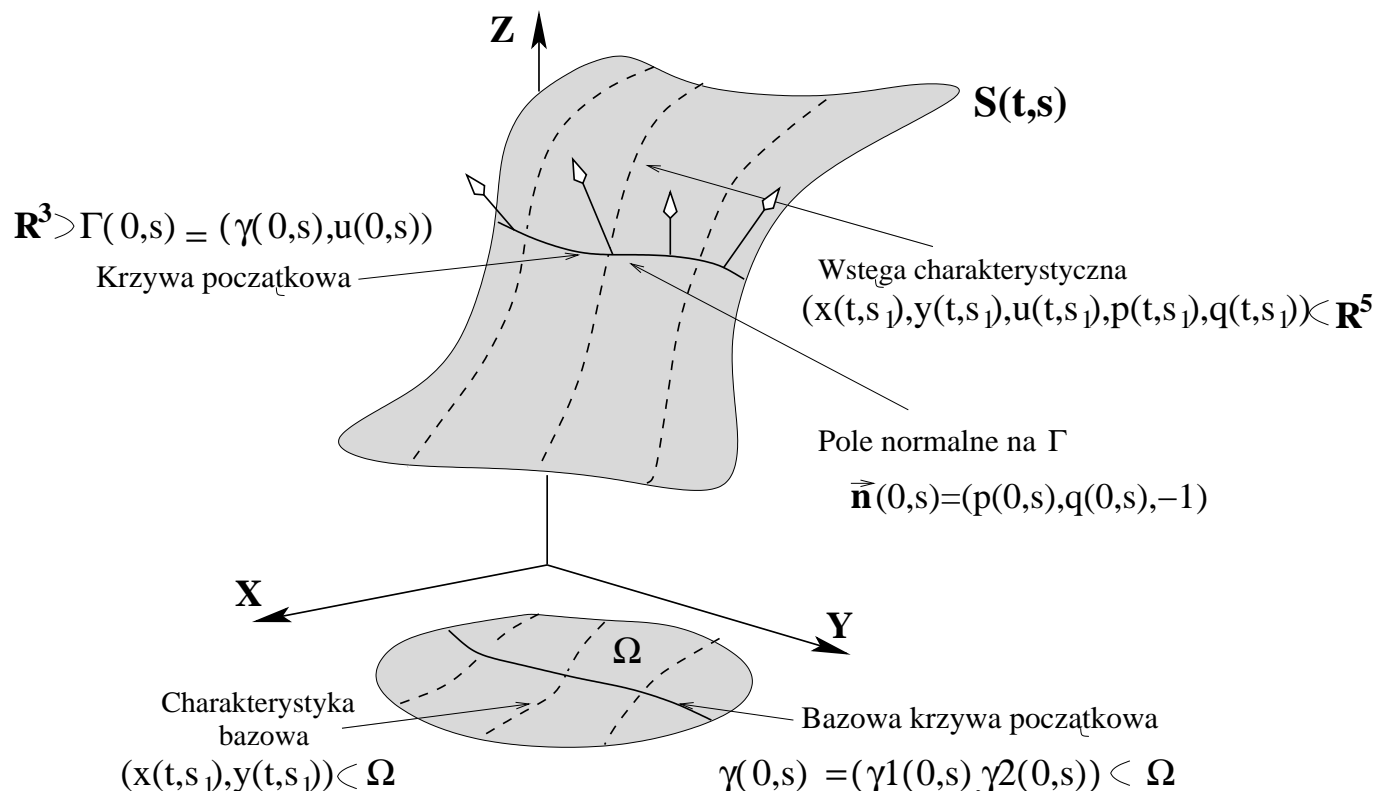
† $\hat{\vec{v}}_{opt.}$ - jed. glob. min. \mathcal{J}_Q (opt. lin.).

‡ $\tilde{\vec{u}}_0$ - jed. glob. min. \mathcal{J}_0 (opt. nielin.).

10. Wstępki Charakterystyczne - SfS

Nielin. rów. cząstk. 1ego rzędu (np. (RIL)) **Tw. Cauchy-ego.:**

$$F(x, y, u(x, y), u_x(x, y), u_y(x, y)) = 0 . \quad u|_{\gamma} = u(s), \quad \text{grad}(u)|_{\gamma} = (p(s), q(s)) . \quad (26)$$



Rys. 57. S pokrywają “wstępki charakterystyczne”*.

*S pokrywają rzuty wstępów na $(x(t, s), y(t, s), u(t, s))$.

(26) \equiv ukł. róż. zwycz.:

$$\begin{aligned} x_t(t, s) &= F_p(x, y, u, p, q), \\ y_t(t, s) &= F_q(x, y, u, p, q), \\ u_t(t, s) &= pF_p(x, y, u, p, q) + qF_q(x, y, u, p, q), \\ p_t(t, s) &= -F_x(x, y, u, p, q) - pF_u(x, y, u, p, q), \\ q_t(t, s) &= -F_y(x, y, u, p, q) - qF_u(x, y, u, p, q) \end{aligned} \quad (27)$$

z (na krzyw. pocz. Γ) war. **Dirichleta**:

$$\begin{aligned} x(0, s) &= x(s), \\ y(0, s) &= y(s), \\ u(0, s) &= u(s) \end{aligned} \quad (28)$$

i z war. **Neumanna**

$$\begin{aligned} p(0, s) &= x(s), \\ q(0, s) &= y(s). \end{aligned} \quad (29)$$

Tw. Cauchy-ego: (27), (28), (29) $\Rightarrow \exists! \mathbf{1}$ rozw.* $(x, y, u, p, q)(t, s)$
 \Rightarrow dla prob. Cauchy-ego† (26) $\exists! \mathbf{1}$ rozw. $u(x, y) \in C^2$.

* Jeśli $(F_p(0, s), F_q(0, s)) \neq (\dot{x}(s), \dot{y}(s))$ (baz. krzywa pocz. γ nie styczna do char. baz.), $\dot{u}(s) = p(s)\dot{x}(s) + q(s)\dot{y}(s)$ i $F \in C^2$.

† War. pocz. (26) zred. do 1 pktu $(x_0, y_0, u_0, p_0, q_0) \Rightarrow$ char. lok. Tw. Cauchy-ego.

Przyk. 14.: Lin. F_R (zdjęcia Księżyca; kier. ośw. $(a_1, a_2, -1)$) (RI):

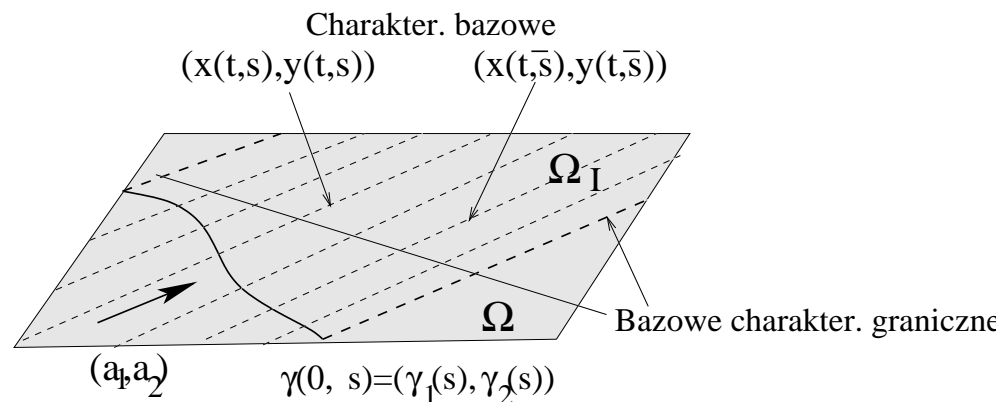
$$\frac{a_1 u_x(x, y) + a_2 u_y(x, y) + 1}{\|(a_1, a_2, -1)\|} = E(x, y). \quad (\text{RILin})$$

Z $\mathcal{E}(x, y) = \|(a_1, a_2, -1)\| E(x, y) - 1$ (RILin):

$$a_1 u_x(x, y) + a_2 u_y(x, y) = \mathcal{E}(x, y).$$

$\Rightarrow F(x, y, u, p, q) = a_1 p + a_2 q - \mathcal{E}(x, y)$ i **Met. Char.** \Rightarrow

- (a) $x_t(t, s) = a_1,$
 - (b) $y_t(t, s) = a_2,$
 - (c) $u_t(t, s) = a_1 p + a_2 q = \mathcal{E}(x(t, s), y(t, s)),$
 - (d) $p_t(t, s) = \mathcal{E}_x(x(t, s), y(t, s), u(t, s), p(t, s), q(t, s)),$
 - (e) $q_t(t, s) = \mathcal{E}_y(x(t, s), y(t, s), u(t, s), p(t, s), q(t, s)).$
- (30)



Rys. 58. Char. baz.* $(x(t, s), y(t, s)) \parallel (a_1, a_2).$

* $\gamma(0, s)$ i baz. char. graniczne określają podobszar $\Omega_I \subset \Omega$ rekonstr. S.

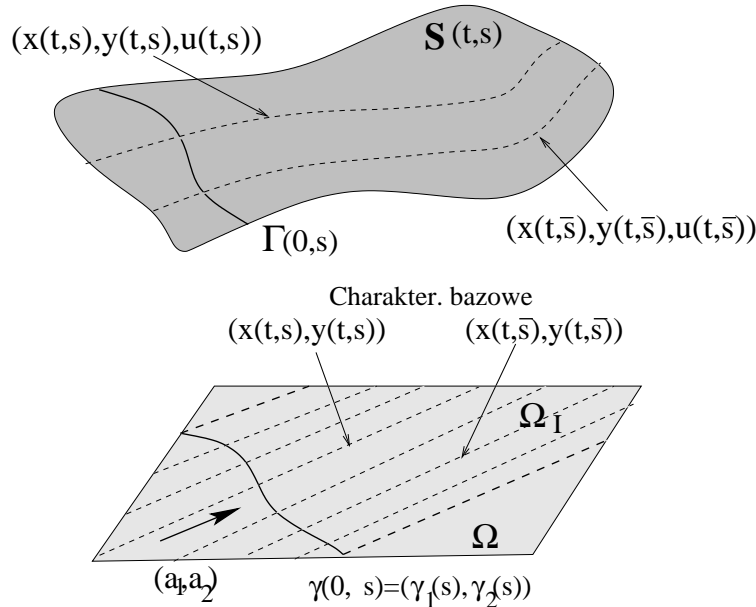
(30)(a-c) i war. **Dirichleta** $\Gamma(0, s) = (\gamma_1(s), \gamma_2(s), u(s))$ wystarczają*.

(a) i (b) + baz. krzywa początk. $\gamma(0, s) = (\gamma_1(s), \gamma_1(s))$:

$$\boxed{x(t, s) = a_1 t + \gamma_1(s), \quad y(t, s) = a_2 t + \gamma_2(s).} \quad (31)$$

(31) + (30)(c) + $u(s)|\gamma \Rightarrow$ **analytyczne rozw.**

$$\boxed{u(t, s) = \int_0^t \mathcal{E}(a_1 t' + \gamma_1(s), a_2 t' + \gamma_2(s)) dt' + u(s).}$$



Rys. 59. Rekonstr. S wzdłuż || char. baz.

*W przyp. lin. (baz. char. ||). W przyp. nielin. 5 rów. char. niezbędnych + pełne war. pocz. Dirichleta i Neumanna.

Dla **rów. eikonatu** ($\vec{p} = (0, 0, -1)$) \Rightarrow

$$u_x^2(x, y) + u_y^2(x, y) = \mathcal{E}(x, y), \quad \mathcal{E}(x, y) = \frac{1}{E^2(x, y)} - 1$$

rów. char.* dla $F(x, y, u, p, q) = p^2 + q^2 - \mathcal{E}(x, y)$:

$$\begin{aligned} x_t(t, s) &= 2p(t, s), \\ y_t(t, s) &= 2q(t, s), \\ u_t(t, s) &= 2p^2(t, s) + 2q^2(t, s) = 2\mathcal{E}(x(t, s), y(t, s)), \\ p_t(t, s) &= \mathcal{E}_x(x(t, s), y(t, s), u(t, s), p(t, s), q(t, s)), \\ q_t(t, s) &= \mathcal{E}_y(x(t, s), y(t, s), u(t, s), p(t, s), q(t, s)). \end{aligned} \tag{32}$$

Analit. rozw. ? ((32) nielin.) \Rightarrow **numeryczne**

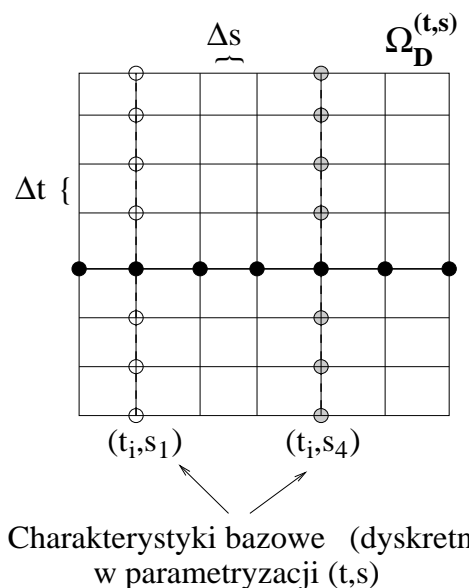
$$\begin{aligned} x(t_{i+1}, s_k) &= x(t_i, s_k) + 2\Delta t p(t_i, s_k), \\ y(t_{i+1}, s_k) &= y(t_i, s_k) + 2\Delta t q(t_i, s_k), \\ u(t_{i+1}, s_k) &= u(t_i, s_k) + 2\Delta t \mathcal{E}(x(t_i, s_k), y(t_i, s_k)), \\ p(t_{i+1}, s_k) &= p(t_i, s_k) + \Delta t \mathcal{E}_x(x(t_i, s_k), y(t_i, s_k), u(t_i, s_k), p(t_i, s_k), q(t_i, s_k)), \\ q(t_{i+1}, s_k) &= q(t_i, s_k) + \Delta t \mathcal{E}_y(x(t_i, s_k), y(t_i, s_k), u(t_i, s_k), p(t_i, s_k), q(t_i, s_k)). \end{aligned} \tag{33}$$

Problemy z met. char. w SfS:

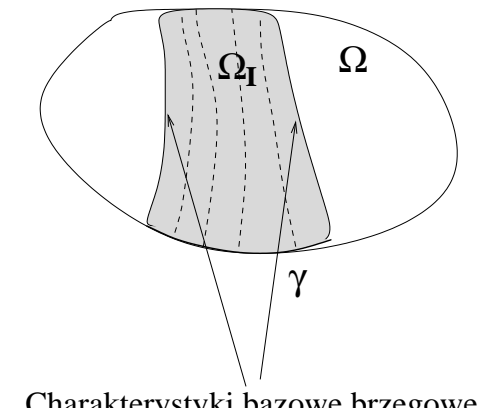
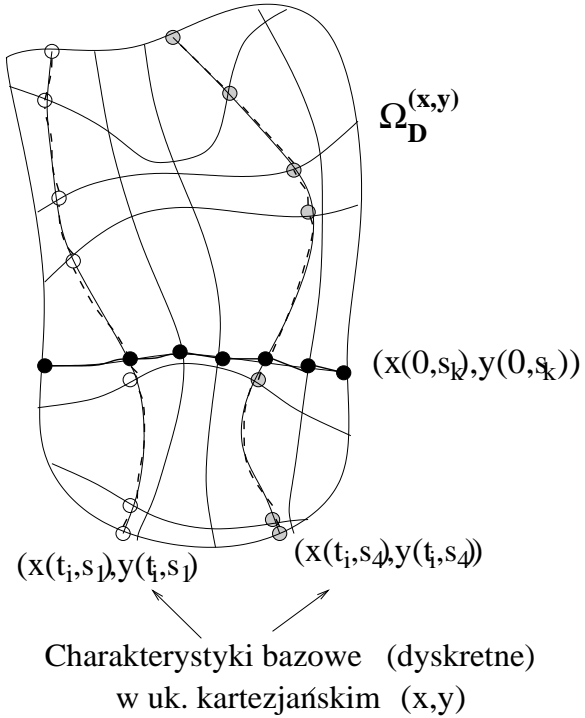
- war. początk. Dirichleta i Neumanna generycznie nieznane

*Dla rów. eikonatu char. baz. styczne do ∇u .

- stabilność ukł. (33) (propag. błędu wzdłuż char. baz.)
- rów. siatka $(t_i, s_k) \not\Rightarrow$ rów. siatki (x_i, y_k)



a)



b)

60. Rekonst. u na a) siatce (x_i, y_k) nierów. b) $\Omega_I \subset \Omega$.

- obszar wyz. baz. char. Ω_I (dyskr. lub ciągłe) ⊂ pokrywa Ω .

11. Pkty Osobliwe w Rekonstrukcji

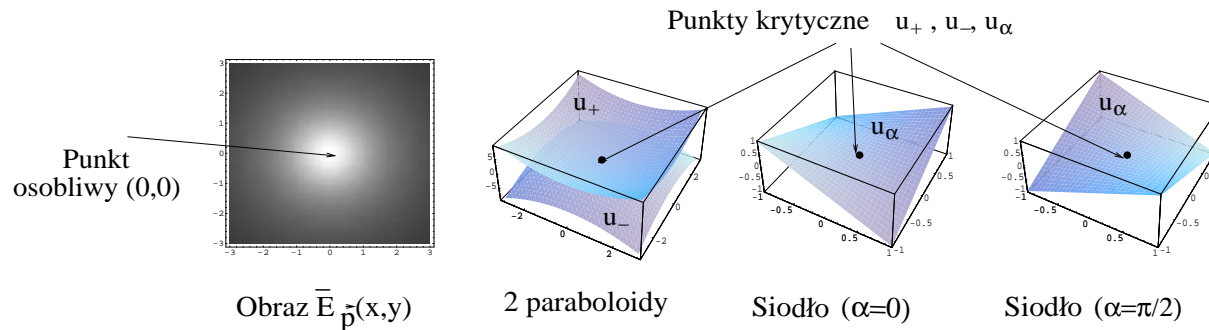
Przyk. 15.:

$$\frac{1}{\sqrt{1+u_x^2+u_y^2}} = E(x, y) = \frac{1}{\sqrt{1+x^2+y^2}}$$

$$\vec{p} = (0, 0, -1)$$

$$\begin{aligned} u_{\pm}(x, y) &= \pm 0.5(x^2 + y^2), \\ u_{\alpha}(x, y) &= (x \cos(\alpha) + y \sin(\alpha))(y \cos(\alpha) - x \sin(\alpha)), \quad \alpha \in [0, 2\pi]. \end{aligned}$$

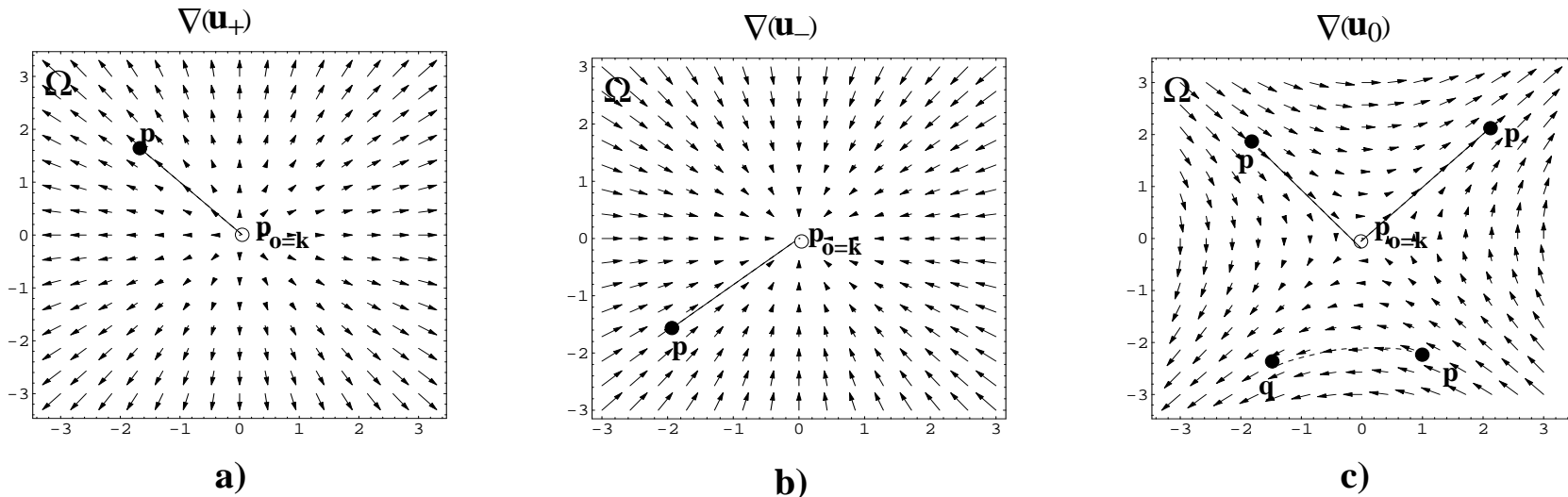
Max. $E(0, 0) = 1$ ((x_0, y_0) pkt osob. $\Rightarrow E(x_0, y_0) = 1$).



Rys. 9. W $\Omega \exists !1$ pkt osob. $(0, 0)$ (też pkt kryt. u_{\pm}, u_{α}).

Pkt osob. E (max.) \Rightarrow min. $\mathcal{E} = E^{-2}-1$: $\boxed{\mathcal{E}(x_0, y_0) = 0 \Leftrightarrow \nabla u(x_0, y_0) = (0, 0)}.$

Pkt osob. E i $\mathcal{E} \Leftrightarrow$ pkt kryt. u .



Rys. 62. Char. baz. a-b) wkl./wyp. rozw. c) siod.

Eikonat: char. baz. styczne* do ∇u .

Różnice w a-c):

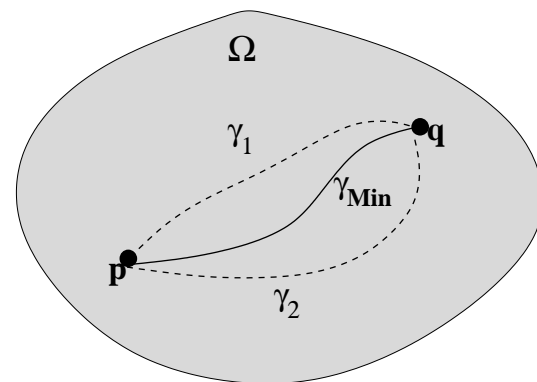
- **a-b) (c))** pkt osob. \mathcal{E} (kryt. u) $p_{o=k}$ łączy (nie łączy) dow. pkt $p \in \Omega$ baz. char.
 - **a-b) (c))** ∇u albo wpływ. albo wypływ. (wpływ. i wypływ.) z Ω .

*Met. char. $\Rightarrow (x_t, y_t) = 2(p, q) = 2\nabla u$.

Chojnacki Tw. 6. $p, q \in \Omega$ łączy char. baz. $u \in C^2$ speł. eikonał \Rightarrow

$$|u(q) - u(p)| = \min_{\gamma} \int_{\gamma} \sqrt{\mathcal{E}} dl , \quad (34)$$

z min.* po wszystkich $\gamma \in C^1$ łączących p z q .



Rys. 63. Min. (34) osiągane na char. baz.= γ_{Min} .

Uwaga: char. baz. są **nieznane** (zależą od u !).

* $\int_{\gamma} \sqrt{\mathcal{E}} dl = \int_a^b \sqrt{\mathcal{E}(\gamma_1(t), \gamma_2(t))} \|\dot{\gamma}(t)\| dt$ dla $C^1 \ni \gamma : [a, b] \rightarrow \mathbb{R}^2$ i $\gamma(a) = p, \gamma(b) = q$.

Tw. Bruss. $\mathcal{E}(x, y)$ z !1 niezdegen. dod.* pkt osob. $(x_0, y_0) \Rightarrow$ w klasie $u \in C^2$ wyp./wkl. \exists !2 rozw. eikonału.

Tw. 6 \Rightarrow rozw. wkl.

$$u_+(x, y) = u(x_0, y_0) + \min_{\gamma} \int_{\gamma} \sqrt{\mathcal{E}} dl , \quad (35)$$

i rozw. wyp.

$$u_-(x, y) = u(x_0, y_0) - \min_{\gamma} \int_{\gamma} \sqrt{\mathcal{E}} dl . \quad (36)$$

Przyk. 16.: $\mathcal{E}(x, y) = x^2 + y^2$ z osob. $(0, 0)$. Dla u_{\pm} char. baz.[†] łącz. $(0, 0)$ z $(x, y) \in \Omega$ są **radialne**[‡]:

$$u_{\pm}(x, y) = u_{\pm}(0, 0) \pm \int_0^1 \sqrt{t^2 x^2 + t^2 y^2} \sqrt{x^2 + y^2} dt = \pm 0.5(x^2 + y^2) . \quad \square$$

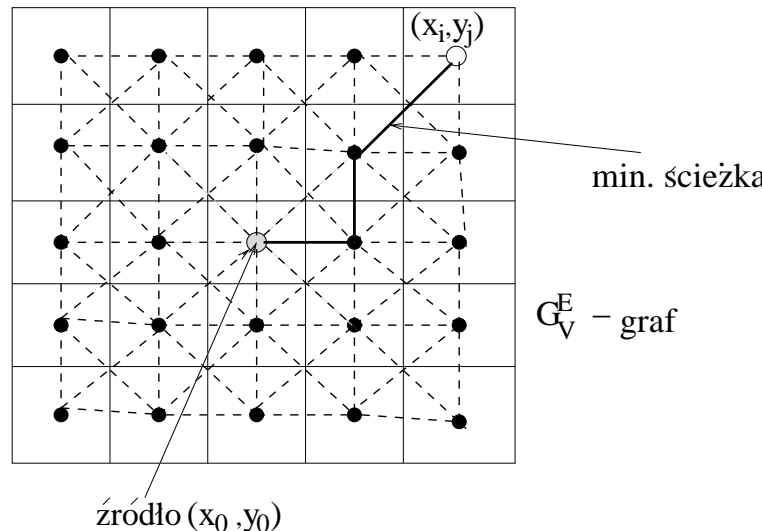
* $D^2 \mathcal{E}(x_0, y_0)(\vec{v}, \vec{v}) > 0$ dla $\vec{v} \neq \vec{0}$.

[†]Min. osiągane na char. baz.

[‡] $\gamma(t) = (tx, ty)$ z $t \in [0, 1]$.

Char. baz. nieznane! \Rightarrow minimalizacja?

“**Piksele**” \Rightarrow alg. min. ścieżek w grafie G_V^E z ustal. źródł. (x_0, y_0) :



Rys. 64. Min. ścieżka między źródł. $(x_0, y_0)^*$ i wierzch. (x_i, y_j) grafu G_V^E .

Wagi[†] krawędzi grafu G_V^E :

$$\omega((i, j), (k, l)) = \begin{cases} \frac{h}{2}(\sqrt{\mathcal{E}_{i,j}} + \sqrt{\mathcal{E}_{k,l}}) & \text{kraw. poz.-pion.,} \\ \frac{h}{\sqrt{2}}(\sqrt{\mathcal{E}_{i,j}} + \sqrt{\mathcal{E}_{k,l}}) & \text{kraw. diag.} \end{cases} \quad (37)$$

* Źródło (x_0, y_0) (pkt osob. \mathcal{E}) grafu G_V^E ustalone. Wierzch. (x_i, y_j) zmienne.

[†] $\int_a^b f(t)dt \approx \frac{f(a)+f(b)}{2}(b-a)$.

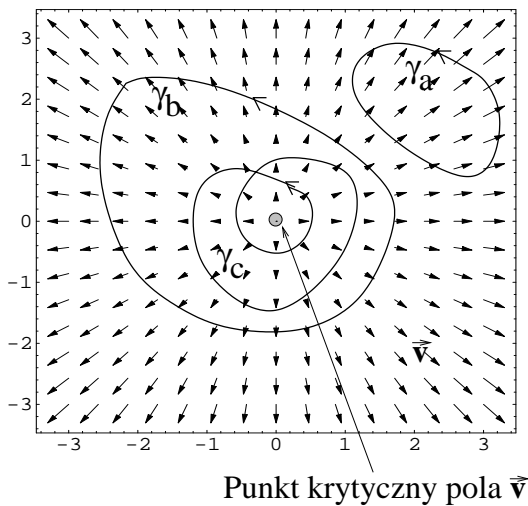
Obrazy z n -pktmi osob. ($n \geq 1$)?

Wyp./wkl. rozszerz. na **fun. Morse'a + “convex-skirt”.**



Ekstra więzy na $\vec{v} = \nabla u$.

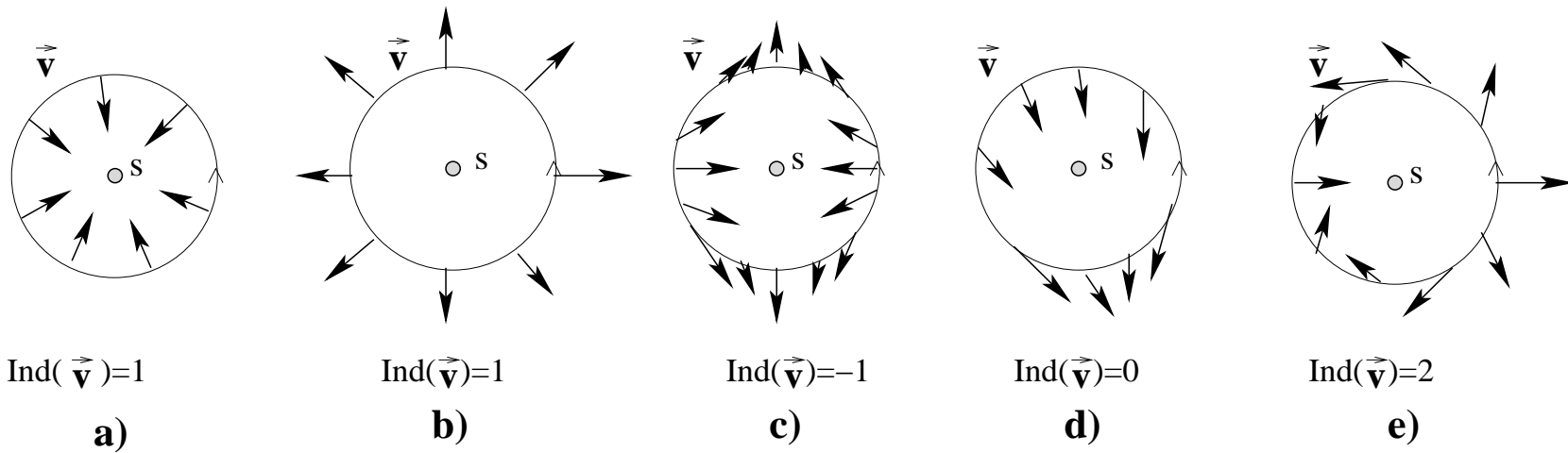
$\vec{v} \in C^1(\mathbb{R}^2)$ i zorient. pętla $\gamma \subset \mathbb{R}^2$ ($\gamma \not\ni (x_0, y_0)$ pkt kryt. pola* \vec{v}) \Rightarrow
indeks γ dla \vec{v} (ozn. $ind_\gamma(\vec{v})$): **licz. zorient. obrot. \vec{v} na pętli γ .**



Rys. 65. Obroty \vec{v} na γ a) $ind_{\gamma_a}(\vec{v}) = 0$ b) $ind_{\gamma_b}(\vec{v}) = 1$ c) $ind_{\gamma_c}(\vec{v}) = 2$.

$^*(x_0, y_0)$ pkt kryt. pola $\vec{v} \Leftrightarrow \vec{v}(x_0, y_0) = \vec{0}$.

Indeks pkt. kryt. s pola \vec{v} : $ind_{C_s^r}(\vec{v})$ - C_s^r okr.: $r \approx 0$ i środ. w s.



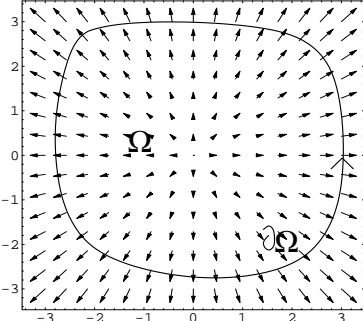
Rys. 66. $\vec{v} = \nabla u$ dla u a) wyp. b) wkl. c) siod.

F. Morse'a: $\mathcal{M} = \{u \in C^2 : \forall s \in \Omega \text{ z } \nabla u(s) = \vec{0} \Rightarrow ind_{C_s^r}(\nabla u) = \pm 1\}$.

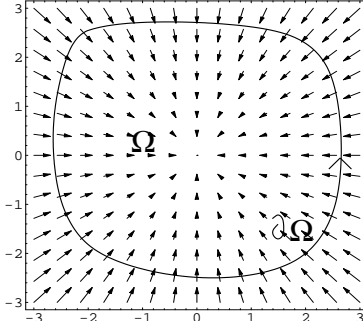
siodła $\in \mathcal{M}$ - $ind_{C_s^r}(\vec{v}) = -1$ (dla $n = 1$)*.

u “convex skirt” na $\partial\Omega$: indeks brzegu Ω ($\partial\Omega$ pętla) dla $\vec{v} = \nabla u$
 $ind_{\partial\Omega}(\nabla u) = 1$ (\vec{v} przepł. przez $\partial\Omega$ w 1ym kier.).

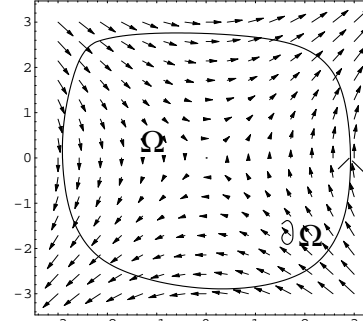
*Siodła istotne dla $n > 1 \Rightarrow$ w \mathcal{M} $ind_{C_s^r}(\nabla u) = 1$ za silny więz na u .



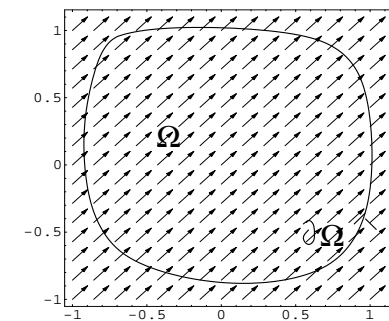
a)



b)



c)



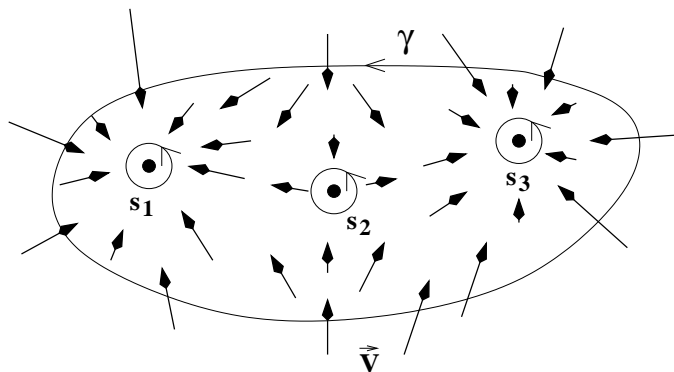
d)

Rys. 67. "Convex-skirt" tak: a-b) $\text{ind}_{\partial\Omega}(\vec{v}) = 1$ nie: c) $\text{ind}_{\partial\Omega}(\vec{v}) = -1$ d) $\text{ind}_{\partial\Omega}(\vec{v}) = 0$.

\mathcal{M}^{cs} klasa "convex-skirt" $u \in \mathcal{M}$.

Tw. Eulera. Pkty kryt. $\{s_i\}_{i=1}^m$ pola \vec{v} "wewnatrz" γ (petla):

$$\text{ind}_\gamma(\vec{v}) = \sum_{i=1}^m \text{ind}_{C_{s_i}^r}(\vec{v}).$$



Rys. 68. Indeks γ dla $\vec{v} = \text{sumie ind. wew. pkt. kryt. } \vec{v}$.

$u \in \mathcal{M}^{cs}$ (z s pkt kryt. $\vec{v} = \nabla u$) i $\gamma = \partial\Omega$ (pętla):

$$\begin{aligned} \text{ind}_{C_s^r}(\vec{v}) &= 1, \quad (\text{min./max.}) \\ \text{ind}_{C_s^r}(\vec{v}) &= -1, \quad (\text{siod.}) \\ \text{ind}_\gamma(\vec{v}) &= 1. \end{aligned} \quad (38)$$

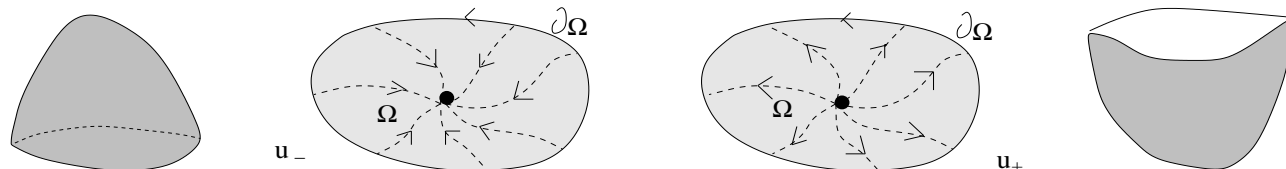
Tw. Eulera + (38) dla $u \in \mathcal{M}^{cs} \Rightarrow$

$$N_{\max} + N_{\min} - N_s = 1, \quad (39)$$

$(N_{\max}, N_{\min}, N_s)$ licz. (max., min., siod.) u .

II. pkt. kryt. ∇u : $N_o = N_{\max} + N_{\min} + N_s$ (i (39)) $\Rightarrow N_o = 2N_s + 1$ (**nieparz.**!).

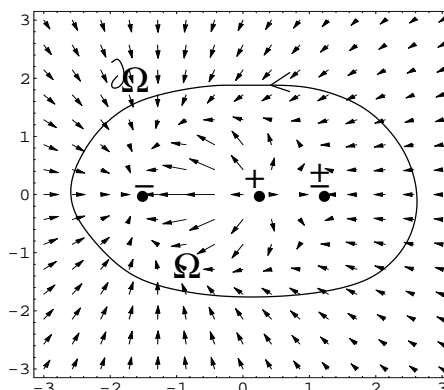
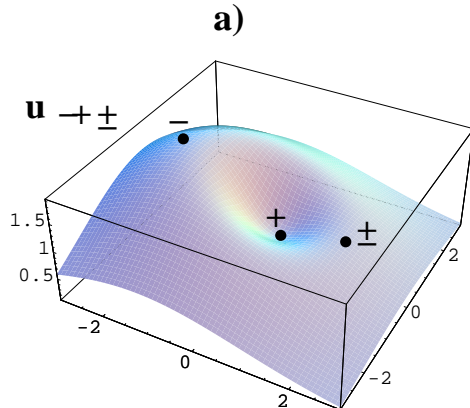
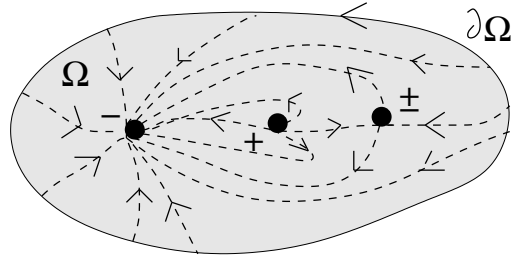
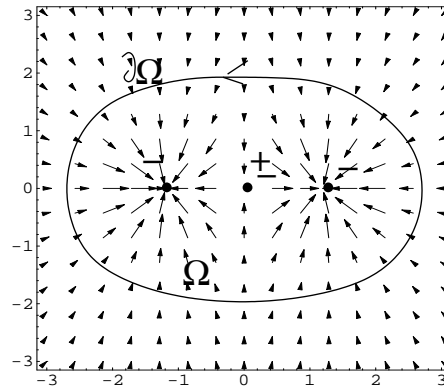
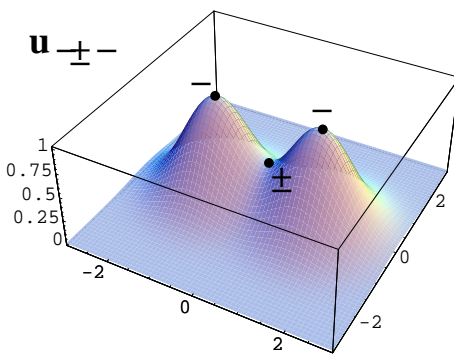
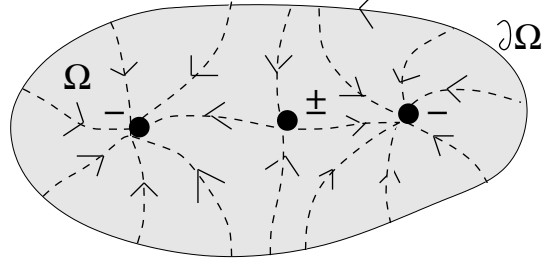
Przyp. n=1: z (39) \exists 2 możliwe $u \in \mathcal{M}^{cs*}$:



Rys. 69. Char. baz. u wyp. (u_-) i wkl. (u_+).

***Eikonał:** $u_+ = -u_- + C$ (\Rightarrow char. baz. (stycz. do ∇u) ident.). Eliminacja siodła! Wzory na u_+, u_- (35), (36) (opt.). **Tw. Bruss** $\Rightarrow \exists !2$ rozw. wyp./wkl.

Przyp. n=3: z (39) \exists 4 możliwe $u \in \mathcal{M}^{cs*}$:



b)

Rys. 70. 4 możliwe pow. a) $u_{-\pm-}$ (+ sym.) b) $u_{-+±}$ (+ sym.)

***Eikonał:** $u_{++\pm} = -u_{-\pm-} + C$ i $u_{+-\pm} = -u_{-+±} + C$ (\Rightarrow char. baz. parami ident. zwrot przeciwny; stycz. do ∇u).

Tw. 7. 3 pkt osob. \mathcal{E} z $u \in \mathcal{M}^{cs}$ ($\partial\Omega$ pętla) \Rightarrow ! 1 para rozw. dla eikonału: albo $(u_{+\pm+}, u_{-\pm-})$ albo $(u_{+-\pm}, u_{-+\pm})$.

Jak wykluczyć 1 parę i znaleźć drugą?

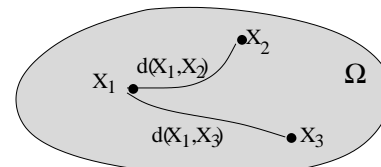
Pkt siodł. s_\pm - nieistotny.*

Metryka:

$$d(X, Y) = \min_{\gamma} \int_{\gamma} \sqrt{\mathcal{E}} dl , \quad (40)$$

dla $\gamma \subset \Omega$ łącz. X z Y w Ω . Dla X_i, X_j i $X_k \in \Omega$:

$$D(X_i) = d(X_i, X_j) + d(X_i, X_k) . \quad (41)$$



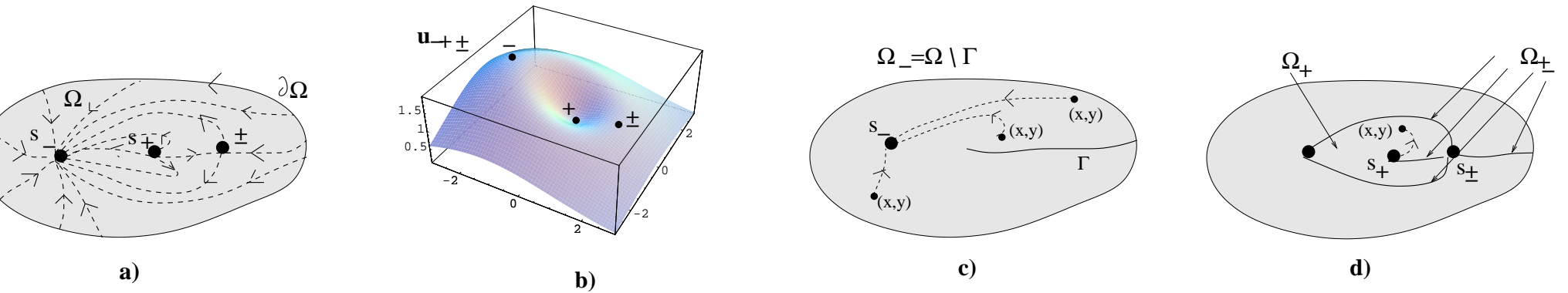
Rys. 71. $D(X_1)$ suma odleg. $d(X_1, X_2)$ i $d(X_1, X_3)$ w metryce (40).

*Baz. char. łączą s_\pm z $(x, y) \in \Omega$ na "cienkim" podzb. Ω .

Krok 1: elimin. s_{\pm} :

Pkt osob. $S_i \in \Omega$ z $\min. D(S_i)$ \Rightarrow siod. u .

Albo krok 2: $u_{-+\pm}$ (i) $u_{+-\pm}$?



Rys. 72. $u_{-+\pm}$ a) char. baz. b) kszt. S c-d) char. baz. z S_- , S_+ , S_{\pm} .

i) rozw. ze źródł. $S_i \in \Omega$:

$$U_{S_i}(X) = d(S_i, X) , \quad \forall X \in \Omega . \quad (42)$$

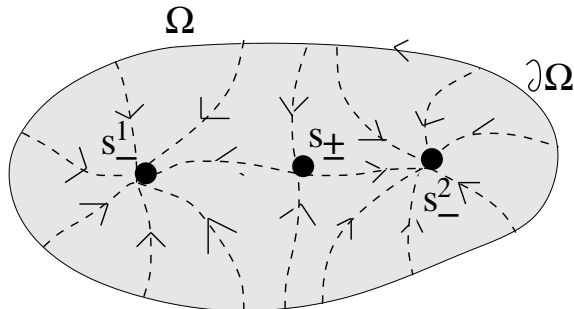
ii) char. baz. S_+ na $\Omega_+ \neq \Omega$ (numer. U_{S_+} odrzucić!).

iii) numer. rozw.* $-U_{S_-} = u_{-+\pm} + C$ tak gdy $-U_{S_-}$ typu $u_{-+\pm}$ (**Stop**).

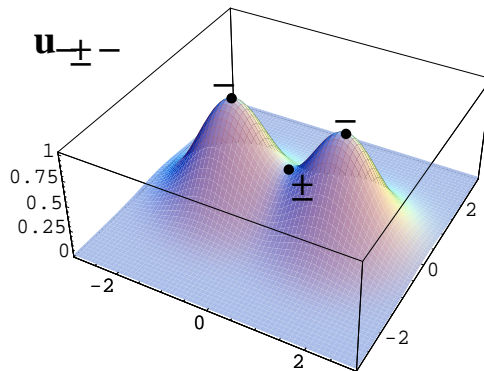
iv) $U_{S_-} \neg$ typu $u_{-+\pm}$ (**odrzucić U_{S_-} !**) \Rightarrow Krok 3.

* U_{S_-} zdef. w Ω_- (char. baz. łączą $(x, y) \in \Omega_-$ z S_-). Γ "cienki" zb. (przedł. C^0).

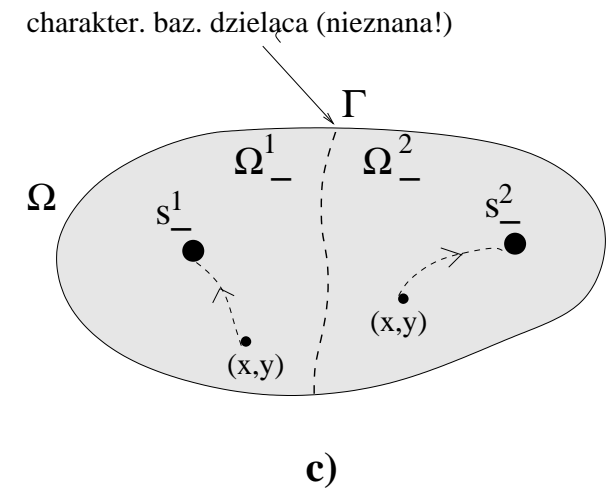
Albo krok 3: $u_{-\pm-}$ (i $u_{+\pm+}$)?



a)



b)



c)

Rys. 73. $u_{+\pm\pm}$ a) char. baz. b) kszt. S c) char. baz. z S_-^1 i S_-^2 .

i) 2 numer. rozw. $-U_{S_-^1}$ i $-U_{S_-^2}$ na Ω .

ii) $-U_{S_-^1} = u$ na Ω_-^1 i $-U_{S_-^2} = u$ na Ω_-^2 *

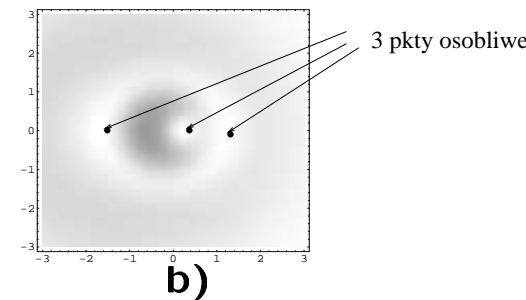
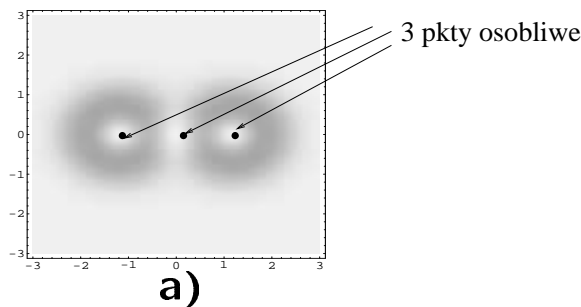
iii) $\Omega_-^{1,2}$? (bo Γ ?) Sklejanie $-U_{S_-^1}$ z $-U_{S_-^2}$ na Γ ?

iv) Sklejanie $-U_{S_-^1}$ z $-U_{S_-^2}$? $u_{1,2}$ z (43) spełnia $u_x^2 + u_u^2 = \mathcal{E}(x, y)$ na Ω :

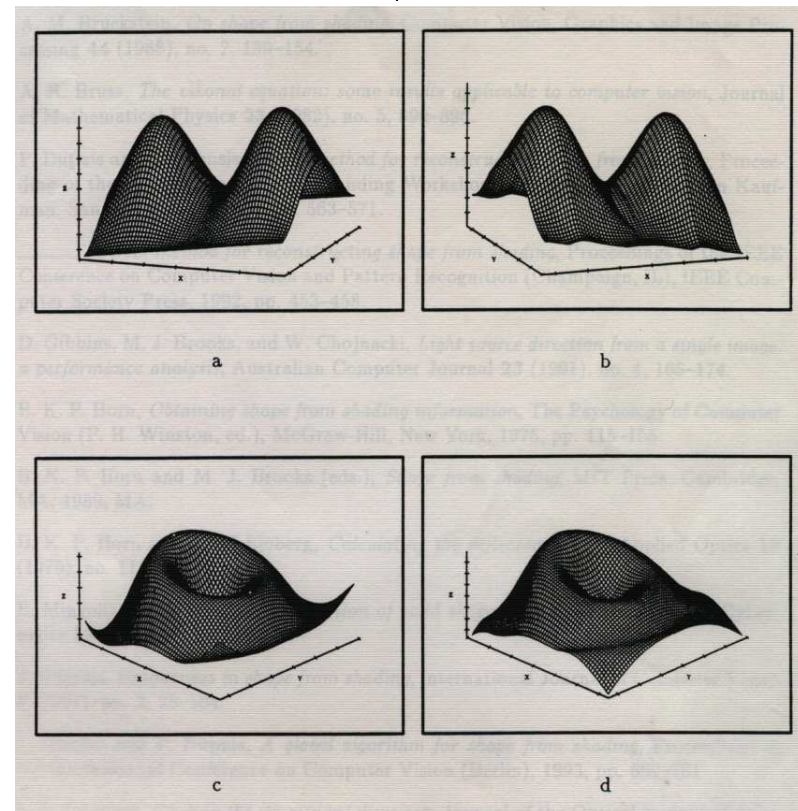
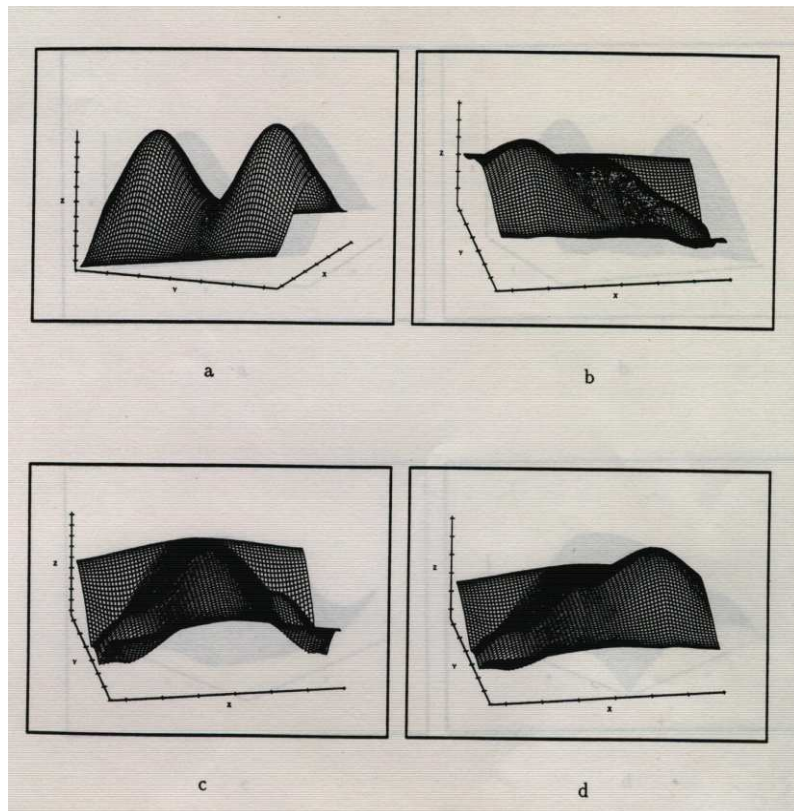
$$u_{1,2}(x) = \max\{U_{S_-^1}(S_\pm) - U_{S_-^1}(x), U_{S_-^2}(S_\pm) - U_{S_-^2}(x)\} + u_{1,2}(S_\pm), \quad (43)$$

i jest typu $u_{-\pm-}$ (Stop).

* \exists baz. char. między $(x, y) \in \Omega_-^{1,2}$ a $S_-^{1,2}$.



Rys. 74. Obraz powierzchni a) $\pm u_{-\pm-}$ b) $\pm u_{-+\pm}$.



Rys. 75. i) a $u_{-\pm-}$ b $-U_{S_-^1}^*$ c $-U_{S_\pm}$ d $-U_{S_-^2}$; ii) albo a $u_{-\pm-}$ b $u_{1,2}$ albo c $u_{-+\pm}$ d $-U_{S_-}$.

*Eksperymenty pokazują także poprawność rekonstr. dla $n = 1$.

12. Szkic Dowodu Tw. 6

$u : \mathbb{R}^2 \rightarrow \mathbb{R}$ i 1-formy $du = u_x dx + u_y dy$:

$$(du)^2 + (u_y dx - u_x dy)^2 = (u_x dx + u_y dy)^2 + (u_y dx - u_x dy)^2 \quad (44)$$

$$= (u_x^2 + u_y^2)(dx^2 + dy^2). \quad (45)$$

Stąd

$$du^2 \leq (u_x^2 + u_y^2)(dx^2 + dy^2),$$

$$|du| \leq \sqrt{u_x^2 + u_y^2} \sqrt{dx^2 + dy^2}. \quad (46)$$

$$(46) \text{ i } \mathcal{E}(x, y) = u_x^2 + u_y^2 \text{ i } dl^2 = dx^2 + dy^2 \Rightarrow$$

$$\boxed{|du| \leq \sqrt{\mathcal{E}} dl.} \quad (47)$$

Dla $\forall \gamma \in C^1$ łączącej pktę $X, Y \in \Omega^*$ z (47) \Rightarrow

$$|u(Y) - u(X)| = \left| \int_{\gamma} du \right| \leq \int_{\gamma} |du| \leq \int_{\gamma} \sqrt{\mathcal{E}} dl.$$

$$\boxed{|u(Y) - u(X)| \leq \inf_{\gamma} \int_{\gamma} \sqrt{\mathcal{E}} dl}, \quad (48)$$

z infimum $\forall \gamma \in C^1$ łączących pktę $X, Y \in \Omega$.

$$*\forall X, Y \in \Omega \ u(Y) = u(X) + \int_{\gamma} du.$$

Char. baz. γ_0^* w (48):

$$|u(Y) - u(X)| \leq \int_{\gamma_0} \sqrt{\mathcal{E}} dl ,$$

$$\text{z } \dot{\gamma}_0(t, s^0) = (x_t(t, s^0), y_t(t, s^0)) = 2(u_x(t, s^0), u_y(t, s^0)).$$

1-formy

$$dx((1, 0)) = 1 , \quad dx((0, 1)) = 0 , \quad dy((1, 0)) = 0 , \quad dy((0, 1)) = 1 ,$$

$$\Rightarrow \text{1-forma } \boxed{\omega = u_y dx - u_x dy} \text{ na } \gamma_0^\dagger$$

$$\omega(2u_x, 2u_y) = 2u_y dx((u_x, u_y)) - 2u_x dy((u_x, u_y)) = 2(u_y u_x - u_x u_y) = 0 .$$

$$\Rightarrow (\text{z (44)}) \text{ na } \gamma_0 |du| = \sqrt{\mathcal{E}} dl.$$

Eikonał (m. char.): $u_t = 2\mathcal{E} \geq 0$ (\forall char. baz. γ_b) $\Rightarrow u$ **monot.** na γ_b .

$$\Rightarrow \text{dla } \gamma_0 \boxed{|du|_{\gamma_0} = \sqrt{\mathcal{E}} dl} \text{ albo } \boxed{|du|_{\gamma_0} = -\sqrt{\mathcal{E}} dl.}$$

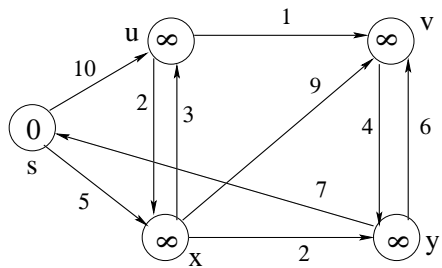
$$\boxed{|u(Y) - u(X)| = \int_{\gamma_0} \sqrt{\mathcal{E}} dl .}$$

□

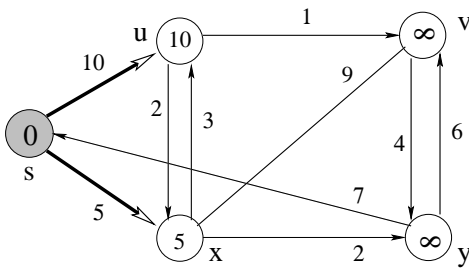
*Zał. **Tw. 6:** \exists char. baz. łącząca pkt. $X, Y \in \Omega$.

†Na przestrz. stycznej do γ_0 . Pomijamy w notacji (t, s^0) .

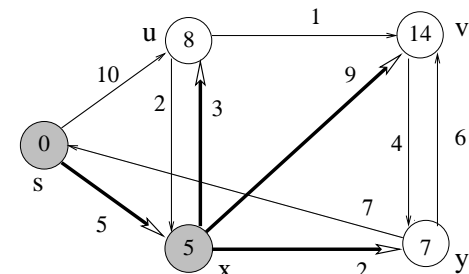
13. Algorytm Dijkstry



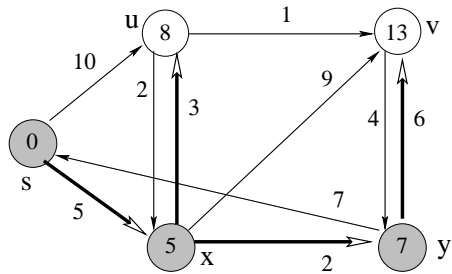
a)



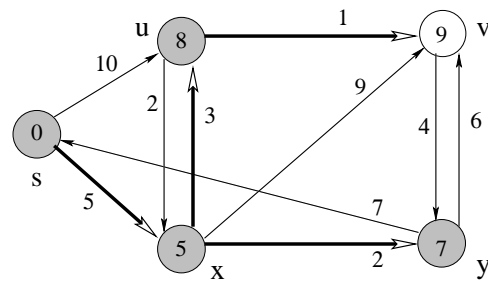
b)



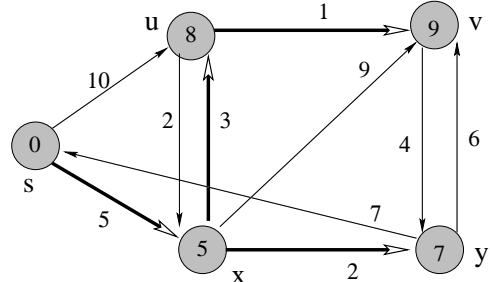
c)



d)



e)



f)

Rys. 76. Ilustracja działania alg. Dijkstry (najkrótsze scieżki w grafie).

- a) inic. atryb. $d[\cdot] = \infty$; $d[s] = 0$; $S = \emptyset$ i kol. prioryt. $Q = G = \{s, x, y, v, u\}$.
- b) relak. kraw. z s do wierz. z l. sąsiedz. $Adj[s] = \{x, u\}$, $S = \{s\}$ i $Q = \{x, u, y, v\}$.
- c) relak. kraw. z x do wierz. z $Adj[x] = \{y, u, v\}$, $S = \{s, x\}$ i $Q = \{y, u, v\}$.
- d) relak. kraw. z y do wierz. z $Adj[y] = \{s, v\}$, $S = \{s, x, y\}$ i $Q = \{u, v\}$.
- e) relak. kraw. z u do wierz. z $Adj[u] = \{x, v\}$, $S = \{s, x, y, u\}$ i $Q = \{v\}$.
- e) relak. kraw. z v do wierz. z $Adj[v] = \{y\}$, $S = \{s, x, y, u, v\}$ i $Q = \emptyset$.

14. Met. Charakterystyk - Tw. Cauchy-ego

$F \in C^2(\mathbb{R}^5)^*$, $C^1 \ni \gamma : [0, T] \rightarrow \mathbb{R}^2$, $C^2 \ni \phi : \gamma \rightarrow \mathbb{R}$ i $(P^0 = (x_1^0, y_2^0) \in D^0 = (p^0, q^0))$:

$$F(P^0, u^0, D^0) = 0, \quad u^0 = \gamma(x^0), \quad P^0 = \gamma(s^0), \quad (\phi \circ \gamma)'(s^0) = p^0 \gamma'_1(s^0) + q^0 \gamma'_2(s^0)$$

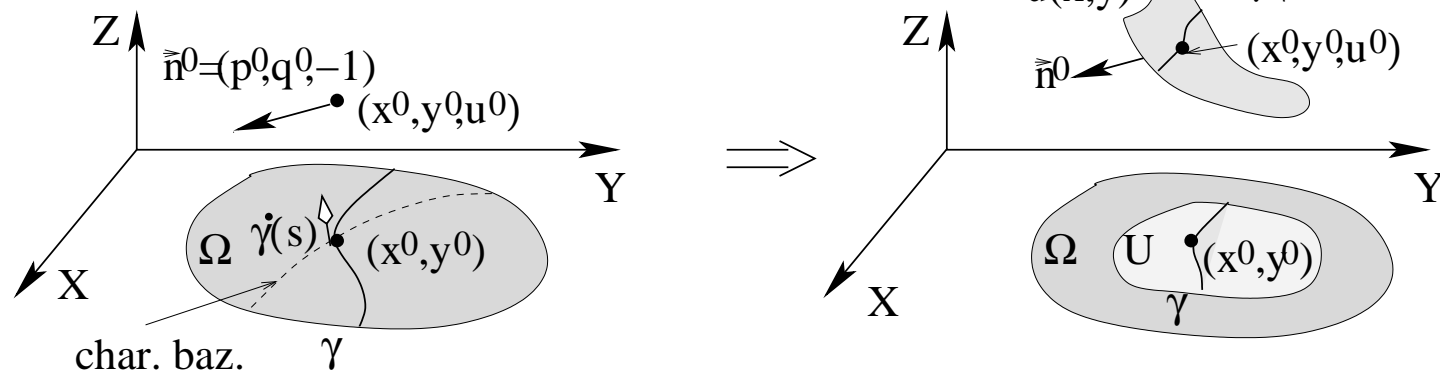
+ war. niecharakter.[†]:

$$\gamma'_2(s^0) \frac{\partial F}{\partial p}(P^0, u^0, D^0) - \gamma'_1(s^0) \frac{\partial F}{\partial q}(P^0, u^0, D^0) \neq 0.$$

\Rightarrow w otocz. $(x^0, y^0) \in U \subset \Omega$ $\exists! 1 u \in C^2$:

$$F(x, y, u, u_x, u_y) = 0, \quad u(x^0, y^0) = u^0, \quad (\nabla u)(x^0, y^0) = (p^0, q^0), \quad u|_{\gamma \cap U} = \phi. \quad (49)$$

□



Rys. 77. Krzywa pocz. γ transwersalna do char. baz $\Rightarrow \exists! 1 u \in C^2$ dla (49).

***Tw. Cauchy-ego** prawdziwe z $F : \mathbb{R}^{2n+1} \rightarrow \mathbb{R}$.

[†]War. niecharakter. $\equiv \gamma'(s^0) \perp \parallel (F_p(P^0, u^0, D^0), F_q(P^0, u^0, D^0))$ (kier. baz. char.).